

Werkstoffe und Fertigung I/II

Prof. Dr. K. Wegener

Zusammenfassung

Dieser Zusammenfassung beruht auf der Vorlesung Werkstoffe und Fertigung I/II, welche von Prof. Dr. K. Wegener im Schuljahr 2004/05 gehalten wurde.
Der Autor dieser Zusammenfassung ist von italienischer Muttersprache, aus diesem Grund Rechtschreibfehler sind nicht auszuschliessen.

Offensichtlich ist das kein offizielles Dokument, deshalb ist es möglich Fehler zu finden.

*Airoldi Simone – D-MAVT
WS-SS 2004/05*

Kap 0 Einleitung

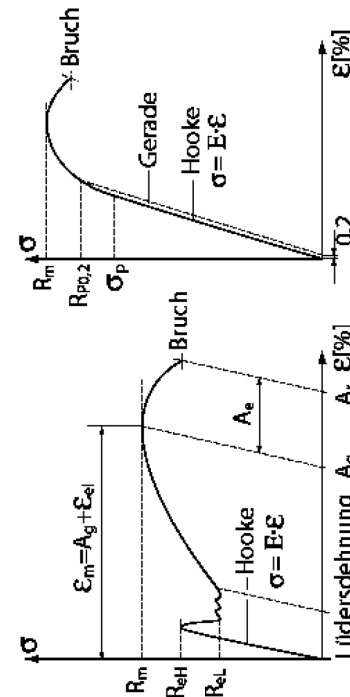
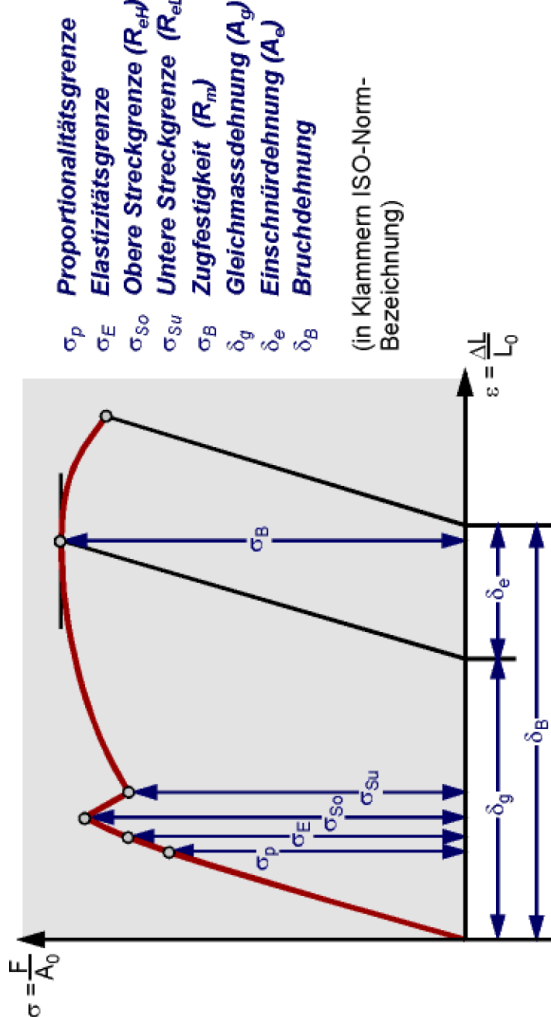
1.	Eigenschaften der Werkstoffe (Zugversuch)	4
1.1.	Spannungs-Dehnungsdiagramm	4
Kap. 1 Kristallzustand der Metalle		5
1.	Raumgitter und Kristallsysteme	5
2.	Gitteraufbau	5
2.1.	Atonanzahl	5
2.2.	Packungsdichte	5
2.3.	Stapelfolge und Stapelfehler	5
2.4.	Die Bezeichnung von Punkten, Geraden und Ebenen im Raumgitter (Millersche Indizes),	5
3.	3.1. Millersche Indizes	5
4.	Anisotropie und Textur	5
4.1.	Anisotropie und Anisotropie	5
4.2.	Textur	5
5.	Realstruktur Gitterbaufehler,	5
5.1.	Nulldimensionale Gitterfehler (Punktförmige Fehler)	5
5.2.	Eindimensionale Gitterfehler (Versetzungen)	5
5.3.	Zweidimensionale Gitterfehler, Stapelfehler	5
5.4.	Gefüge und Legierungstechniken	5
Kap. 2 Legierungskunde – Zustandsdiagramme		8
1.	Einleitung	8
1.1.	Gefüle	8
1.2.	Thermodynamische Grundbegriffe, Hauptsätze, Potentiale	8
3.	Binäres Zustandsdiagramm und Phasenregeln	8
3.1.	Sches Phasengesetz	9
4.	Phasengleichgewichte, Gesetz der wechselnden Phasenzahl, Hebelgesetz (Phasenräume)	9
4.1.	Eutektische und Peritektische Umwandlung	9
5.	Beispiel 1: System mit unbegrenzter Löslichkeit von A und B im Mischkristall A...	10
6.	Mengendiagramm	10
7.	Akkühlungskurven	10
8.	Grundtypen der Zustandsdiagramme	10
8.1.	Kochkonzept zur Bestimmung einer Legierung mit unterschiedlichen Zweistoffsystemen	10
9.	Reelles Zustandsdiagramm	11
9.1.	Das Eisen	11
9.2.	Das metastabile System Fe-C oder das Fe-Fe ₃ C-System	11
9.3.	Beispiele von Gefügen bei verschiedenen Konzentrationen	12
9.4.	Mengendiagramm	13
9.5.	Anhang	13
1.	Definition	14
2.	Diffusionsarten	14
2.1.	Selbstdiffusion (Thermodiffusion)	14
2.2.	Fremddiffusion (Konzentrationsabhängige Diffusion)	14
3.	Diffusionsgesetze	14
3.1.	1. Fick'sches Diffusionsgesetz – Diffusionsstromdichte (J) (Stationäre Diffusion)	14
3.2.	Konzentrationsgefälle	14
3.3.	2. Fick'sches Diffusionsgesetz – Konzentrationsprofil (Instationäre Diffusion)	14
3.4.	Diffusion ein thermisch aktiver Vorgang	14
4.	Diffusionsmechanismen	15
1.	Das Kontinuum, Verallgemeinerte Spannungen und Dehnungen.	15
2.	Elastische Verhalten, atomarer Beschreibung	15
2.1.	Bindungskräfte in Festkörpern	15
2.2.	Elastische Konstanten E, G, V, K	15
Kap. 5 Plastisches Verhalten der Metalle		16
1.	Schmid'sches Schubspannungsge setz	16
2.	Einkristallverformung: Theoretische Schubspannung	16
3.	Einkristallverformung	16
4.	Versetzungsbewegung	17
5.	Verformung von Vierkristallen	18
6.	Steigerung der Streckgrenze	18
7.	Währe Dehnung	18
6.	Schwindung, Fließvermögen	19
Kap. 6 Erstarrung (Kristallisation)		19
1.	Keimbildung	19
2.	Elastische Verhältnisse	19
3.	Wachstum	19
4.	Erstarrungsgesetze	19
5.	Gussblockstruktur	19
6.	Schwindung, Fließvermögen	20
Kap. 7 Kristalleholzung und Rekristallisation		20
1.	Kaltumformen	20
2.	Erhöhung	20
3.	Rekristallisation	20
3.1.	Primäre Rekristallisation	20
3.2.	Konkavere Rekristallisation	21
Kap. 8 Kriechen und Kreißbruch		21
1.	Spannungsriffaxialität	21
2.	Kriechensmechanismus	21
3.	Kriechfestes Stoß	21
4.	Zeitstandfestigkeit, Zeitstandschrengrenze.	22
Kap. 9 Ermüdung und Ermüdungsbruch		22
1.	Dynamische Beanspruchung	22
1.1.	Low Cycle Fatigue (LCF)	22
1.2.	Wöhler – Ermüdung, High Cycle Fatigue (HCF)	22
2.	Ermüdung, Werkstoffversuch	22
3.	Einfluss der Mittelspannung; Dauerfestigkeitschaubild (Smith – Diagramm)	22
3.1.	Verfahren	22
4.	Schadensakkumulationshypothese und Betriebsfestigkeit	23
4.1.	Halbwertsgrade	23
4.2.	Hochtrainieren	23
4.3.	Betriebsfestigkeit	23
5.	Geometrie und Bauteileinfüsse: Gestaltfestigkeit.	23
5.1.	Formzahl α_k	23
5.2.	Dimensionieren	23
6.	Werkstoffkundliche Grundlagen des Ermüdungsbruch	23
6.1.	Bemerkungen	23
6.2.	Stab mit Nut	24
6.3.	Beispiel: Spannungssammigkeiten, Berechnung von Anwendung des Fließgrenze	24
Kap. 10 Wärmebehandlung in Gleichtgewicht-Glühen		25
1.	Beispiel: Spannungssammigkeiten, Berechnung von Anwendung des Fließgrenze	25
Kap. 11 Wärmebehandlung durch Umwandlung in ungleichgewicht – Härteten, Anlassen, Vergüten		26
1.	Härte und Härtemeßung	26
1.1.	HB: Brinellhärte	26
1.2.	HV: Vickershärte	26
1.3.	HR: Rockwellhärte	26
1.4.	Bemerkungen	26
2.	Umwandlung in der Paraffinstufe (γ)	26
3.	Umwandlung in der Martensitstufe	26
3.1.	Umwandlungstemperatur	26
3.2.	Kritische Abkühlungsgeschwindigkeit	26
3.3.	Wirkung und Umwandlung des Restaustenits	26
3.4.	Anlassen von Kohlenstoffmarkenst	26
4.	Vergüten (Verfahren)	27
5.	Durchhärtung	27
6.	Formgedächtnislegierungen (Shape – Memory – Alloys)	27
7.	Umwandlung in der Zwischenstufe	27
8.	Bemerkungen	27
Kap. 12 Zeit-Temperatur-Umwandlungs-Schaubild		27
1.	Einleitung	27
2.	Das Isotherme ZTU – Schaubild	27
2.1.	Ermittlung von Umwandlungslinien	27
3.	Das kontinuierliche ZTU-Schaubild	28
4.	Härten von Stählen	28
5.	Vergüten von Stählen	28
5.1.	Anlassverfahren: angelassener Martensit	28
5.2.	Zwischenstufenvergüten, isothermes Vergüten	28
5.3.	Patentieren	28
6.	Thermomechanische Behandlung	28
6.1.	Kontrolliertes Walzen	28
6.2.	Austenitformhärtan	28
Kap. 13 Wärmebehandlung der Oberfläche		29
1.	Unterschiedlichkeit zwischen Anforderung an die Oberfläche und Anforderung an das Innere	29
2.	Selektives Erwärmen der Oberfläche	29
3.	Verfahren mit Änderung der Legierung	29
3.1.	Aufkohlen (Einsatzhärten)	29
3.2.	Nitrieren	29
3.3.	Borieren	29
Kap. 14 Ausscheidung, Austärting (Teilchenhärting)		29
1.	Teilchenwachstum	29
2.	Mechanische Eigenschaften durch Teilchenhärting	29
3.	Verarbeitungsmechanismus	29
3.1.	Streckgrenzenverlauf während des Auslängens	29
4.	Sonderformen der Teilchenhärting	29
5.	Älterung	29
5.1.	Abschreckalterung	29
5.2.	Reck- oder Verformungsalterung	29
5.3.	Überalterung	29
5.4.	Blauprädisigkeit	29
Kap. 15. Stähle		30
1.	Der Kerbschlaghärte	30
2.	Bezeichnungssystem für Stahlwerkstoffe	30
2.1.	Gebrauchsgegenstände Bezeichnung (Unlegierte Werkstoffe):	30
2.2.	Grundstähle, Qualitätstähte, Edelstähle	31
2.3.	Bezeichnung nach chemischer Zusammensetzung	31
2.4.	Bezeichnung durch Nummer	31
2.5.	Alte Werkstoffe Bezeichnung	31
3.	Allgemeine Baustähle	31
4.	Wirkung der Legierungselemente	31
5.	Baustähle	31
5.1.	Zeitsatzähnle 0 < C < 0,25 %	32

5.2.	Vergütungsstähle	$0.25 < C < 0.55 \%$	41
5.3.	Nitinolstähle	32	
5.4.	Automatenstähle	42	
5.5.	Korrosionsbeständige Stähle	42	
5.6.	Wärmeleite Werkstoffe	42	
5.7.	Unlegierte Werkzeugstähle	$0.5 < C < 1.5 \%$ (Umwandlungshärtbare Stähle)	43
5.8.	Anforderung	43	
5.9.	Kaltarbeitsstähle	43	
5.10.	Wärmarbeitsstähle	43	
5.11.	Schnellarbeitsstähle	44	
5.12.	Wärmebehandlung der Werkzeugstähle	44	
Kap 16 Eisen – Kohlenstoff – Gusswerkstoffe			
1.	Einleitung und Übersicht	44	
2.	Stahlguss ($C < 2\%$)	44	
3.	Gusseisen ($C > 2\%$) allgemein	45	
4.	Bezeichnungssystematik von Gusseisen	45	
5.	Gusseisen mit Lamellengraphit (GJL)	45	
5.1.	Gusseisendiagramm	45	
6.	Gusseisen mit Kugelgraphit (GJS)	45	
7.	Festigkeit von Grauguss	45	
8.	Sphäroguss, Temperguss	46	
9.	Bainitischen Gusseisen	46	
10.	Temperguss	46	
10.1.	Weisser Temperguss GuMW	46	
10.2.	Schwarzer Temperguss GuIMB	47	
Kap. 17 Aluminium und Aluminium-Legierungen			
1.	Leichtmetalle	47	
2.	Bezeichnung	47	
3.	Nichtaus härtbare Legierungen (Mischkristallhärtung und Härtung durch Versetzungen)	47	
4.	Aushärtbare Legierungen	47	
4.1.	Durchführung der Aushärtung	47	
5.	Glühen von Al-Werkstoffen	47	
5.1.	Barren-Hochglühen	47	
5.2.	Weichglühen	47	
6.	Aluminierungsslegierungen	48	
6.1.	Wichtigste Gusslegierungen	48	
6.2.	Impfen mit Na und Sr	48	
7.	Korrosionsverhalten von Aluminium	48	
7.1.	Oxidschicht	48	
7.2.	Natürlicher Korrosionsschutz	48	
7.3.	Künstlicher Korrosionsschutz	48	
Kap. 20 Physikalische Eigenschaften			
1.	Thermische Eigenschaften	49	
1.1.	Wärmeschwingerungen des Kristallgitters	49	
1.2.	Molärwärme und spezifische Wärmekapazität	49	
1.3.	Spezifische Wärmekapazität $C_p(T)$ und freie Enthalpie $G(T)$	49	
1.4.	Bindungsenergie	49	
1.5.	Wärmeausdehnung	49	
1.6.	Wärmeleitung	49	
2.	Elektrische Eigenschaften	50	
2.1.	Klassische Elektronentheorie	50	
2.2.	Bändermodell	50	
2.3.	Elektrische Strom und Spannung	50	
2.4.	Elektrische Leistung	50	
2.5.	Widerstand eines Kristallgemisches	50	
3.	Magnetische Eigenschaften	50	
3.1.	Grundlegenschaften und Grundgrößen	50	
3.2.	Atomare Ursprung des Magnetismus	50	
3.3.	Strukturierter Magnetismus	50	
Kap. 21 Polymere – Struktur			
1.	Definition und chemischer Aufbau	50	
1.1.	Ungesättigte Bindungen oder Kohlenstoff – Bindungen, Polymerisation	50	
1.2.	Monomere mit reaktionstypischen Endgruppen	50	
1.3.	Polymerisation	50	
1.4.	Polykondensations	50	
1.5.	Polyaddition	50	
1.6.	Gestalt der Makromoleküle von Polymeren	50	
2.	Größe der Makromoleküle von Polymeren	50	
3.	Bindungskräfte der Makromoleküle	50	
4.	Ordnung der Makromoleküle	50	
4.1.	Glasartige amorphe Strukturen	50	
4.2.	Voraussetzungen für die Kristallbarkeit	50	
4.3.	Teilkristalline Strukturen	50	
4.4.	In Teilkristallinen (partiell kristallinen) Kunststoffen sind folgende Kristallformen möglich:	50	
4.5.	Bindungskräfte der Makromoleküle	50	
4.6.	Physikalisch mögliche Nebenvalenzkräfte möglich:	50	
4.7.	Einteilungsmöglichkeiten	50	
Kap. 22 Polymere – Klassifizierung und Zustände der Polymere			
1.	Klassifizierung nach physikalischen Eigenschaften	51	
2.	Polymerzustände	51	
2.1.	Energieelastischer Zustand (oft auch harzelastischer Bereich)	51	
2.2.	Erweichungszustand (auch Elmhieberbereich oder Glasübergangsbereich)	51	

Kap 0 Einleitung

1. Eigenschaften der Werkstoffe (Zugversuch)

1.1. Spannungs-Dehnungsdiagramm



$$\text{Spannung} \quad \sigma = \frac{F}{A}$$

$$[\sigma] = \frac{N}{mm^2}$$

Sie zählt per Definition positiv, wenn es eine Zugspannung ist und negativ, wenn es eine Druckspannung ist.

$$\text{Definition} \quad \varepsilon = \frac{\Delta L}{L} = \frac{\Delta x}{a}$$

Dehnung ist die werkstoffspezifische Verformungsgröße.
Alle im Kraftfluss liegenden Atomlagen um den Beitrag Δx auseinandergezogen. Je mehr solcher Atomlagen innerhalb der Länge a Platz haben, desto grösser ist also die Gesamtverlängerung ΔL des Probekörpers. (a ist die Atomabstand)

$$\sigma = E \cdot \varepsilon \quad [E] = \frac{N}{mm^2}$$

Die Grösse E heisst Elastizitätsmodul und ist die Wichtigste Kenngrösse mechanischer Werkstoffeigenschaften

1.1. Grenzen	Proportionalitätsgrenze
Die Grenze bis zu der das Hookesche Gesetz gilt, nennt man Proportionalitätsgrenze	σ_p
Elastizitätsgrenze	$R_{p0.01}$
Für den Ingenieur ist die Spannung, bis zu der das Bauteil keine bleibenden Verformung erleidet, als Betriebsbeanspruchungsbereich von Interesse. Physikalisch wird gerne $R_{p0.01}$, d.h. die Spannung, bei der die bleibende Dehnung 0.01 % beträgt, als Elastizitätsgrenze festgelegt. Technisch verwendet man als Auslegungsgrenze $R_{p0.02}$, d.h. die Spannung, bei der eine bleibende Dehnung von 0.2% verbleibt.	$R_{p0.02}$
Es gibt Werkstoffe bei denen die Bleibende Dehnung plötzlich einsetzt, während die Spannung bzw. die Kraft zur weiteren Verlängerung kleiner wird. Man sagt diese Werkstoffe haben eine ausgeprägte Streckgrenze R_{sl} . Man unterscheidet die obere R_{uh} und die untere Streckgrenze R_{ul} .	R_{el} R_{eh}
Die Spannungs-Dehnungskurve erreicht ein Maximum, welches man die Zugfestigkeit R_m nennt. Eine grössere Nominalspannung kann das Bauteil ohne zu brechen nicht ertragen.	R_m
1.1.2. Gesamtdehnung	$\varepsilon = \varepsilon_{el} + \varepsilon_{pl}$
Die Gesamtdehnung zusammengesetzt sich aus elastischer und plastischer Dehnung.	

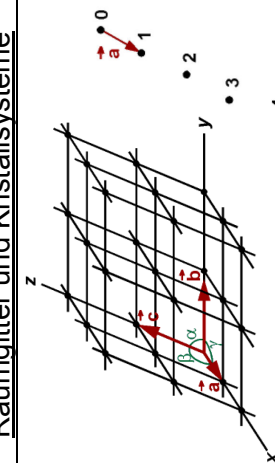
Definition	Spannung
$\varepsilon = \frac{\Delta L}{L} = \frac{\Delta x}{a}$	$\sigma = \frac{F}{A} \quad [\sigma] = \frac{N}{mm^2}$

Kap. 1 Kristallzustand der Metalle

2. Gitteraufbau

Wichtigste Gittertypen

Kubisch flächenzentriert (KfZ) – Hexagonal dichtest (hdP) – kubisch raumzentriert (krz) – tetragonal innenzentriert



- Geht man in vom Punkt 0 aus und verschiebt man diese um den Vektor \vec{a} bzw. um $2\vec{a}$ usw., so entsteht eine Gittergerade.
- Wird eine Gittertranslation mit dem Vektor \vec{b} eingeführt und lässt man diesen auf die Gittergerade einwirken, so entsteht eine **Gitterebene**, wenn \vec{b} nicht parallel zu \vec{a} verläuft.
- Führt man nun eine Gittertranslation mit einem zu \vec{a} und \vec{b} nicht koplanaren Vektor \vec{c} ein und lässt sie auf die Gitterebene einwirken, so entsteht ein Raumgitter.

$$|\vec{a}| = a_0$$

-Gitterkonstante:

-Elementarzelle

-Die Vektoren $\vec{a}, \vec{b}, \vec{c}$ spannen eine **Elementarzelle** auf, die durch die Angaben von sechs Gitterkonstanten bestimmt ist:

Translationsbeträge

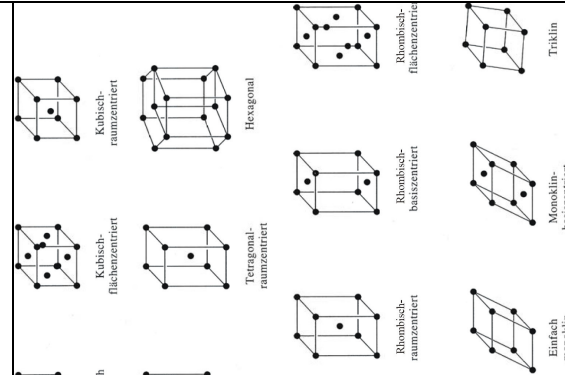
Winkel zwischen den Vektoren

$$\begin{aligned} |\vec{a}| &= a_0 \\ |\vec{b}| &= b_0 \\ |\vec{c}| &= c_0 \\ \angle \vec{ab} &= \gamma \\ \angle \vec{ac} &= \beta \\ \angle \vec{bc} &= \alpha \end{aligned}$$

Kristallsysteme

Variiert man die Winkel α, β, γ zwischen den Achsen eines Translationsgitters und verändert man die Identitätsabstände (Achsenlänge) in den drei Richtungen unter Beachtung der Symmetrie, so erhält man sieben **Kristallsysteme**, die man als BRAVAISchen Gittertypen bezeichnet.

Kristallsystem	Achsenlänge	Winkel zwischen den Achsen	Dichteste Packung	Gittertyp
triklin	$a_0 \neq b_0 \neq c_0$	$\alpha \neq \beta \neq \gamma \neq 90^\circ$	Kante kubisch-primitiv	$8 \cdot \frac{1}{8} = 1$
monoklin	$a_0 \neq b_0 \neq c_0$	$\alpha = \gamma = 90^\circ, (\beta \neq 90^\circ)$	Raumdiagonale kubisch-raumzentriert	$8 \cdot \frac{1}{8} + 1 = 2$
rhomboedrisch (orthorhomatisch)	$a_0 \neq b_0 \neq c_0$	$\alpha = \beta = \gamma = 90^\circ$	Flächendiagonale kubisch-flächenzentriert	$8 \cdot \frac{1}{8} + 3 = 4$
hexagonal und trigonal	$a_0 = b_0 \neq c_0$	$\alpha = \beta = \gamma = 120^\circ (60^\circ)$	Kante gepackt	$12 \cdot \frac{1}{6} + 2 \cdot \frac{1}{2} + 3 = 6$
rhomboedrisch	$a_0 = b_0 = c_0$	$\alpha = \beta = \gamma \neq 90^\circ$	Einfach rhombisch	12
tetragonal	$a_0 = b_0 \neq c_0$	$\alpha = \beta = \gamma = 90^\circ$	Rhomboedrisch flächenzentriert	8
kubisch	$a_0 = b_0 = c_0$	$\alpha = \beta = \gamma = 90^\circ$	Monodim. kubisch	6



2.2. Koordinationszahl

Packungsdichte

Die **Koordinationszahl** gibt die Anzahl der Atome an, die von einem Atom den kürzesten gleichgrossen Abstand haben. Die Koordinationszahl beim Krz-Gitter ist KZ = 8.

2.3. Packungsdichte

Die Raumerfüllung einer Elementarzelle mit Atomen wird als **Pakungsdichte P** bezeichnet und ergibt sich aus dem Quotient der Volumina der als sich berührende Kugeln aufgefassten Atome und dem Volumen der Elementarzelle

$$P = \frac{\text{Atomvolumen innerhalb der Elementarzelle}}{\text{Volumen der Elementarzelle}} = \frac{V_{\text{Atm}}}{V_E}$$

Der Zusammenhang zwischen Gitterkonstante und Atomradius ist in krz durch $a_0 \cdot \sqrt{3} = 4 \cdot r_0$ gegeben, weil sich die Atome entlang der Raumdiagonale berühren.

2.1. Atomanzahl

Beispiel
Beim kubisch-raumzentrierten Gitter sind die Würfelkanten anteilig mit Atomen besetzt. Da jedes Eckatom gleichzeitig am Aufbau von insgesamt 8 Elementarzellen beteiligt ist, ergibt sich die Atomzahl je Elementarzelle zu:
 $A/E = 8 \cdot \frac{1}{8} + 1 = 2$ Atome/Zelle.

2.4. Stapelfolge und Stappfehler

ABABABABABABABAB....

3. Die Bezeichnung von Punkten, Geraden und Ebenen im Raumgitter (Miller'sche Indizes)

$\langle xyz \rangle$	Einzelne Richtung
$\langle xyz\rangle$	Richtungsfamilie, Kristalllographisch äquivalent
$\{xyz\}$	Einzelne Ebene (Ebennormale)
$\{xyz\}$	Ebenenfamilie, Kristalllographisch äquivalent (Ebennormale)
\bar{x}	Negative Koordinate

3.1. Millersche Indizes

Eine **Gitterebene** schneidet die Achsen x, y, z in den Punkten mit den Koordinaten auf der x-Achse m00, auf der y-Achse 0n0 und auf der z-Achse 00p.
Das kleinste ganzzahliges Vielfache der reziproken Achsabschnitte einer Ebene nennt man **den Millerschen Indizes (hkl)**

$$\text{x-Achse: } h \sim \frac{1}{m} \quad \text{y-Achse: } k \sim \frac{1}{n} \quad \text{z-Achse: } l \sim \frac{1}{p}$$

Bei einer Netzebene betragen die Achsenabschnitte:

$$\text{m n p} = 2 \begin{smallmatrix} 1 & 1 & 1 \\ \bar{2} & 1 & 3 \end{smallmatrix}$$

reziprok

Dies führt zu $(\bar{3} \ 6 \ 2)$ als Millersche Indizes.

Andere Methoden: 2 geraden auf Ebene, dann: $\underline{a} \times \underline{b} = \underline{n} \Leftarrow$ Mill. Indizes

3.1.1. Miller-Bravais-Indizes für hexagonale Gitter

Wegen der spezifischen Symmetrie der hexagonalen Gitter ist ein spezielles Koordinatensystem a_1, a_2, a_3, c gebräuchlich. Dabei ist mit a_3 eine redundante Achse eingeführt, die mit a_1 und a_2 in der gleichen Ebene liegt. Seien u, v, t, w die Koordinaten im 4-achsigen System und u', v', w' diejenigen im 3-achsigen System a_1, a_2, c . Dann gelten folgende Transformationsgleichungen, wobei der Faktor n so gewählt wird, dass kleinste ganze Zahlen entstehen:

$$\begin{aligned} u &= \frac{n}{3}(2u' - v') \\ v &= \frac{n}{3}(2v' - u') \\ t &= -\frac{n}{3}(u' + v') = -(u + v) \Leftrightarrow u + v + t = 0 \\ w &= n \cdot w' \end{aligned}$$

$$\begin{aligned} u' &= \frac{1}{n}(2u + v) \\ v' &= \frac{1}{n}(2v + u) \\ w' &= -w \end{aligned}$$

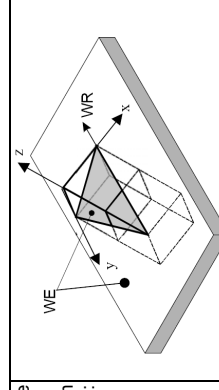
4. Anisotropie und Textur

4.1. Isotropie und Anisotropie

Man nennt einen Körper **anisotrop**, wenn seine Eigenschaften von der Richtung abhängen, in der sie gemessen werden.
Liegt keine Änderung der Eigenschaften in Abhängigkeit der Richtung vor, so ist ein Körper **isotrop**.

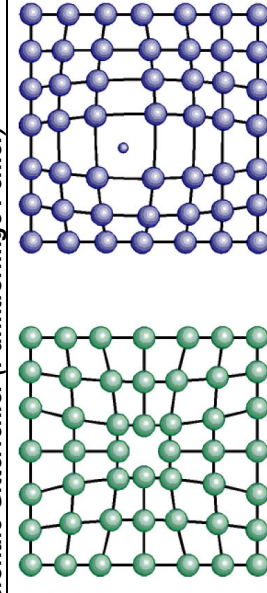
4.2. Textur

- Wenn in einem Metallstück die Gitter der Kristallkörper eine bestimmte Lage bevorzugen, die ideale Lage
- Wird beschrieben indem Walzebene und Walzrichtung im Koordinatensystem des Kristallgitters eines Korns in idealer Lage dargestellt werden. Z.B.: $(110)[001]$, (Walzebene WE)[Walzrichtung WR]
- Textur \Rightarrow Anisotrop!!



5. Realstruktur: Gitteraufehler

5.1. Nulldimensionale Gitterfehler (Punktförmige Fehler)



b) Zwischengitteratom

Häufigkeit des Fehlers (Zwischengitteratom):	$C_L = \frac{n_l}{N}$	$N = \sum n_i$
		$-n_l$: Anzahl der Atome oder Fehlstellen im Gitter $-N$: Anzahl der Atome bzw. Gitterstellen

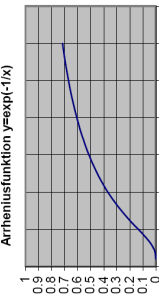
Mit zunehmender h nimmt Wahrscheinlichkeit des Auftretens des Defektes ab, mit zunehmender Temperatur hingegen zu.

5.1.1. Arrhenius-Funktion

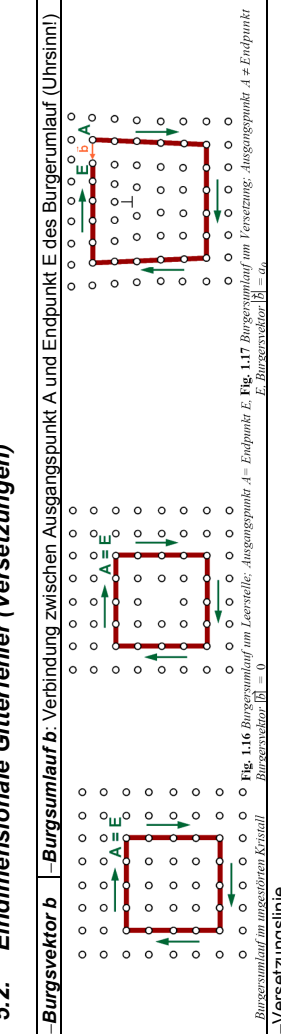
Ist die Beziehung, die die thermisch aktivierte Prozesse beschreibt, z.B. für die Leerstellekonzentration C_L :

$$C_L = C_L \exp(-\frac{H_L}{kT}) \quad C_L = C_L \exp(-\frac{H_L}{RT}) \quad -R=8.31 \text{ J/molK}$$

Arrheniusfunktion $y=\exp(-1/x)$



5.2. Eindimensionale Gitterfehler (Versetzungen)



- Versetzungslinie
- Gleitebene: Die Ebene die dabei von der Versetzungslinie überstrichen wird => Plastische Verformung.
- Tangenteneinheitsvektor t : in jedem Punkt tangential zu ihrer Achse gerichtet, die Richtung kann sich ändern.
- Burgersvektor b : von der Kristallstruktur abhängiger Verzerrungsvektor, ändert sich nicht.
- Die Versetzungslinie kann **nie im Gitter enden**. Sie muss in sich im Gitter geschlossen sein oder an einer Grenzfläche enden.
- Eine **Vollständige Versetzung** geht von einem Atom bis ein anderes, die andere sind **Teilversetzungen**.

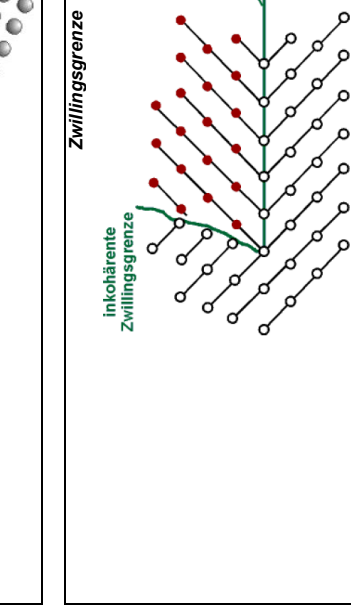
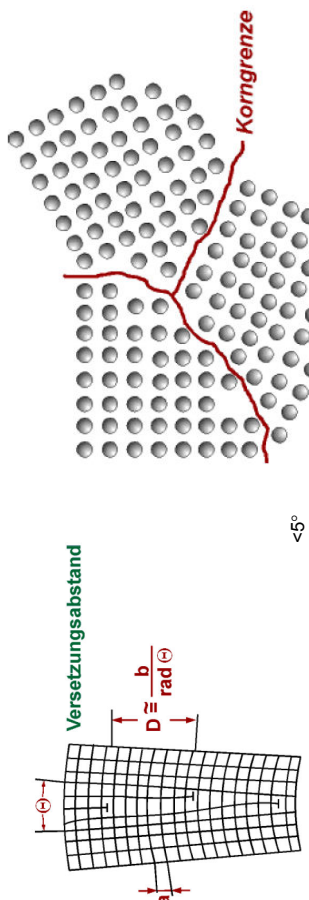
Der Burgersvektor steht in ganz bestimmt Beziehung zur Kristallstruktur:

$$\hat{b} = \frac{a_0}{n} (n \nu \nu) \quad |\hat{b}| = \frac{a_0}{n} \sqrt{\frac{2}{n^2 + \nu^2 + \mu^2}}$$

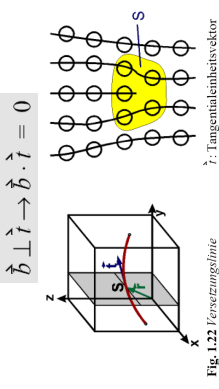
- Die Wahrscheinlichste Versetzung sind die **Kleinste!**
- **B** schaut immer in Richtung von Nachbar Atome!

Kleinwinkelkorngrenzen

Kristallorientierung Differenz von bis zu 5° , falls $>5^\circ$ spricht man von Grosswinkelkorngrenzen (Großgrenz). Sind schwierig zu beschreiben.

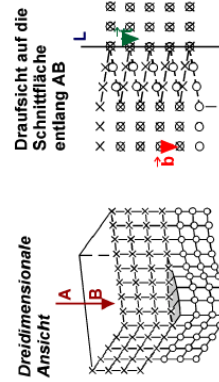


Stufenversetzung:



Schraubenversetzung

$$\vec{b} \parallel \vec{l} \rightarrow \vec{b} \cdot \vec{l} = \max$$



Versetzungsenthalpie:

Erforderliche Energie für die Bildung einer Versetzung, $E - b^2$

Bemerkung!!!:

Gleitungen immer in Richtung dichtester Atompackungen (K)

Versetzungsdichte ρ_v

$\rho_v = \frac{1}{V} \sum_i l_i \approx \frac{N}{A}$ Ist die Summe der Länge aller Versetzungen pro Volumeneinheit, oder Anzahl N der Durchstosspunkte von Versetzungenlinien durch eine Kontrollfläche A definiert.)

5.3. Zweidimensionale Gitterfehler, Stapelfehler

5.3.1. Störungen Stapelfolge: Stapelfehler

Stapelfehler liegen vor, wenn z.B. beim kubisch flächenzentrierten Gitter die dichtest gepackten Ebenen nicht wie ABCA übereinander liegen sondern wie ABA. Zwischen Stapelfehlerbereichen und dem ungestörten Kristall liegen Teilversetzungen. Stapelfehler behindern die Versetzungsbewegungen. Das führt zu einer Verfestigung bei plastischer Verformung. Die Energie, welche högt ist um einen Stapelfehler zu erzeugen, ist abhang vom Material und der Fläche des Stapelfehlers. Je höher die Stapelfehlerenergie, umso kleiner sind die Stapelfehler, umso beweglicher sind die Versetzungen, umso kleiner ist die Verfestigung bei plastischer Verformung.

Man braucht 2 **Teilversetzungen** um ein Stapelfehler zu Bilden!

Überstrukturen: Ordnung oberhalb des Ordnungsprinzips des Kristalls

-Erzeugung von **Stapelfehler**: die **Stapelfehlerenergie** γ_{sr} muss als Energie pro Fläche des Stapelfehlers aufgebracht werden. Der Abstand d zwischen zwei Teilversetzungen im Gleichgewichtszustand ist der Stapelfehlerenergie umgekehrt proportional.

$$d \sim \frac{1}{\gamma_{sr}}$$

18CrNi 7 10 ⁻³	Ms30 7 10 ⁻³	Au 10 10 ⁻³	Cu 100 10 ⁻³	Al 250 10 ⁻³
------------------------------	----------------------------	---------------------------	----------------------------	----------------------------

5.3.2. Korngrenzen, Phasengrenzfächen

-Korngrenze: Grenzflächen zwischen Kristallen einer Phase
-Phasen Grenzfächen, Korngrenzfächen sind Grenzflächen zwischen Phasen unterschiedlicher Struktur und Zusammensetzung

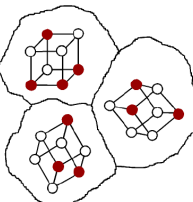
5.4.2. Legierungen

Legierungen
Phase
Mischung eines Metalls mit einem oder mehreren anderen Metallen oder Nichtmetallen

Phase
Die dadurch entstandenen Bereiche einer Legierung, die gleiche physikalische und chemische Eigenschaften und gleiche strukturellen Aufbau haben.

5.4.2.1. Mischkristall

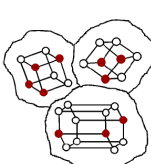
Wenn ein Kristall nicht aus einer einzigen Atomart, sondern aus mehreren Atomarten besteht.



Eine Mischkristallart – eine Phase

5.4.2.2. Kristallgemisch

Ein Kristallgemisch besteht aus mindestens zwei verschiedenen Phasen, von denen jede für sich betrachtet entweder Mischkristalle oder reine Kristalle darstellt.



Kristallgemisch – zwei Phasen (z. Mischkristalle)

5.4.2.3. Vegardsche Regel

Der Gitterabstand in vollkommenen Mischkristallen ändert sich im allgemeinen linear mit der Konzentration
 w_A Konzentration A (Atom-%)
 w_B Konzentration B (Atom-%)

$$a = \frac{(w_A a_A + w_B a_B)}{100} \quad \begin{array}{l} a_A \text{ Gitterkonstante Komponente A} \\ a_B \text{ Gitterkonstante Komponente B} \end{array}$$

Kap. 2 Legierungskunde – Zustandsdiagramme

1. Einleitung

1.1. Gehalt

$$w_A = \frac{m_A}{m} = \frac{\text{Masse der Komponente A}}{\text{Gesamtmasse der Legierung}}$$

Stoffmengengehalt

$$c_A = \frac{n_A}{n} = \frac{\text{Anzahl der Atome A}}{\text{Gesamtzahl der Atome}}$$

Gehalt...			
	Einer Komponente in der Legierung	Einer Komponente in einer Phase	Einer Phase in der Legierung
Benennung	Komponentengehalt	Phasengehalt	Gehalt einer Phase in der Legierung
Zeichen für Massengehalt	w_A, w_B	w_A^α, w_A^β , $w_B + w_A^\alpha = 100$	w_α, w_β , $w_\alpha + w_\beta = 100$
Zeichen für Stoffmengengehalt	c_A, c_B	c_B^α, c_A^β	c_α, c_β

2. Thermodynamische Grundbegriffe, Hauptssätze, Potentiale

$$dE_{kin} + dE_{pot} = dW_{mech} \quad \Rightarrow \quad dU + dE_{kin} + dE_{pot} = dW_{mech} + dQ \quad \begin{array}{l} \text{Speicherung} \\ \text{Zufuhr (Arbeit)} \end{array} \quad \begin{array}{l} \text{Mit Wärmebewegung} \\ \text{Speicherung} \end{array} \quad \begin{array}{l} \text{Zufuhr (Arbeit)} \\ \text{Zufuhr (Arbeit)} \end{array}$$

1. U: Funktion einer weiteren Zustandgrösse, Entropie genannt, dem Volumen und den Komponentengehalten w_i

$$U = U(S, V, W_1, \dots, W_n)$$

$$2. TdS = dW_{reib} + dQ$$

3. Abgeschlossenes System: $dS \geq 0$

Freie Energie F

$$F = U - TS, F = F(T, V, W_1, \dots, W_n)$$

Enthalpie H

$$H = U + PV, H = H(S, P, W_1, \dots, W_n)$$

Freie Enthalpie G

$$G = H - TS, G = G(T, P, W_1, \dots, W_n)$$

Beispiel

System welches durch Vergrößerung des Volumens mechanische Arbeit leistet:
 $dU = -pdV, dH = -Vdp = 0, dQ = TdS, dU - dQ = TdS, dF = -SdT$

Im Gleichgewichtszustand erreicht die freie Enthalpie G ein relatives Minimum

Beispiel

Veränderung der Zusammensetzung w_A bei T nicht konstant: $\frac{dG}{dV} = 0 \quad \frac{dG}{dw_A} \cdot dw_A = 0$

$$\Rightarrow dV_A^{MK} = -dV_A^S \quad dG = dG_{MK} + dG_S$$

$$\Rightarrow \frac{dG_{MK}}{dV} \cdot dV_A^{MK} + \frac{dG_S}{dV} \cdot dV_A^S = 0 \quad \Rightarrow \frac{dG_{MK}}{dV} = \frac{dG_S}{dV}$$

Schmelze und Mischkristall nehmen diejenigen Gehalte an, welche durch die Tangentenpunkte gegeben sind:

- Falls 2 Phasen gemeinsame liegen vor => Gleiche G !
- Mehrere Phasen: die Stabilen ist die, die die kleinste G besitzt!

a) $T > T_{s_B}$ $G = G_{MK}$

b) $T = T_{s_B}$ $H_f - TS_f = H_k - TS$

c) $T_{s_A} > T > T_{s_B}$ $G = G_{MK}$

d) $T_{s_A} > T$ $G = G_{MK}$

Dove c'è una tangente in comune tra due linee significa che in quel punto sono presenti due fasi!

Nel caso di tre curve di G (ad esempio G_α , G_β , G_δ) significa che a quella temperatura coesistono tre fasi, di conseguenza si avrà un Eutektikum o n Peritektikum a dipendenza del grafico die G .

thermodynamisches Potential der einzelnen Phasen G_i (K)

Konvention für die Phasenbezeichnungen A, B

Reine Stoffe:
Verbindungen mit konstantem Verhältnis: A/B : C, V
Mischkristall: $\alpha, \beta, \gamma, \varepsilon$
Überstruktur: α', β'
Schmelze: S
Komponentengehalt der Phasen: w_A^α, w_A^β usw.

3. Binäres Zustandsdiagramm und Phasenregel

3.1. Gibb'sches Phasengesetz

$P + F = K + 2$ P: Phasen
-F: Freiheitsgraden
-K: Komponenten

$P + F = K + 1$ Gilt nur mit konstanter Druck ($p = \text{konst}$)

4. Phasengleichgewichte, Gesetz der wechselnden Phasenzahl, Hebelgesetz (Phasenräume)

Hebelgesetz

$m_\alpha = \frac{w_A^\beta - w_A^\alpha}{w_A^\beta - w_A^\alpha} \cdot m_K_1 = \frac{b}{a+b} \cdot m_K_1; \quad m_\beta = \frac{a}{a+b} \quad w_\alpha = \frac{b}{a+b} \quad w_\beta = \frac{a}{a+b}$

4.1. Eutektische und Peritektische Umwandlung

$\Delta G_{f/k} = \Delta H_{f/k} - \Delta S_{f/k} T$

$\Rightarrow \Delta G_{f/k} = \Delta H_{f/k} - \left(\frac{T_{f/k} - T}{T_{f/k}} \right) T$

$\Rightarrow \Delta G_{f/k} = \Delta H_{f/k} - \Delta G$

Die Stabilität eines Systems ist abhängig:

- vom Energieinhalt
- vom Ordnungsgrad der atomaren Bausteine

$G = \text{Stabilitätsmass}$

$\Delta G = \text{Mass für die Triebkraft der Umwandlung}$

$G(T) \downarrow \rightarrow s(T) \downarrow$

Festkörper
Flüssigkeit
Gas

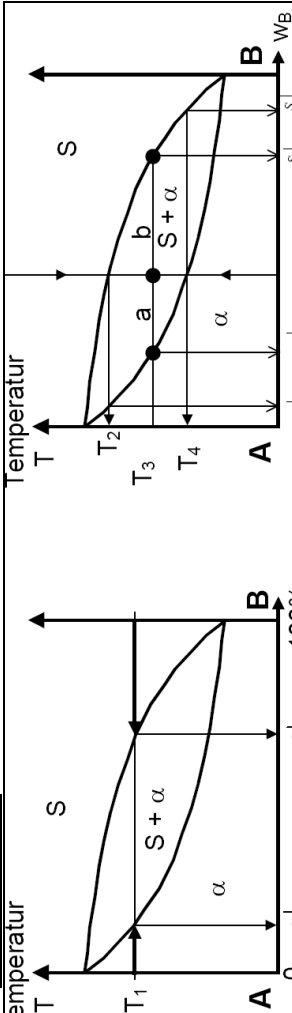
$T_1: G_{FK} = G_{FL}$
 $T_2: G_{FL} = G_G$

Schmelzpunkt
Siedepunkt

$A': B' > t_{\text{eutektischer Zerfall}}$
bei $t_{\text{e}}: 3 \text{ Phasen}$
 α, β, γ mit festgelegter Konzentration

$A': B' > t_{\text{peritaktischer Zerfall}}$
bei $t_p: 3 \text{ Phasen}$
 α, β, γ mit festgelegter Konzentration

5. Beispiel 1: System mit unbegrenzter Löslichkeit von A und B im Mischkristall α .



Das Zustandsdiagramm gibt an, in welchen Bereichen von Temperatur T und Komponentengehalt w_B (= $1-w_A$) die Legierungen flüssig, fest oder als Mischung zwischen fest und flüssig vorliegen. Man kann das Zustandsdiagramm horizontal lesen entlang einer Isothermen (Konoden) T_i :

- Welches ist der höchste Gehalt von A in α : $w_{B,i}^{\alpha} |_{\max(T)}$
- Welches ist die niedrigste Konzentration an B, welche die Schmelze enthalten kann, ohne dass auch feste Kristalle vorliegen: $w_B^S |_{\min(T_1)}$

Man kann das Zustandsdiagramm vertikal lesen entlang einer Linie konstanten Gehaltes w_B^* , bei welcher Temperatur T_4 ist die

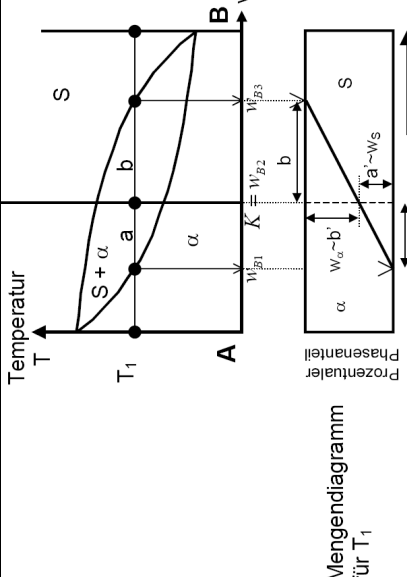
- Von oben nach unten (Abkühlung): Bei welcher Temperatur T_2 beginnt die Kristallisation, bei welcher Temperatur T_4 ist die Kristallisation abgeschlossen?

- Von unten nach oben (Erwärmung): Bei welcher Temperatur T_4 beginnt der Mischkristall zu schmelzen, bei welcher Temperatur T_2 ist der Mischkristall ganz aufgeschmolzen.

Das Zustandsdiagramm stellt Gleichgewichtszustände dar. Bei Fortschreiten von einem Zustandspunkt zum anderen muss man genügend lange warten, bis sich der Gleichgewichtszustand eingestellt hat.

Bei T_2 können sich erste vereinzelle Mischkristalle mit der Konzentration $w_B^{\alpha}|_2$ bilden. Bei T_3 besteht die Legierung aus $a(a+b)=w_S$ Schmelze und $b/(a+b)=w_\alpha$ Mischkristall. Der Gehalt an B in der Schmelze ist grösser als es der Legierung entspricht $w_B < w_B^S|_3$. Der Gehalt an B der bei T_3 gebildeten Kristalle ist immer noch kleiner als es der Legierung entspricht, aber grösser als derjenige der bei T_1 gebildeten Kristalle. Diese müssen aus der Schmelze oder den angrenzenden Kristallen zusätzlich A-Atome aufnehmen, um den Gleichgewichtszustand zu erreichen.

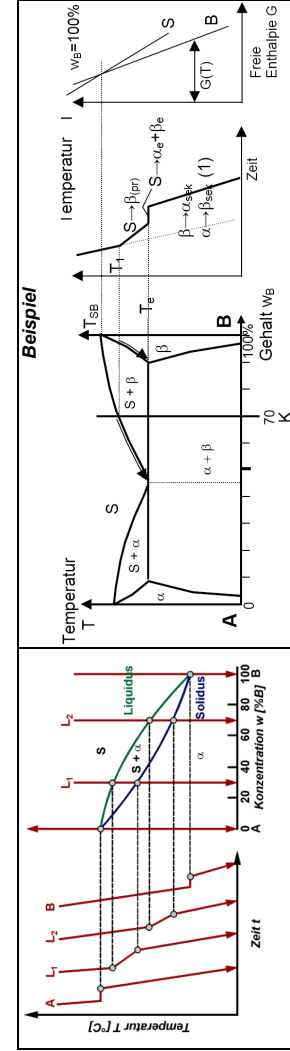
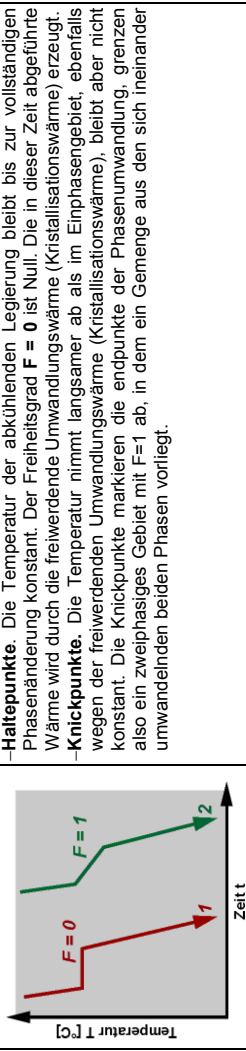
6. Mengendiagramm



$$W_\alpha = W_\alpha(w_B); \quad W_S = W_S(w_B);$$

$$W_\alpha(w_B) + W_S(w_B) = 1$$

7. Abkühlungskurven



8. Grundtypen der Zustandsdiagrammen

Eutektische Reaktion
 $S \rightarrow \alpha + \beta$ 1 Phase \Rightarrow 2 Phasen

Eutektoid
Dreiphasenreaktion, bei denen Abkühlung nicht die Schmelze sondern eine feste Phase in zwei Bestandteile zerfällt, nennt man Eutektoid.

Peritektische Reaktion
 $S + \alpha_{pr} = \beta_p$ 2 Phasen \Rightarrow 1 Phase

8.1. Kochrezept zur Bestimmung einer Legierung mit unbeschrifteten Zweistoffsystem

1. Festlegen der Phasenräume
Ein-, Zwei-, Dreiphasenräume mit dem Gesetz der wechselnden Phasenzahl. Einphasenräume sind die Schmelze und die Gebiete ganz außen

2. Beschriften der Phasenräume
A, B, C, V $\alpha, \beta, \gamma, \delta, \varepsilon, \vartheta, \sigma$, nach Konvention

3. Bestimmung der Art der Dreiphasenräume
Eutektisch, peritektisch, eutektoid, peritektoid
 $1P \Rightarrow 2P$ (eutektisch, peritektoid)

4. Abkühlungskurve mit Beschriftigung
(für bestimmten Gehalt, welche Phase(n) wandelt sich in welche andere um)
 $S \rightarrow \alpha_{pr}(S \rightarrow \alpha_1); S \rightarrow \alpha_e + \beta_e;$
 $S + \alpha_{pr} \rightarrow \beta_p; \beta_e \rightarrow \alpha_{se}(\beta_1 \rightarrow \alpha_2)$
Phasengesetz

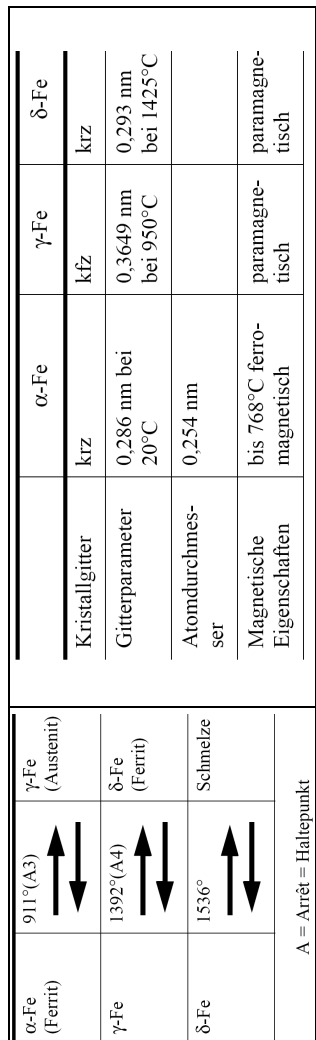
5. Bestimmung der Gehalte der Phasen in der Legierung
40% S, 60% α_{pr}
Hebelgesetz

6. Bestimmung der Phasengehalte
(Gehalte der Komponenten in den Phasen)
 $w_\alpha = 80\%, w_B = 65\%$
Einphasenräume: ZPL = ZPP (Zustandspunkt der Legierung = Zustandspunkt der Phase(n))
Zweiphasenräume: ZPL \neq ZPP

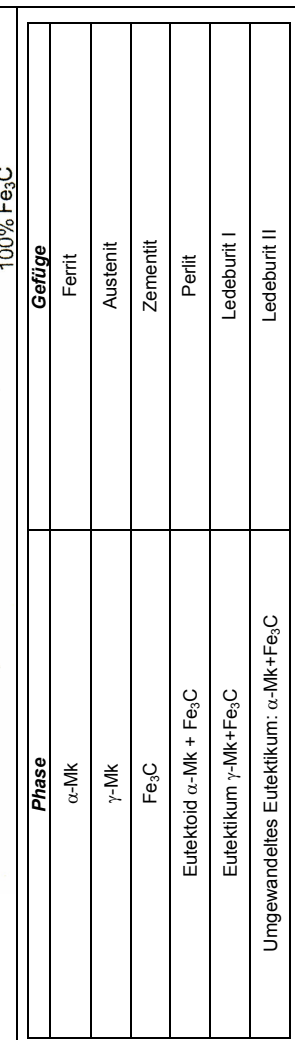
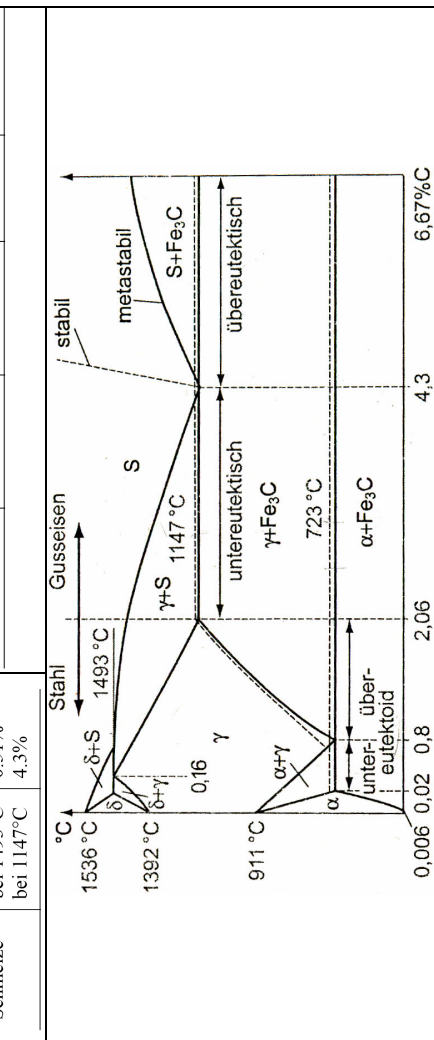
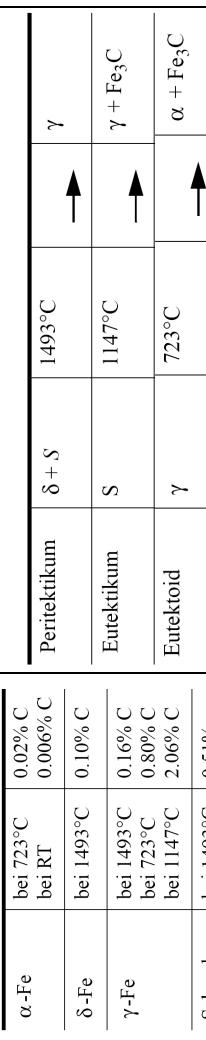
9. Reales Zustandsdiagramm

9.1. Das Eisen

Das Eisen ist das **26.** Element im Periodensystem der Elemente. Es gehört zu den Übergangsmetallen. Unter atmosphärischem Druck schmilzt das Eisen bei **1536°C** und verdampft bei **2738°C**. Seine Atommasse ist **55,85**.



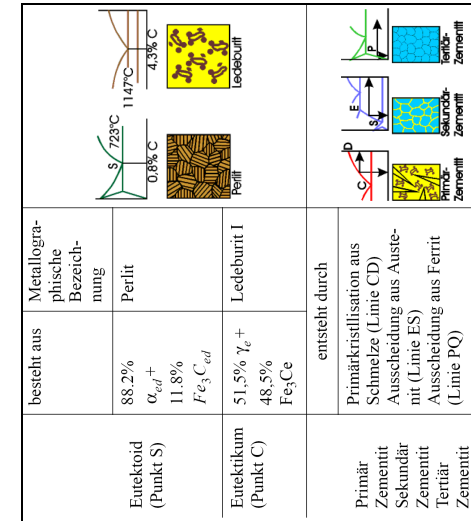
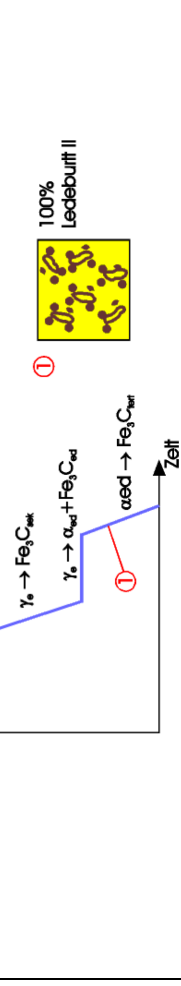
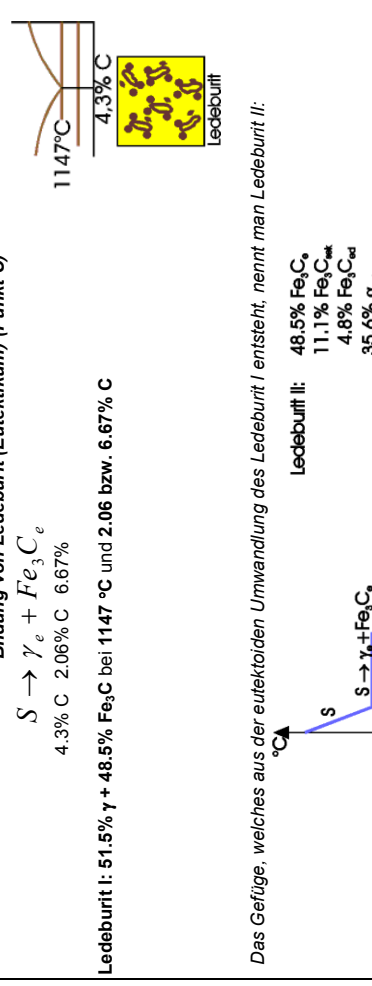
9.2. Das metastabile System Fe-C oder das Fe-Fe₃C-System



Bildung von Perlit durch eutektoidie Umwandlung (Punkt S)



Bildung von Ledeburit (Eutektikum) (Punkt C)



Primärkristallisation aus Schmelze (Linie CD)

Ausscheidung aus Austenit (Linie ES)

Ausscheidung aus Ferrit (Linie PQ)

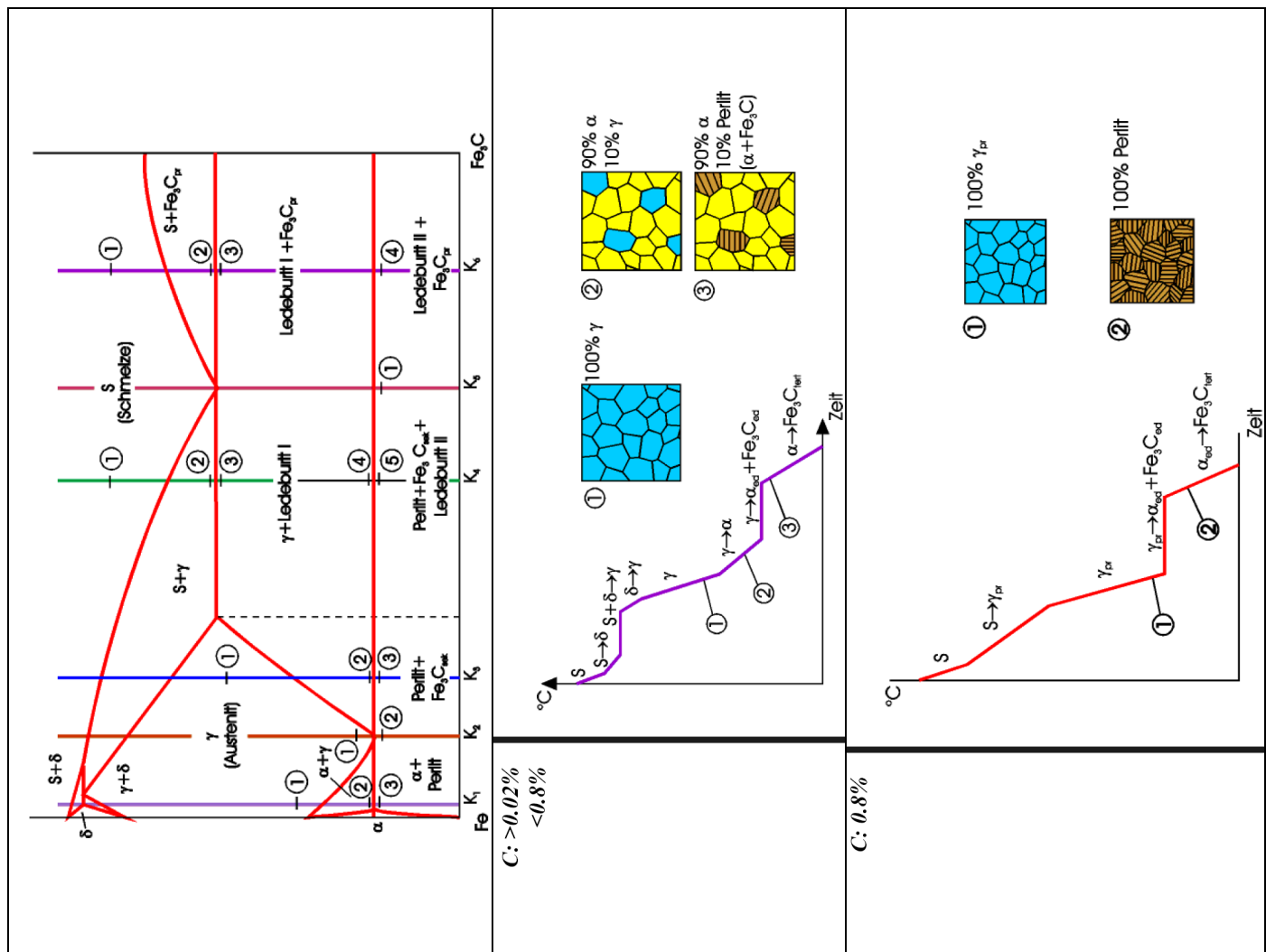
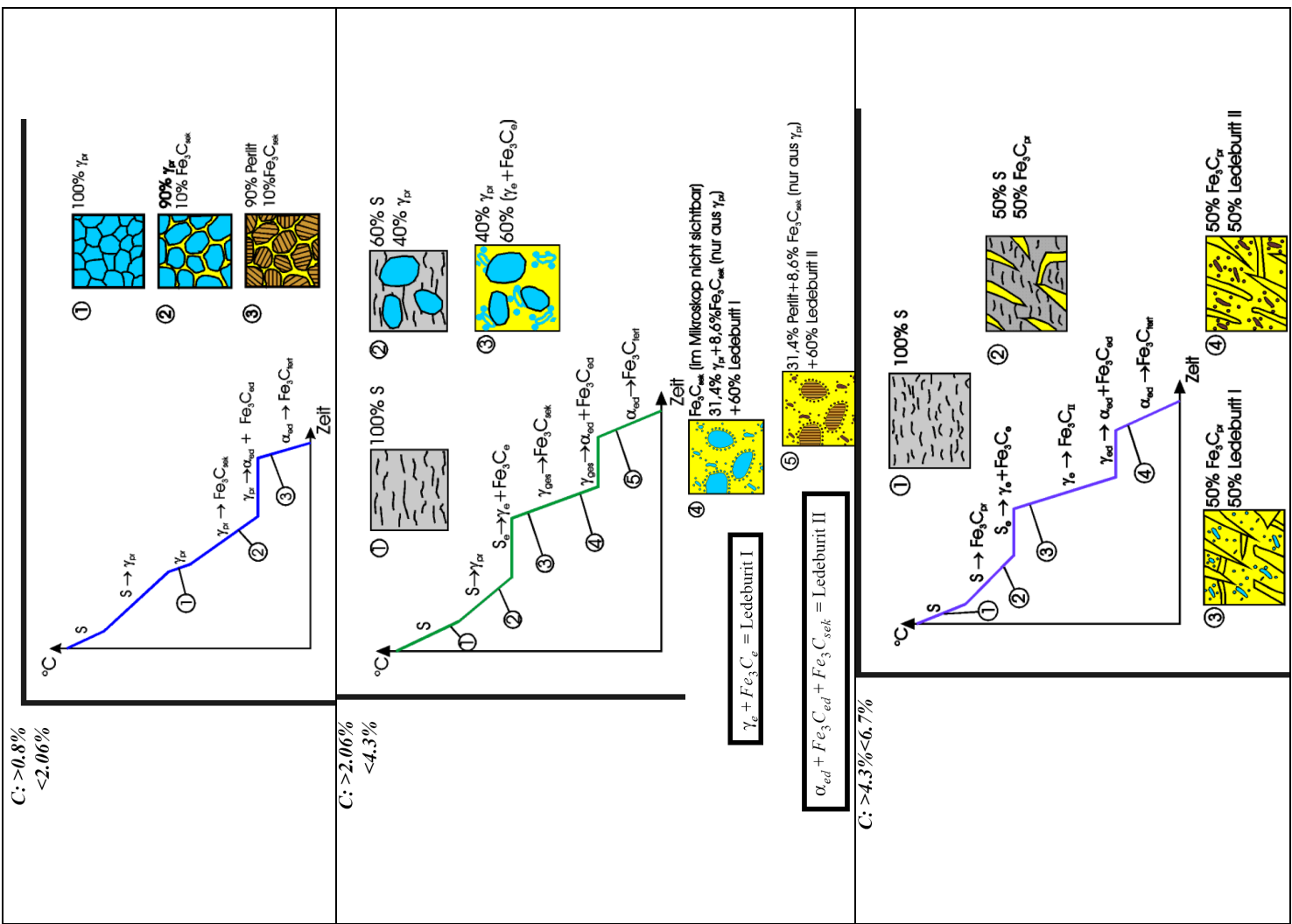
Zementit

Perlit

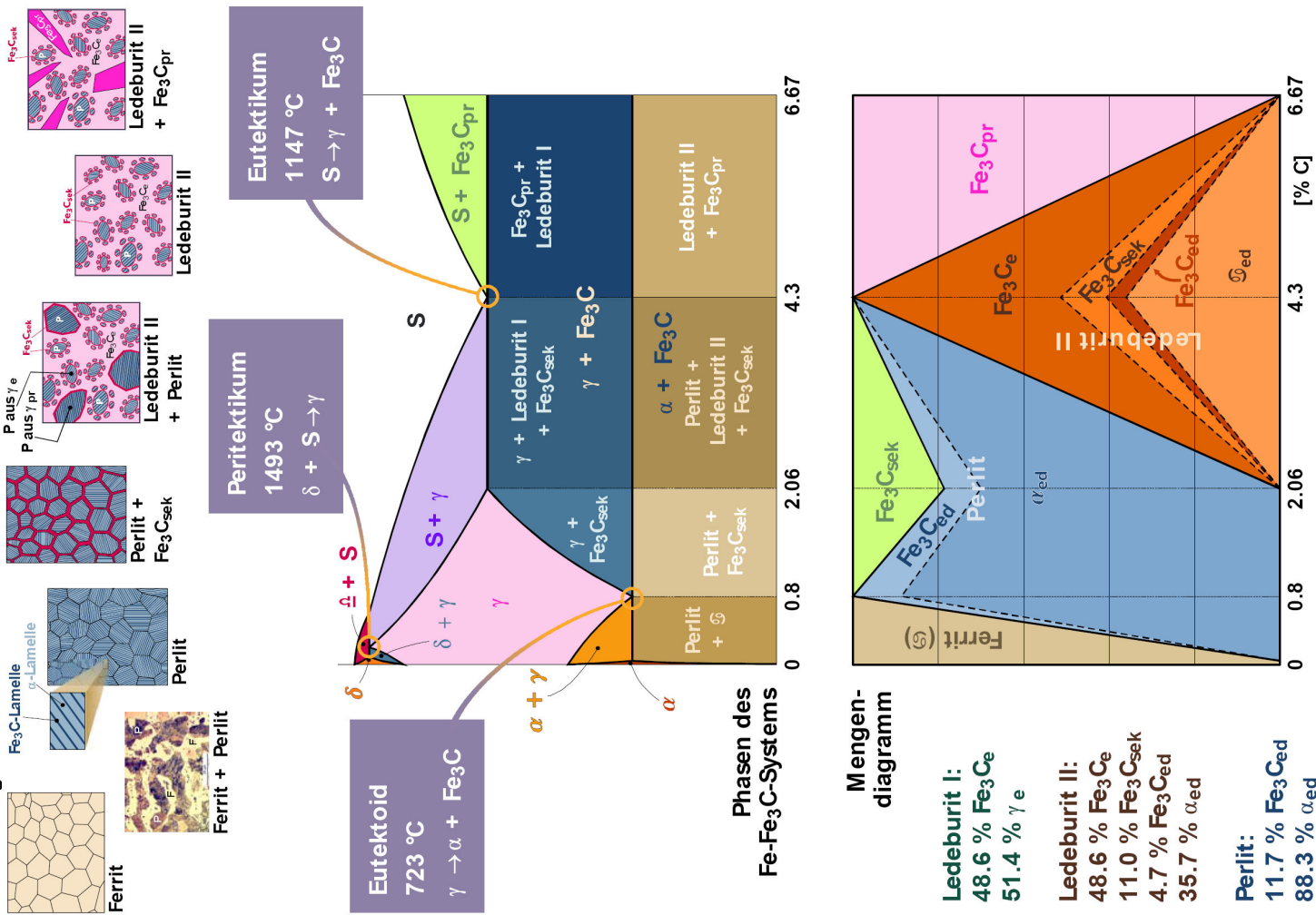
Ledeburit I

Ledeburit II

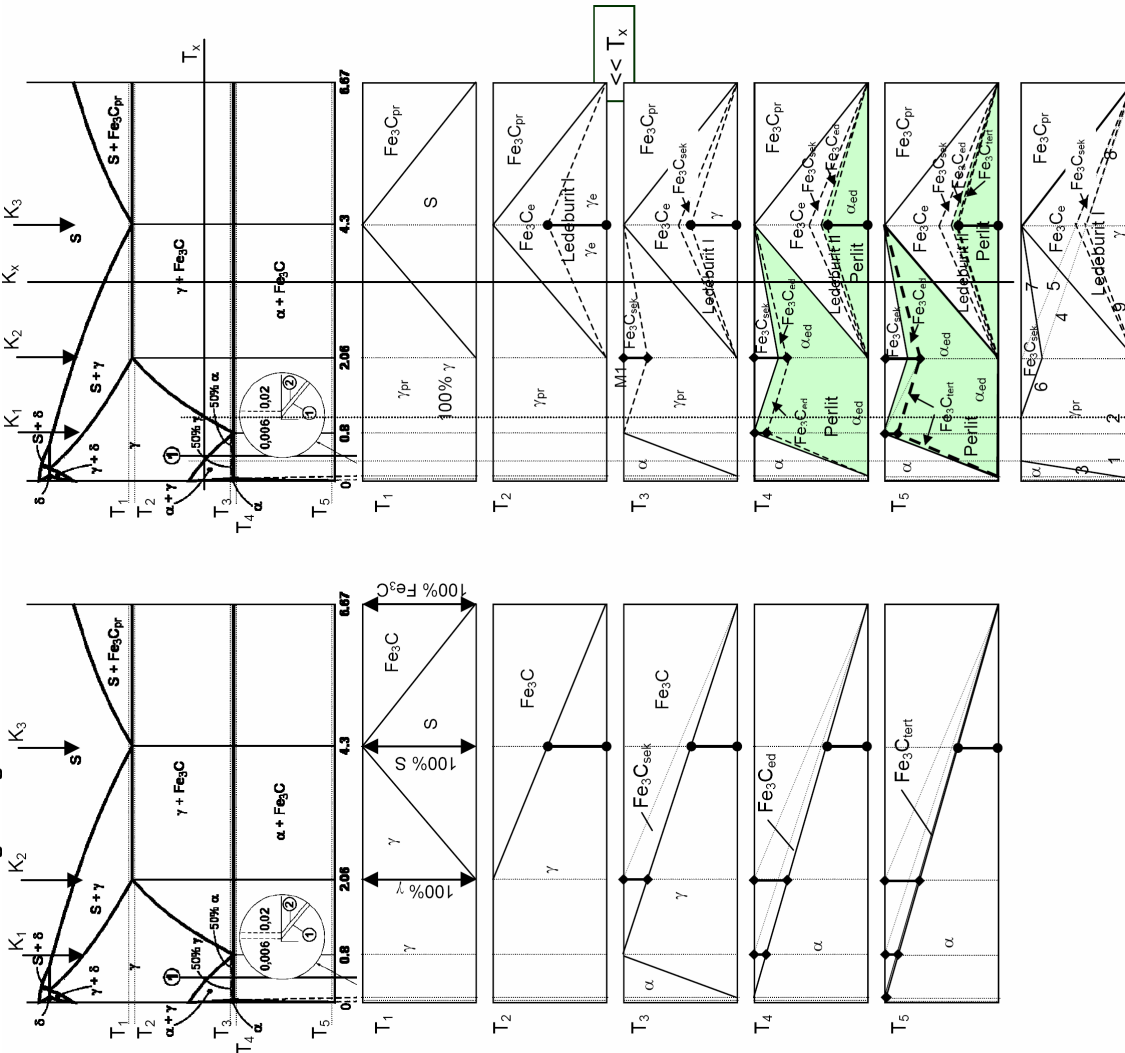
9.3. Beispiele von Gefügen bei verschiedenen Konzentrationen



9.5. Anhang



9.4. Mengendiagramm



Kap. 3 Diffusion

1. Definition

Als Diffusion bezeichnet man irreversible Platzwechselvorgänge von Atomen, Ionen oder Molekülen in festen, flüssigen oder gasförmigen Phasen zur Minimierung der freien Enthalpie.

2. Diffusionsarten

2.1. Selbstdiffusion (Thermodiffusion)

Vielmehr liegt bei einer entsprechenden Zahl von Atomen eine Energieverteilung gemäß der Gauss'schen Glockenkurve vor, d. h. eine bestimmte Anzahl von Atomen hat eine geringe, eine Reihe von Atomen hat eine mittlere und eine weitere Anzahl von Atomen hat eine hohe kinetische Energie. Das Bestreben der Atome, einen Ausgleich der kinetischen Energie durch Platzwechsel herbeizuführen, heißt Thermodiffusion. Sind dabei nur Atome einer Art, d. h. Atome des reinen Metalls, so bezeichnet man diese Art als **Selbstdiffusion**.

2.2. Fremddiffusion (Konzentrationsabhängige Diffusion)

In vielen praktisch relevanten Fällen erfolgt die Diffusion über den Entropierinn, d. h. Ausgleich der Konzentrationsunterschiede der Komponenten im Kristall. Diesen Fall, der im folgenden weiter betrachtet wird, bezeichnet man auch als normale Diffusion.

3. Diffusionsgesetze

3.1. 1. Fick'sches Diffusionsgesetz – Diffusionsstromdichte (j) (Stationäre diffusion)

J gibt wie viel Atome pro Zeiteinheit durch eine Einheitsfläche hindurchtreten. Die mathematische Beziehung zur Bestimmung des Diffusionsstromes heisst erstes Fick'sches Gesetz:

$$J = -D \frac{\Delta c}{\Delta x}$$

J ist der Diffusionsstrom (Atome/cm²s), D der Diffusionskoeffizient (cm²/s) und $\Delta c/\Delta x$ das Konzentrationsgefälle (Atome/cm³ cm).

3.2. Konzentrationsgefälle

Δc ist die Änderung der Konzentration auf der Länge Δx

$$\underline{j} = -D \cdot \text{grad}(c)$$

3.3. 2. Fick'sches Diffusionsgesetz – Konzentrationsprofil (Instationäre diffusion)

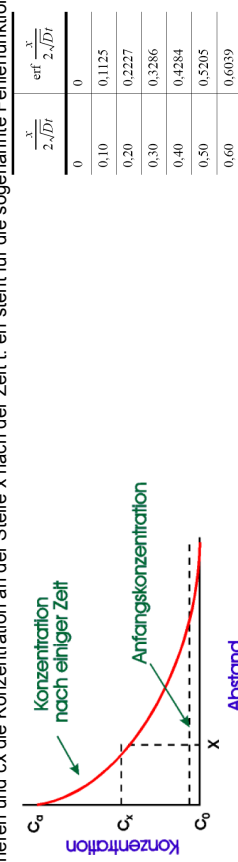
Es ist eine Bilanzgleichung, d.h. stoffunabhängig. Sie beschreibt, dass sich die Atome, die in ein definiertes Kontrollvolumen eintreten und selbiges nicht wieder verlassen im dem Volumen befinden müssen:

$$\frac{dc}{dt} = D \cdot \frac{d^2 c}{dx^2}$$

Mit Hilfe dieser partiellen Differentialgleichung kann man diese Gleichung finden:

$$\frac{c_a - c_x}{c_a - c_0} = \text{erf} \left(\frac{x}{2\sqrt{Dt}} \right)$$

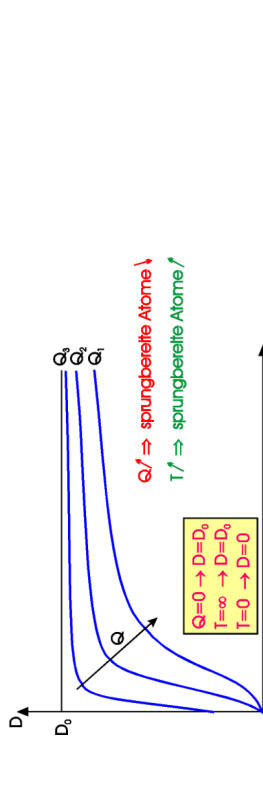
ca bedeutet eine konstante Konzentration an der Oberfläche des betrachteten Volumens, co ist die Ausgangskonzentration im Inneren und cx die Konzentration an der Stelle x nach der Zeit t. erf steht für die sogenannte Fehlerfunktion



$$D = D_0 \cdot e^{-\frac{Q}{RT}}$$

D₀ Konstante, **R** Gaskonstante, **Q** Aktivierungsenergie, **T** Temperatur [K]

DO ist eine Konstante, die vor allem von der Frequenz der Temperaturschwingung abhängt und so Mass ist für die Häufigkeit mit der Atom seine Extreme mit Sprungmöglichkeit erreicht.

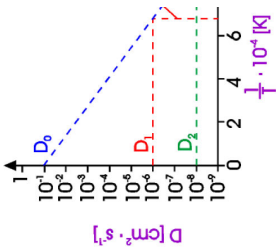


$$\ln D = \ln D_0 - \frac{Q}{RT}$$

bzw.

$$\log D = \log D_0 - \left(\frac{Q}{19.150} \cdot \frac{1}{T} \right)$$

Die Aktivierungsenergie Q ist die Energie, die erforderlich ist, damit ein Atom seinen Gitterplatz verlassen kann. Ein Zwischengitteratom benötigt normalerweise weniger Energie, um sich an den umgebenden Atomen vorbeizudringen. Daher sind die Aktivierungsenergien für Diffusion von Zwischengitteratomen kleiner als die für Leerstellendiffusion

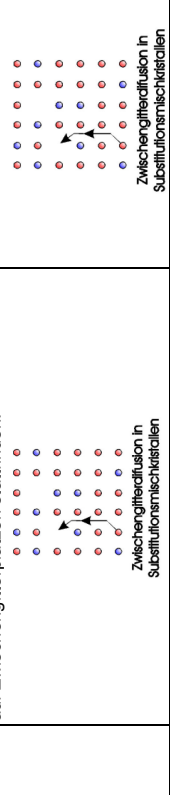


Diffusionsparameter	D ₀ [m ² /s]	Q[kJ/mol]
Fe in Ferrit	5 ⋅ 10 ⁻²	240
C in Ferrit	2 ⋅ 10 ⁻²	75
H in Ferrit	3	12
Fe in Austenit	2 ⋅ 10 ⁻⁵	270
Cu in Al	8 ⋅ 10 ⁻⁶	136
Ni in Cu	6 ⋅ 10 ⁻⁹	125
Cu in Ni	1 ⋅ 10 ⁻⁷	150

4. Diffusionsmechanismen

Wager-Schottky-Mechanismus

Nach diesem Mechanismus verlässt ein Atom seinen Gitterplatz. Daraufhin bildet und besetzt ein leerer Platz eines sich über thermisch bedingte Zwischengitterplätze. Die weitere Diffusion soll auf Zwischengitterplätzen weiteren, freiwerdenden Gitterplätzen und vor allem auf Zwischengitterplätzen stattfinden.



Diffusion über Zwischengitterplätze
wobei Über Zwischengitterplätze erfolgt eine die Diffusion von Atoms über thermisch bedingte Zwischengitterplätze. Die weitere Diffusion soll auf Zwischengitterplätzen weiteren, freiwerdenden Gitterplätzen und vor allem auf Zwischengitterplätzen stattfinden.

Kap. 4 Elastizität

2. Elastische Verhalten, atomarer Beschreibung

1. Das Kontinuum, Verallgemeinerte Spannungen und Dehnungen

Die Dichte ρ

$$\rho = \lim_{dV \rightarrow 0} \frac{dM}{dV}$$

Der mathematische Grenzwert existiert nicht. Das kleinste zulässige Kontrollvolumen ist abhängig von der zu erzielenden Genauigkeit, generell Kantenlänge ca. 10^{-3} Atome. Dann ist der Grenzwert erreicht, wenn durch weitere Verkleinerung des Volumenelements um eine Atomreihe Schwankungen nur noch 10^{-3} betragen. Dies ist dann die Grenze der Anwendbarkeit einer Kontinuumstheorie

Der Spannungsvektor $\underline{\underline{\Sigma}}$

$$\underline{\underline{\Sigma}} = \lim_{dA \rightarrow 0} \frac{d\underline{F}}{dA}$$

Die Verkleinerung der Kontrollfläche erfolgt bis auf Dimensionen (Seitenlängen) von ca. 10^{-3} Atomen. Auch dieser Grenzwert ist erreicht, wenn die Schwankungen des Spannungsvektors nur noch 10^{-3} betragen.

$$d\underline{F} = d\underline{F}_n + d\underline{F}_t = dF_n \cdot \underline{n} + dF_t \cdot \underline{t}$$

Beträge

$$\underline{\underline{\Sigma}}_n = \sigma \cdot \underline{\underline{n}}$$

$$\underline{\underline{\Sigma}}_t = \tau \cdot \underline{\underline{t}}$$

Einheiten: $[\sigma] = \text{N/mm}^2 = 10^6 \text{ Pa} = \text{MPa}$

Normalspannung: Vektorkomponente normal zur Fläche

Schubspannung: Vektorkomponente tangential an der Fläche

Einheiten:

$S_x = \sigma_{xx}$

$S_y = \tau_{xy}$

$S_z = \tau_{zx}$

$S_x = \sigma_{yy}$

$S_y = \tau_{yx}$

$S_z = \tau_{zy}$

$S_x = \sigma_{zz}$

$S_y = \tau_{xz}$

$S_z = \tau_{yz}$

$S_x = \sigma_{xy}$

$S_y = \sigma_{yz}$

$S_z = \sigma_{xz}$

$S_x = \tau_{xy}$

$S_y = \tau_{zy}$

$S_z = \tau_{yx}$

$S_x = \sigma_{yy}$

$S_y = \tau_{zy}$

$S_z = \tau_{xy}$

$S_x = \sigma_{zz}$

$S_y = \tau_{yz}$

$S_z = \tau_{xz}$

$S_x = \sigma_{xy}$

$S_y = \sigma_{yz}$

$S_z = \sigma_{xz}$

$S_x = \sigma_{yy}$

$S_y = \sigma_{xz}$

$S_z = \sigma_{yz}$

$S_x = \sigma_{zz}$

$S_y = \sigma_{xy}$

$S_z = \sigma_{xy}$

Wechselwirkungskraft

Die Wechselwirkungskraft F_N zwischen zwei Atomen ist die Summe der anziehenden und der abstoßenden Kraft:
 $F_N = F_{\text{an}} + F_{\text{ab}}$, in Gleichgewichtsabsatz wird: $F_N = F_{\text{an}} + F_{\text{ab}} = 0$

Wechselwirkungsenergie

Manchmal ist es einfacher mit der Wechselwirkungsenergie $U(r)$ zu arbeiten:
- Ionenbindung m=1, n=16
- Van der Waals m=6, n=12

Wechselwirkungsenergie

$$U(r) = \int_{\infty}^r F_{\text{an}} dr + \int_{\infty}^r F_{\text{ab}} dr \\ = U_{\text{an}} + U_{\text{ab}}$$

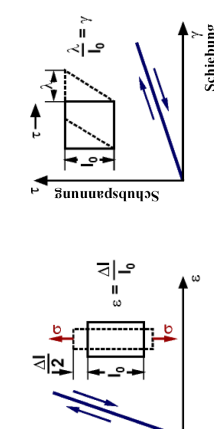
$$F(r) = \frac{dU(r)}{dr}$$

Proportionalitätskonstante C

Sie steht in direktem Zusammenhang mit den elastischen Konstanten

$$C = \frac{dF(r)}{dr} = \frac{d^2 U(r)}{dr^2}$$

2. Elastische Konstanten E, G, V, K



Der Zusammenhang wird durch das Hooke'sche Gesetz beschrieben:

für Normalspannungen, $E ..$ Elastizitätsmodul

für Schubspannungen, $G ..$ Schubmodul

$\tau = G \cdot \gamma$

Der Kompressionsmodul K dient zur Beschreibung der Volumenänderung eines Körpers unter allseitigem Druck

$$K = \frac{-P}{\Delta V} \quad \text{pässerer Druck}$$

Die Volumendehnung lässt sich berechnen als

$$\varepsilon_{V_0/V} = \varepsilon_x + \varepsilon_y + \varepsilon_z$$

Die Poisson-Zahl V gibt an, wie sich die Dimensionen eines Körpers quer zu Zugrichtung bei Zugdehnung verändern

$$-\varepsilon_x = -\varepsilon_y = v \cdot \varepsilon_z \quad \begin{aligned} v &= \frac{\text{Querkontraktion}}{\text{Längsdehnung}} \\ &\text{mit} \end{aligned}$$

$$\frac{\Delta V}{V_0} = 0 \Rightarrow v = 0,5 \quad , \quad \text{Bei Volumenkonstanz:}$$

$$K = \frac{E}{3(1-2v)} \quad ,$$

$$\text{Beziehungen zwischen elast. Konstante}$$

$$E = 2(1+v) \cdot G$$

Metall	v	E [N/mm²]	G [N/mm²]
Mg	0,28	45'150	18'000
Al	0,34	71'900	26'800
Ti	0,33	108'300	40'600
Fe	0,28	216'900	84'700
Cu	0,35	125'000	46'400
Zn	0,29	94'000	34'000

Kap. 5 Plastisches Verhalten der Metalle

Die Schubspannung τ ist die Schubspannung am Flächenelement A in Richtung g, hervorgerufen durch die Normalspannung σ an A_0

$$\tau = \sigma \cdot \cos \lambda \cdot \cos \theta$$

Die Poisson-Zahl V gibt an, wie sich die Dimensionen eines Körpers quer zu Zugrichtung bei Zugdehnung verändern

$$-\varepsilon_x = -\varepsilon_y = v \cdot \varepsilon_z \quad \begin{aligned} v &= \frac{\text{Querkontraktion}}{\text{Längsdehnung}} \\ &\text{mit} \end{aligned}$$

$$\frac{\Delta V}{V_0} = 0 \Rightarrow v = 0,5 \quad , \quad \text{Bei Volumenkonstanz:}$$

$$K = \frac{E}{3(1-2v)} \quad ,$$

$$\text{Beziehungen zwischen elast. Konstante}$$

$$E = 2(1+v) \cdot G$$

Die Schubspannung τ ist die Schubspannung am Flächenelement A in Richtung g, hervorgerufen durch die Normalspannung σ an A_0

$$\tau = \sigma \cdot \cos \lambda \cdot \cos \theta$$

Liegt der Winkel θ fest, das Maximum wird erreicht wenn $\lambda=90^\circ-\theta$, also ($\cos(90^\circ-\theta)=\sin(\theta)$):

$$\tau = \sigma \cdot \sin \varphi \cdot \cos \varphi \quad , \quad \tau = \frac{1}{2} \cdot \sigma \cdot \sin 2\varphi \quad , \quad \text{Dies ist maximal für } \theta=45^\circ$$

Die sehr wichtige Aussage ist also, dass in einem Zugstab an einem Flächenelement unter 45° zur Beanspruchungsrichtung die grössten Schubspannungen auftreten.

τ nimmt bei $\theta=0^\circ$ und $\theta=90^\circ$ einen Wert von 0 an

Normalspannungshypothese

Spröde Material: Trennbruch mit einer senkrecht zur äusseren Kraft liegenden Bruchfläche; $\sigma < \sigma_{zul}$

Duktile Material: Trennbruch unter 45° ; $\tau \leq \tau_{zul}$

2. Einkristallverformung: Theoretische Schubspannung

τ_{th} ist die erforderliche Schubspannung um eine Abgleitung ohne Versetzungen zu ermöglichen:

$$\tau_{th} = \frac{Gb}{2\pi a} \approx \frac{G}{6} \quad , \quad \text{für Metalle ist } \frac{b}{a} \approx 1$$

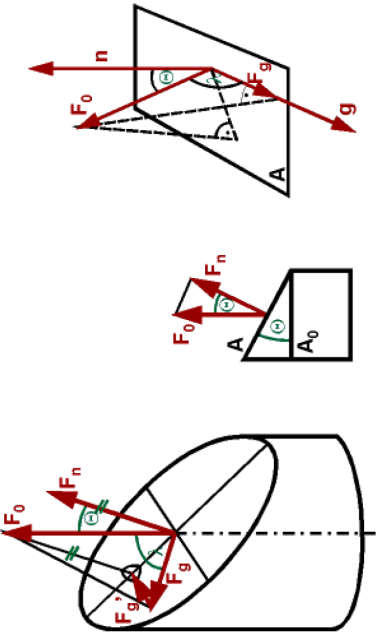
3. Einkristallverformung

Eine Gleitung ist praktisch grundsätzlich mit der Wanderung von Versetzungen verbunden. Des weiteren wurde gezeigt, dass Versetzungen mit einem hohen b/a -proportionalen Enthalpie in der Gleichgewichtslage dazu, dass Versetzungen nur in Richtung dichtet gepackter Richtungen gleiten. Es zeigt sich aber auch, dass Gleitebenen bevorzugt solche Kristallebenen sind, die selber möglichst dicht gepackt sind.

1. Schmidses Schubspannungsgesetz

Das Schmidsesche Schubspannungsgesetz gibt für den Lastfall der einachsigen reinen Zug- oder Druckbeanspruchung an,

wie gross die Schubspannung an einem schiefen Flächenelement in einer bestimmten Richtung ist.



$\sigma = \frac{F_0}{A_0}$

Diese ist die Spannung in Flächenelement A_0 . F_0 wirkt auch am um den Winkel θ schief stehenden Flächenelement A , bewirkt hier aber eine kleinere Spannung S . Weil $A > A_0$, S ist an diesem Flächenelement keine Normalspannung: $A = \frac{A_0}{\cos \theta}$

$$F_g = F_0 \cdot \cos \lambda \quad \Rightarrow \quad \tau = \frac{F_g}{A} = \frac{F_0 \cdot \cos \lambda}{A_0 / \cos \theta}$$

$\tau = \sigma \cdot \cos \lambda \cdot \cos \theta$

τ ist die Schubspannung am Flächenelement A in Richtung g, hervorgerufen durch die Normalspannung σ an A_0

Liegt der Winkel θ fest, das Maximum wird erreicht wenn $\lambda=90^\circ-\theta$, also ($\cos(90^\circ-\theta)=\sin(\theta)$):

$$\tau = \sigma \cdot \sin \varphi \cdot \cos \varphi \quad , \quad \tau = \frac{1}{2} \cdot \sigma \cdot \sin 2\varphi \quad , \quad \text{Dies ist maximal für } \theta=45^\circ$$

Die sehr wichtige Aussage ist also, dass in einem Zugstab an einem Flächenelement unter 45° zur Beanspruchungsrichtung die grössten Schubspannungen auftreten.

τ nimmt bei $\theta=0^\circ$ und $\theta=90^\circ$ einen Wert von 0 an

Normalspannungshypothese

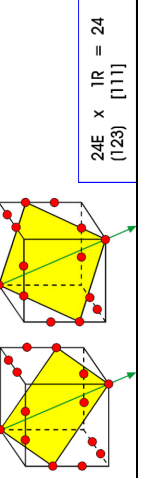
Spröde Material: Trennbruch mit einer senkrecht zur äusseren Kraft liegenden Bruchfläche; $\sigma < \sigma_{zul}$

Duktile Material: Trennbruch unter 45° ; $\tau \leq \tau_{zul}$

Das Paar Gleitebene und Gleitrichtungen nennt man ein **Gleitsystem**:

	B	G	i	e	i	t	s	p	a	Typ	Z	h	Gleitebenen G	Gleitrichtung g	Gesamtzahl der Gleitsysteme	Gleitebenen G	Gleitrichtung g	Gesamtzahl der Gleitsysteme
k Al	f Cu	z Ni	A ₁ Ag	A ₂ Au		(111)	4	[110]	3	12								
F _c e _{αδ}	W Mo	Nb Ta				(110)	6	[111]	2	12								
F _c e _{αδ}	W Mo	Nb Ta				(112)	12	[111]	1	12								
F _c e _{αδ}	W ₃ Mo	Nb				(123)	24	[111]	1	24								

Gleitmöglichkeiten im krz-Gitter [(123) - Ebene]



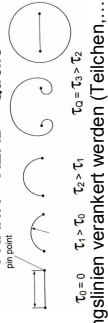
4. Versetzungsbewegung

Die Versetzungsbewegung ist Träger der Plastischen Deformation. Es werden bevorzugt die Gleitsysteme aktiviert, in denen die nach dem Schmidischen Schubspannungsgesetz berechneten Spannungen am größten sind:

$$\tau = \sigma \cdot \cos \lambda \cdot \cos \theta \geq \tau_c$$

Überschreiten einer Kritischen Schubspannung => neue Versetzungen in sog. Versetzungsquellen produziert.

FRANK – READ – Quelle

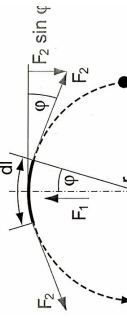


Linienspannung

Dann die Versetzungsleitung sich zu verkürzen sucht, wird eine Kraft benötigt, die die Anknüpfungspunkt der Versetzungsleitung aufnehmen muss..

$$F = \frac{dE}{dl} = \frac{1}{2} G b^2$$

Pin – Punkte: Punkte an denen Versetzungsleitungen verankert werden (Teilchen,... Hindernis)



$$E = \frac{1}{2} G b^2 l$$

$$F_1 = |b| dl \cdot \tau \quad F_1 = 2F_2 \sin \varphi \quad \sin \varphi \approx \frac{dl}{2r}$$

Kritische Schubspannung τ_c (Aktivierungsschubspannung = Quellspannung)

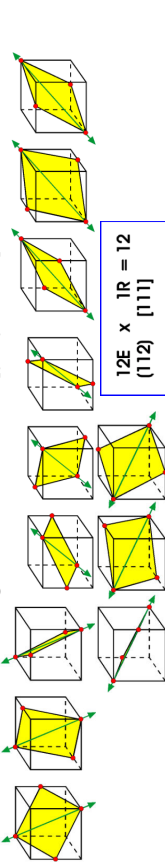
Spannung erforderlich um neue Versetzungen zu bilden

Aktivierungsenergie

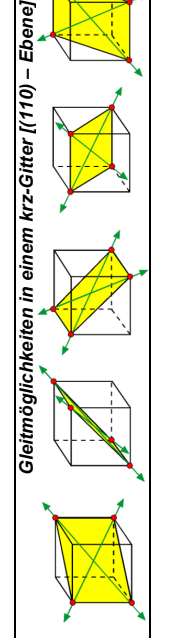
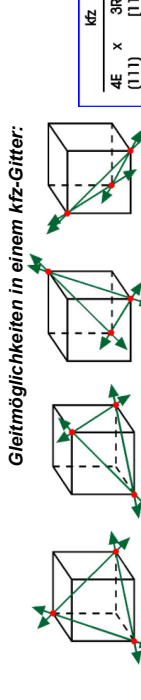
$$Es \text{ folgt: } \tau = \frac{G |b|}{2r} \quad Wo: r=S/s \text{ mit } S \text{ dem Abstand zwischen 2 Pin-Punkten.} \Rightarrow \tau_c = \frac{Gb}{S}$$

Daraus folgt unmittelbar, dass die Schubspannung, die erforderlich ist, um die Versetzungsleitung durch das Feld der Teilchen mit einem Abstand von D zu treiben beträgt

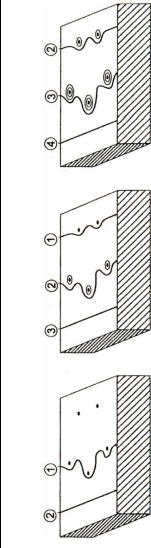
$$\tau_c = \frac{Gb}{D}$$



Gleitmöglichkeiten im krz-Gitter [(110) – Ebene]



Gleitmöglichkeiten im krz-Gitter [(112) - Ebene]



<p>- Dreidimensionale Hindernisse: Teilchen einer zweiten Phase (Ausscheidung) $\Delta \sigma_T$</p> <p>Mischkristallhärting</p> <p>$c = \frac{N}{V} = \frac{1}{Ah} = \frac{1}{D^2 h} \Rightarrow$ Weil auf einer Fläche $A=D^2$ gerade ein Fremdatom kommt</p>	<p>Versetzungshärting</p> <p>$\Delta \sigma_V \sim A \varphi^m + B \dot{\varphi}^m$ Verfestigung, $(\Delta \sigma_V \sim \sqrt{Versetzungszahl})$</p>
---	--

<p>7. Wahre Dehnung</p> <p>Um irgendeine Dehnungsschritt zu beschreiben, muss man immer die ursprüngliche Ausgangslänge des Materials nach dem Strangguss im Stahlwerk kennen. Es wird also eine Beschreibung der Dehnung gesucht, bei der die Verlängerung jeweils auf man eingeschließlich vorliegende Länge bezogen wird. Diese nennt man wahre Dehnung. Die bisher eingeführte Dehnung nennt man lineare Dehnung.</p> <p>Wahre Spannung: $\sigma_w = k_f = \frac{F}{A}$</p> <p>Wahre oder logarithmische Dehnung: $d\varphi = \frac{dl}{l}$</p> <p>$\varphi = \varepsilon - \frac{\varepsilon^2}{2} + \frac{\varepsilon^3}{3} - \dots \Rightarrow \varphi \approx \varepsilon \quad \text{für } \varepsilon << 1$</p> <p>Die wahre Dehnung wird daher auch logarithmische Dehnung genannt. Beide Dehnungen lassen sich ineinander umrechnen. Insbesondere sind diese Verformungen identisch, unterscheiden sich aber mit zunehmender Dehnung beliebig stark.</p>	<p>5. Verformung von Vielkristallen</p> <p>In den meisten Fällen setzt die plastische Verformung schlechend ein. Ursache für das schlechende Einsetzen:</p> <ul style="list-style-type: none"> - Unterschiedliche Lastspannung pro Kom - Unterschiedliche Lage der Gleitsysteme - Unterschiedliche Grösse der τ_c - Nur begrenztes Gleiten möglich, wenn benachbarte Körner und Gleitsysteme noch nicht aktiv. <p>Berechnet man nun in einem quasisotropen Vielkristall für eine Ebene, die sich über mehrere Körner erstreckt die kritische Schubspannung, die benötigt wird, um in einem vielkristallinen Werkstoff makroskopische Gleitungen anzulösen, ergibt sich experimentell wie auch nach der sog. Taylor-Theorie des Vielkristalls:</p> $\tau_{c,vielkristall} = 1.5 \tau_c$ <p>Und mit Hilfe des Schmidischen Schubspannungsgesetzes:</p> $\sigma_s = 3 \cdot \tau_c \approx R_e \approx R_{p0.2} \quad (\text{Streckgrenze})$ <p>Bei Beanspruchungen mit hohen Deformationsgeschwindigkeiten gilt: $\varphi = \varepsilon_p$</p> $\sigma_s = R_d + C \varphi^m + B \dot{\varphi}^m$ <p>6. Steigerung der Streckgrenze</p> <p>Massnahmen, die die Festigkeit eines Werkstoffes gesteigert werden kann:</p> <ul style="list-style-type: none"> - Grundgitter mit hohem Schubmodul - Möglicher kleiner Abstand der Hindernisse - Möglicher harter Hindernisse <p>- Nulldimensionale Hindernisse: Fremdatome (Mischkristall) $\Delta \sigma_M$</p> <p>- Eindimensionale Hindernisse: Versetzungen (Plastische Verformung) $\Delta \sigma_V$</p> <p>- Zweidimensionale Hindernisse: Kongenzen</p>
--	--

Kap. 6 Erstarrung (Kristallisation)

Blockseigerung

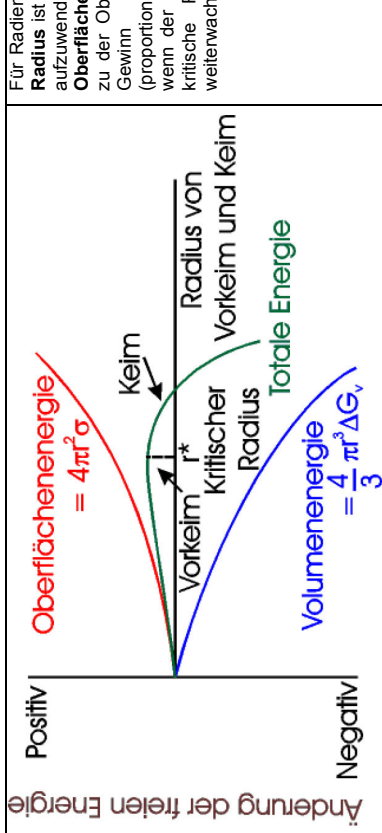
Auf die Letzen noch flüssigen Zonen konzentriert.
=> Konzentrationsunterscheidung im ganzen Block

Erstarrung

Anordnung => Nahordnung => Fernordnung

1. Keimbildung

Am Ende Herausbildung von Stabiler Partikel, Keime



Zusammenballungen von Einzelnen Atomen, mit Radius r

Anzahl Kluster mit $r > r^*$ (krit. Radius):

$$n = N_A \cdot \exp\left(-\frac{\Delta G(r^* * (\Delta T))}{kT}\right)$$

Homogene Keimbildung

In reinen Schmelze ohne Hilfe von Fremdoberflächen. Viele Atome, geschieht im Grundmaterial allein.

Heterogene Keimbildung

startet an Verunreinigungen, (Korffeinen, Fremdpartikeln, Fremdeiloberfläche...), und an Wänden. Weniger Atome

Impfen

Körner feiner machen durch Fremdpartikel, welche die (heterogene) Keimbildung fördern.

Korngröße

Korngröße ist proportional zu $1/\Delta T$

Keimzahl

Die Keimzahl ist proportional zu ΔT

\uparrow Keime => Korngröße!

2. Erstarrungsfehler, Seigerung

Seigeren (dissociarsi)

Seigerungen sind Konzentrationsunterschiede von Legierungselementen oder Verunreinigungen im Werkstoff die beim Erstarren von Schmelzen auftreten können => inhomogenes Gefüge!

Kristallseigerung

↑ Abkühlungsgeschwindigkeit => ↓ Diffusionsgeschwindigkeit => ↑ ΔT

↑ Abkühlungsgeschwindigkeit => ↓ Diffusionsgeschwindigkeit => ↑ ΔT

Blockseigerung

Vergessen => Stahl in Kokillen => O₂ => Blasen = Schlechtere Mechanische Eigenschaften
Um das zu vermeiden: Desoxidationsmittel

3. Wachstum

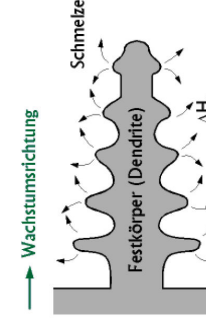
Für Radien kleiner als der **kritische Radius** ist die für ein Keimwachstum aufzuwendende **Oberflächenenergie** (proportional zu der Oberfläche) grösser als der Gewinn an **freier Enthalpie** (proportional zum **Volumen**). Erst wenn der Keim **grösser** ist als der kritische Radius, kann er stabil weiterwachsen.

Wenn sich die Temperatur der Schmelze oberhalb der Erstarrungstemperatur befindet, können sich an der Wachstumsfront keine Erhebungen ausbilden. Die Grenzfläche zur Schmelze verschiebt sich planar. Die latente Wärme wird von der Grenzfläche durch den Festkörper abgeleitet.

Bei schwacher Keimbildung unterkühlt sich die Schmelze, bevor die Erstarrung einsetzt. Bei unterkühlter Schmelze können Erhebungen auf der Grenzfläche fest/flüssig schnell als Dendriten anwachsen. Die latente Erstarrungswärme wird an die Schmelze abgeführt und deren Unterkühlung dadurch vermindert. Dendriten wachsen solange, bis die unterkühlte Schmelze sich auf Erstarrungstemperatur erwärmt hat.

Dendritische Wachstum

Temperaturverlauf



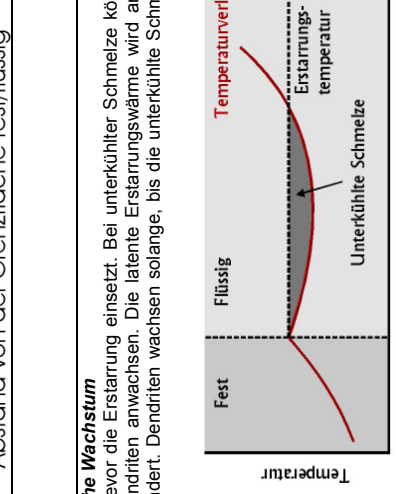
Abstand von der Grenzfläche fest/flüssig

4. Erstarrungsgesetze

Endgrössenkörper abhängig von Keimzahl (n) und ihre Verteilung.
 $\uparrow n$ mit $\uparrow \Delta T$

$V(t) = V_0 [1 - \exp(-at^m)]$, $V(t)$ ist der erstarrte Volumen

Planares Wachstum → Wachstumsrichtung



Abstand von der Grenzfläche fest/flüssig

Kochen

Kochen

↑ Abkühlungsgeschwindigkeit => ↓ Diffusionsgeschwindigkeit => ↑ ΔT

5. Gussblockstruktur



Kap. 7 Kristallerholung und Rekristallisation

1. Kaltumformen

Kaltumformen	
1.	Änderung der Kornform
2.	Einbringen von Gitterbaufehler (Leerstellen, Zwischengitteratome, Versetzungen)
3.	Überführen in eine Zustand höherer freier Enthalpie (Ungleichgewicht)
4.	Einbringung von Makroskopische eigenspannungen (Spannungen die nicht von äußeren Lasten verursacht sind)

Großkristallite

Stengelkristallite

Feinkristalline Zone

Füllsig

Grobkristallite

Stengelkristallite

Feinkristalline Zone

(a)

(b)

(c)

Feinkristalline Zone (b)

Feinkristalline Zone (c)

Grobkristallite

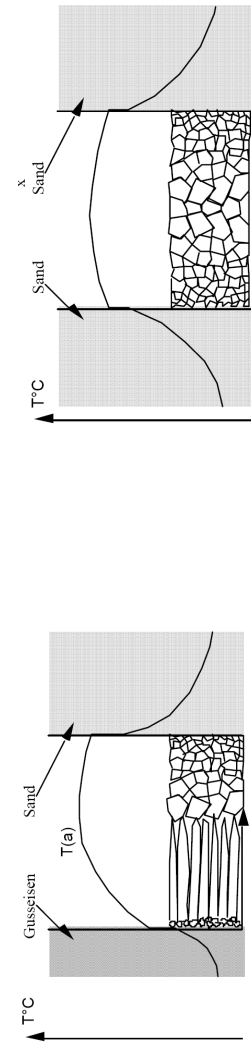
Stengelkristallite

Stengelkristallite notwendig (nicht bei Sandabgüssen)

Geringere Abkühlungsgeschwindigkeit

Stark gestreckte Abkühlungsgeschwindigkeit

Berührung mit Kokille



Kornfeiner
Geringe Unterkühlung für die Auslösung der Erstarrung benötigt

3. Rekristallisation

Rekristallisation

Erholung

Kaltumformen

Großkristallite

Stengelkristallite

Feinkristalline Zone

Füllsig

Grobkristallite

Stengelkristallite

Feinkristalline Zone

(a)

(b)

(c)

Schwindung im flüssigen Zustand: V_f - Volumenabnahme bei der Abkühlung der Schmelze von der Gließtemperatur T_g bis T_1
Schwindung im festen Zustand: V_e - Volumenabnahme bei der Erstarrung, zwischen T_1 und T_2 . Reine Stoffe: $T_1 = T_2 = T_s$ = Schmelztemperatur Eutektische Legierung: $T_f = T_2 = T_e$ = eutektische Temperatur Raumtemperatur

$$V_G = V_f + V_e \Rightarrow V_K \Rightarrow \text{Lunker}$$

Vermeidung mi Speiser (Steiger)

Primäre Rekristallisation

Primäre Rekristallisation

Rekristallisation Verhalten abhängig von:

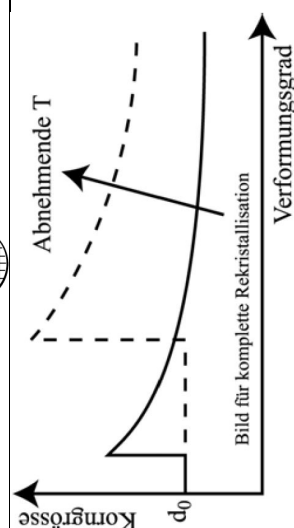
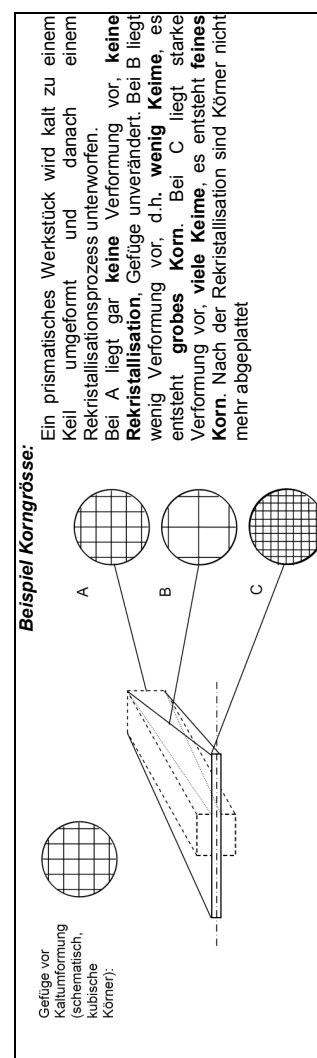
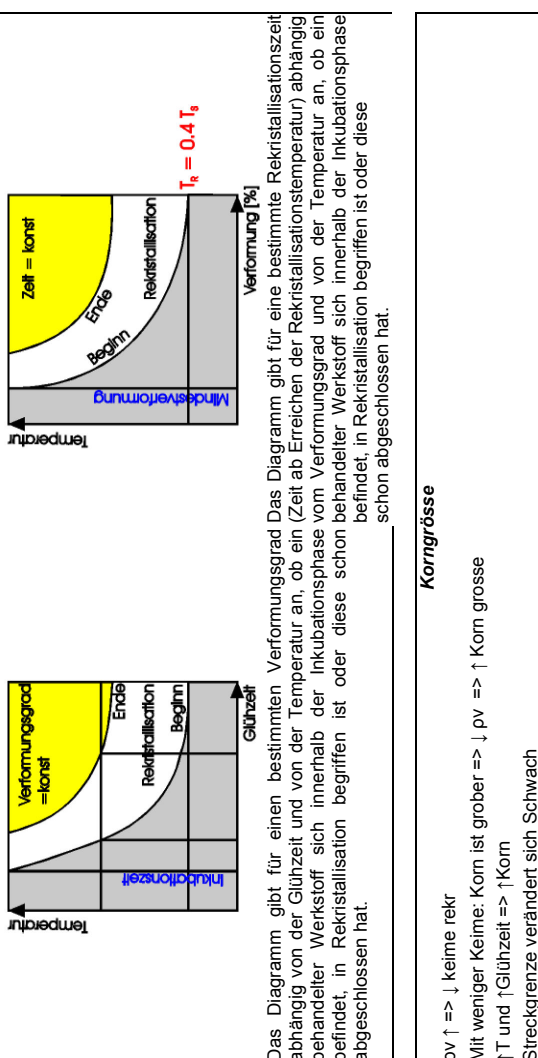
1. Verformungsgrad ρ_v
2. Temperatur
3. Glühzeit (Inkubationszeit)

Rekristallisation Verhalten abhängig von:

$$\text{Mindestens Verformungsgrad: } 1-5\% \\ \text{Rekristallisation Temperatur: Min. } T_r = 0.4 T_s$$

Rekristallisation Verhalten abhängig von:

Kap. 8 Kriechen und Kriechbruch



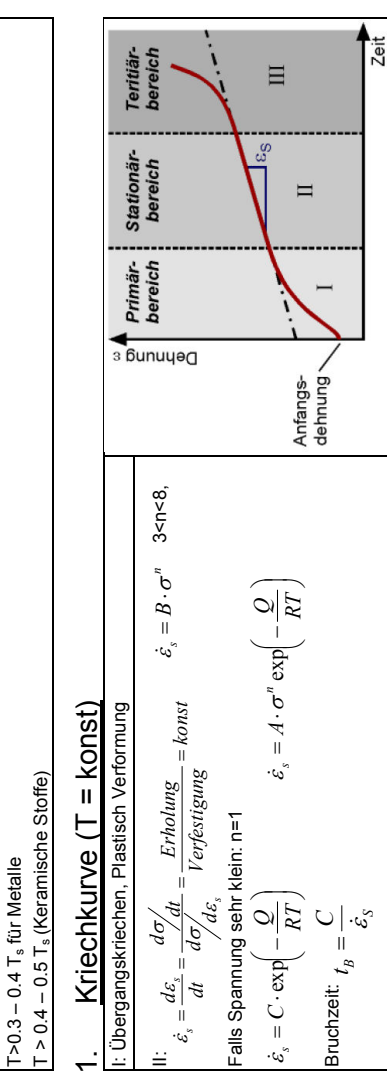
3.2. Korngroßserung, sekundäre Rekristallisation

Änderung der Eigenschaften die von der Korngroesse abhängen

Korngrösserung

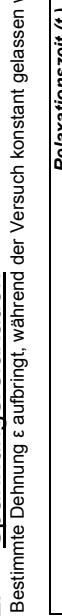
Korngroesse (Aufzehrung (a scapito) kleine Körner
120° Regel)

Kriechen falls:



2. Spannungsrelaxation

Bestimmte Dehnung ε auf bringt, während der Versuch konstant gelassen wird.



3. Kriechensmechanismus

Nabarro - Herring

$$\dot{\varepsilon}_S = \frac{C \cdot D \cdot \sigma}{d^2} = \frac{C' \cdot \sigma \cdot \exp\left(\frac{Q}{RT}\right)}{d^2}$$

Coble

$$\dot{\varepsilon}_S = \frac{C \cdot D \cdot \sigma}{d^3} = \frac{C' \cdot \sigma \cdot \exp\left(\frac{Q}{RT}\right)}{d^3}$$

4. Kriechfeste Stoffe

1. Hoher Schmelzpunkt
2. Phasengemisch mit reinvertelter Phase mit Temperaturbeständigkeit Hindernis mit hoher Temperaturbeständigkeit
3. Kleine Stapelfehlerenergie
4. Grobkorn

5. Zeitstandfestigkeit, Zeitstandkriechgrenze

Dauerstandfestigkeit
 Größte σ (bei T konst), unter der ein anfängliches Kriechen im Laufe der Zeit zum Stillstand kommt und bei deren Überschreitung es zum Bruch kommt.

Zeitstandfestigkeit

Dimensionierung von hoch T-Komponente
 ε_{kr} muss während der gesamten Einsatzzeit klein sein
 $\varepsilon_{kr}^B > \varepsilon_{kr}^{all}$ Kriechbruchdehnung muss größer sein als Kriechdehnung

Zeit-Temperatur-Parameter

$$\varepsilon_S = A \sigma^n \left[t \exp\left(-\frac{\Omega}{RT}\right) \right]$$

$\theta = t \cdot \exp\left(-\frac{\Omega}{RT}\right)$ $\leq T$ -komensierte-Zeit

$$\log \theta_r = \log t_r - 0,217 Q \frac{1}{T}$$

Sherby-Dorn-Parameter

$$\log t_r = P_{S-D} + 0,217 Q \frac{1}{T}$$

Larsson-Miller-Parameter

$$P_{L-M} = 0,217 Q = T(\log t_r + C)$$

Schädigungsparameter D

$$D(t) = \frac{\varepsilon(t)}{\varepsilon_{zufl}}$$

Wann $D = 1$ muss man das beanspruchte Stück ersetzen.

Kap. 09 Ermüdung und Ermüdungsbruch

1. Dynamische Beanspruchung

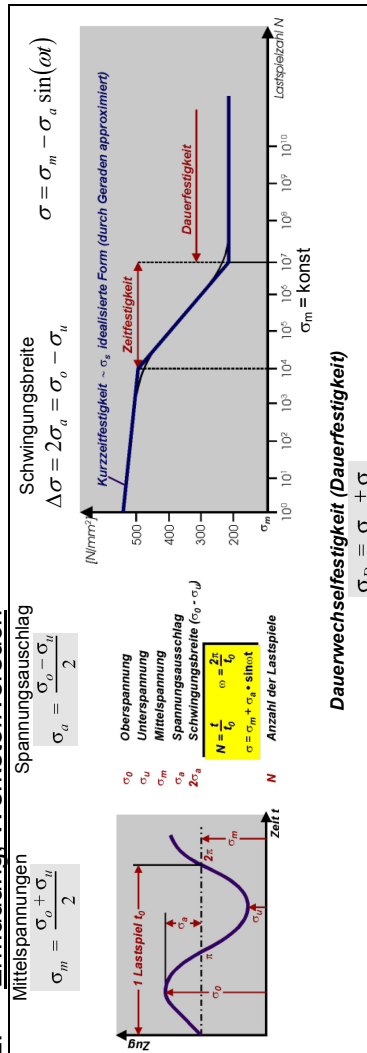
1.1. Low Cycle Fatigue (LCF)

Überschreitung der makroskopischen Fließgrenze, Plastische Wechselverformungen bis zum Bruch. Klein Zahl von Lastwechseln, Bruchlastspielzahl $N \leq 10^4$

1.2. Wöhler – Ermüdung, High Cycle fatigue (HCF)

Wechselnde Beanspruchung unterhalb der makroskopischen Fließgrenze \Rightarrow Ermüdung (Anriss \Rightarrow Bruch), $10000 < N < 10^8$

2. Ermüdung, Werkstoffversuch



Dauerwechselselfestigkeit (Dauerfestigkeit)

$$\sigma_D = \sigma_m \pm \sigma_a$$

Schadenslinie (Makroskopischer Anriss \Rightarrow Dauerfestigkeit)
 Schwingungsspielzahl für einen bestimmten Spannungsausschlag einer Vorbbeanspruchung, welche eine Verkürzung der Dauerfestigkeit einer Probe bewirkt.

HCF (Elastische Bereich)

$$\Delta \sigma N_B^a = C_B, \quad \Delta \sigma = 2\sigma_a \text{ (Basquin), a: C: Konst. Material}$$

LCF (Plastoer müdung – Plastische Bereich)

$$\Delta \varepsilon_p N_B^p = C_{MC}, \quad \Delta \varepsilon_p = 2\varepsilon_a \dots \varepsilon: \text{plast. Amplitude}$$

3. Einfluss der Mittelspannung: Dauerfestigkeitschaubild (Smith – Diagramm)

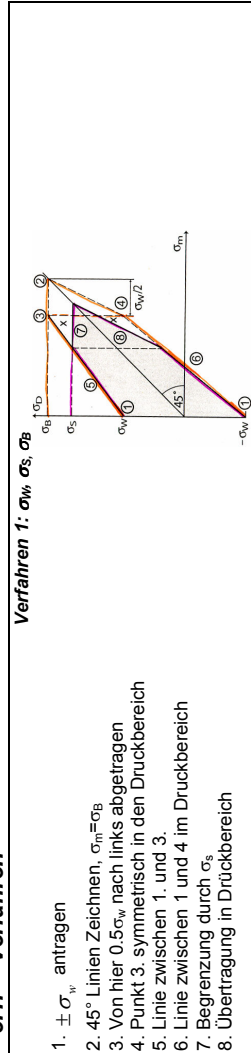
$$\sigma_D = \sigma_m \pm \sigma_A$$

Bei dieser Art der Darstellung sind die Ordinatenwerte der Begrenzungslinien direkt die Extremalspannungen, d.h. kann man sofort ablesen, in welchem Bereich die Beanspruchung liegt: z.B. reine Zug-Schwellbeanspruchung (bzw. die Zug-Schwellfestigkeit findet man bei:

$$\sigma_u = 0 \quad \sigma_m = \frac{\sigma_0}{2} \quad (\text{daher } 45^\circ\text{-Gerade})$$

reine Wechselbeanspruchung (bzw. die Wechselfestigkeit) bei:
 $\sigma_m = 0 \quad \sigma_W = \pm \sigma_a$

3.1. Verfahren



5.1. Formzahl α_k

1. $\pm \sigma_w$ antragen
2. 45° Linien Zeichnen
3. 41° Linie Zeichnen
4. Horizontalen bei $\sigma_B = \sigma_S$
5. Druckbereich

Zefffestigkeit

Gleich Verfahren aber mit Zeitfestigkeitswerten

$$\sigma_n = \frac{F}{A}$$

$\delta_{wk} = \text{Wechselverhältnis}, b_0 = \text{grösse}, b_s = \text{Oberfläche (v. tab.)}$

$$\sigma_{wk} = b_0 \cdot b_s \cdot \delta_{wk} \cdot \sigma_w$$

$$\sigma_{wk} = v_{sk} \cdot \sigma_s$$

$$\sigma_{wk} = v_{sk} \cdot \sigma_B$$

$$\sigma_{km} = \alpha_k \cdot \sigma_n$$

$$\sigma_{km} = \alpha_k \cdot \sigma_m$$

$$\sigma_{km} = \alpha_k \cdot \sigma_a$$

Kerbstütz faktor:

$$v_{sk} = 1 + 0.75 \left((c \cdot \alpha_k - 1) \cdot \frac{1}{4} \sqrt{\frac{300 [N/mm^2]}{\sigma_s}} \right)$$

$c = 1$ Druck und Zug; 1.7 Biegung Rundstab, 1.5 Biegung Flachstab, 1.3 Torsion Rundstab (σ_S durch τ_F ersetzen)

$$\text{Passfeder nutzweile: } \sigma_{wk} = b_0 \cdot b_s \cdot \frac{1}{\beta_k} \cdot \sigma_w$$

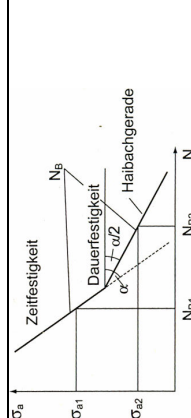
4. Schadensakkumulationshypothese und Betriebsfestigkeit

Palmgren – Miner – Regel'

$$D = \sum \frac{N_j}{N_B} (\sigma_{ai} - \sigma_{ai} / Z_i)$$

Bruch tritt ein für $D = 1$

4.1. Haibachgerade



P-M-R kein Berücksichtigung für Schadenakkumulation =>
Falls Zyklen im Zeitfestigkeitbereich:

5.3. Dimensionieren

Sicherheit gegen plastisches Fließen

$$\sigma < \sigma_{zul} = \frac{\sigma_s}{C_B S_f}$$

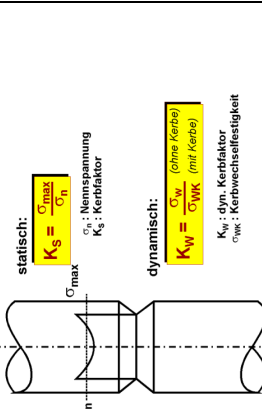
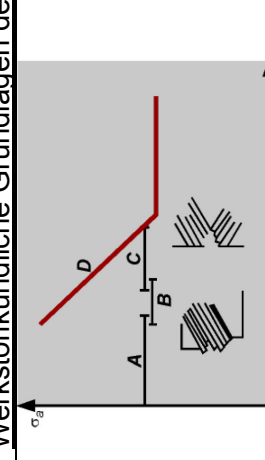
Sicherheit gegen Ermüden

$$\sigma_{ka} < \sigma_{zul} = \frac{\sigma_A}{C_B S_D}$$

Sicherheit gegen Bruch

$$\sigma < \sigma_{zul} = \frac{\sigma_B}{C_B S_B}$$

6. Werkstoffkundliche Grundlagen des Ermüdungsbruches



7. Ermüdungsfeste Werkstoffe

1. Hohe Zähigkeit
2. Niedrige Stofffehlenergie

Beanspruchung: $\sigma_m, \sigma_o, \sigma_u, \sigma_a$

3. Feine Gleitverteilung
4. Fehlerfreie Oberfläche

Gestaltfestigkeit = Smithdiagramm für Kerbwirkung

Stützwirkung: benachbarten Zonen höhere Last aufnehmen

5.2. Oberflächengüte

Die Oberflächengüte eines Werkstückes ist für das Ermüdungsleben in operativer Umgebung von enormer Wichtigkeit: Risse gehen von der Oberfläche aus, kleine Kerben oder Risse einer rauen Oberfläche führen zu schnelleren Entwicklung von Rissen als an einer polierten Oberfläche.

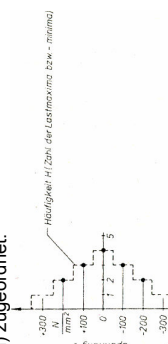
Man kann die Lebensdauer eines Konstruktionsbauteils verlängern durch Vermeidung von kleinen Krümmungsradien und Polierung der Oberfläche,

4.2. Hochtrainieren

Vorherige Wechselbeanspruchung: $\sigma_a < \sigma_D - \sigma_m \Rightarrow \uparrow \sigma_D$

4.3. Betriebsfestigkeit

Beanspruchung von Bauteil in vielen Fällen nicht harmonisch => Spannungsausschläge werden dazu Spannungsklassen (Lastzahlen) zugeordnet:



$$T_L = \frac{1}{D_{Bk}} \cdot T_{Bk}$$

$-TL$ = Lebensdauer
 $-TBK$ = Dauer eines Belastungskollektiv
 $-1/DBK$ = Die Anzahl ertragbarer Lastkollektive bis zum Bruch ansteigt

5. Geometrie und Bauteileinflusse: Gestaltfestigkeit

Der Kerbfaktor charakterisiert die Kerbwirkung

K_s : Einfluss der Kerbe auf das Spannungsfeld

K_w : Einfluss der Kerbe auf die Wechselseitigkeit

σ_n : Nennspannung

K_f : Kerffaktor

σ_{wk} : Kerbwachselfestigkeit

σ_{wk} : Kerbwirkung (ohne Kerbe)

$K_w = \frac{\sigma_{wk}}{\sigma_{wk}}$ (mit Kerbe)

K_w : dyn. Kerbfaktor

σ_{wk} : Kerbwachselfestigkeit

σ_{wk} : Kerbwirkung (mit Kerbe)

$K_s = \frac{\sigma_n}{\sigma_{wk}}$ (mit Kerbe)

K_s : stat. Kerbfaktor

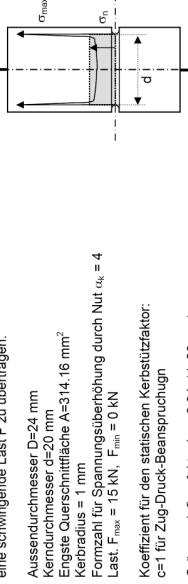
σ_n : stat. Nennspannung

σ_{wk} : stat. Kerbwachselfestigkeit

Kerbwirkung: $\uparrow \sigma$

9. Beispiel: Stab mit Nut

Sie beanspruchen, einen mit einer umlaufenden Nut (Kerbe) eine schwangende Last F zu übertragen.



Koeffizient für den statischen Kerbstützfaktor:

Großeneinfussfaktor $b_0 = 0.94$ ($d=20 \text{ mm}$)

Wechselfestigkeitsverhältnis $\delta_{Wk}=1.2$ (aus $d\sigma/dt=800 \text{ N/mm}^3$, $\sigma_{max}=800 \text{ N/mm}^2$)

Als Werkstoff soll Stahl eingesetzt werden mit folgenden Daten, welche an einer ungekerbten Probe mit Durchmesser 10 mm ermittelt wurden:

Bruchlast $\sigma_B = 420 \text{ N/mm}^2$

Streckgrenze $\sigma_S = 300 \text{ N/mm}^2$

Bei Betrieb: Ziemlich gleichmässig, Betriebsfaktor $C_B=1.2$

Sicherheitsfaktor gegen Fliesen $S_F=1.5$

Sicherheitsfaktor gegen Bruch $S_B=2.5$

Sicherheitsfaktor gegen Ermüdungsbrech $S_E=1.5$

a) Berechnen Sie die Beanspruchung des Stabes

b) Konstruieren Sie das Gestaltfestigkeitsdiagramm für den einzusetzenden gekerbten Stab

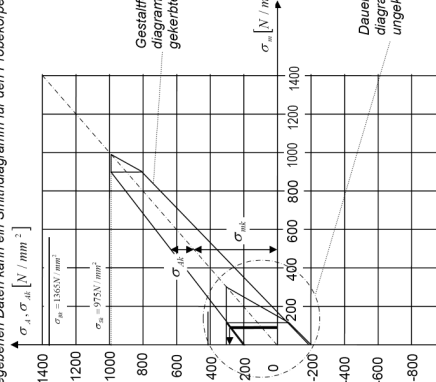
c) Ertrag der Stab diese Beanspruchungen innerhalb der geforderten Sicherheitsfaktoren?

a) Beanspruchung

$$\begin{aligned} \text{Nomspannung } \sigma_n &= \frac{F}{A} \\ \text{Oberspannung } \sigma_m &= \frac{F}{A} = \frac{15000}{315} = 47.6 \text{ N/mm}^2 \\ \text{Unterspannung } \sigma_{min} &= \frac{F}{A} = 0 \text{ N/mm}^2 \\ \text{Mittelspannung } \sigma_{avg} &= \frac{\sigma_m + \sigma_{min}}{2} = \frac{47.6}{2} = 23.8 \text{ N/mm}^2 \\ \text{Spannungs-} \\ \text{ausschlag: } \sigma_{avg} &= \frac{\sigma_m - \sigma_{min}}{2} = \frac{47.6}{2} = 23.8 \text{ N/mm}^2 \end{aligned}$$

b) Konstruieren Sie das Gestaltfestigkeitsdiagramm für den einzusetzenden gekerbten Stab

Mit den gegebenen Daten kann ein Smithdiagramm für den Probekörper gezeichnet werden:



Mit der 41°-Regel für Stahl erhält man z.B. für $\sigma_o = 100 \text{ N/mm}^2 \Rightarrow \sigma_o = \sigma_{Wk} + \sigma_{Wk} \cdot \delta_{Wk} = 200 + 100 \cdot 0.869 = 287 \text{ N/mm}^2$

Weil bei duktilen Werkstoffen die Spannungsspitzen durch plastisches Fließen abgebaut werden, werden die Festigkeitswerte um die Stützwirkung erhöht.

Statistische Festigkeitswerte:

$$V_{Sk} = 1 + 0.75 \cdot \left[(c \cdot \alpha_k - 1) \cdot \sqrt{\frac{300 \text{ N/mm}^2}{\sigma_S}} \right] = 1 + 0.75 \cdot \left[(1 \cdot 1.2) \cdot \sqrt{\frac{300 \text{ N/mm}^2}{300 \text{ N/mm}^2}} \right] = 1 + 0.75 \cdot 3 = 3.25$$

$c=1$ für Zug-Druck-Beanspruchung
folgen

$$\text{Bruchspannung } \sigma_{Bk} = V_{Sk} \cdot \sigma_B = 3.25 \cdot 420 \text{ N/mm}^2 = 1365 \text{ N/mm}^2$$

$$\text{und Fließspannung (Streckgrenze) } \sigma_{Sk} = V_{Sk} \cdot \sigma_S = 3.25 \cdot 300 \text{ N/mm}^2 = 975 \text{ N/mm}^2$$

Dynamische Festigkeitswerte:
Gestaltwechselselfestigkeit rechnet sich aus der Wechselselfestigkeit σ_W der Normprobe nach

$$\sigma_{Wk} = b_0 \cdot b_S \cdot \delta_{Wk} \cdot \sigma_W$$

Großeneinfussfaktor $b_0 = 0.94$ ($d=20 \text{ mm}$)
Oberflächenfaktor $b_S = 0.85$

Wechselselfestigkeitsverhältnis $\delta_{Wk}=1.2$ (aus $d\sigma/dt=800 \text{ N/mm}^3$, $\sigma_{max}=800 \text{ N/mm}^2$)
somit $\sigma_{Wk} = b_0 \cdot b_S \cdot \delta_{Wk} \cdot \sigma_W = 0.94 \cdot 0.85 \cdot 1.2 \cdot 200 = 0.959 \cdot 200 = 192 \text{ N/mm}^2$

(bei Skalierung aller Werte im Smithdiagramm mit dem Faktor $b_0 \cdot b_S \cdot \delta_{Wk}$ bleibt die 41°-Neigung erhalten)

Erträgt der Stab diese Beanspruchungen innerhalb der geforderten Sicherheitsfaktoren?

Festigkeitsbedingung:

$$\text{Bruch: } \sigma_{max} < \sigma_{zulB} = \frac{\sigma_{Bk}}{C_B \cdot S_B} = \frac{1365}{1.2 \cdot 2.5} = \frac{1365}{3} = 455 \Rightarrow 190.4 < 455 \text{ N/mm}^2 \text{ erfüllt}$$

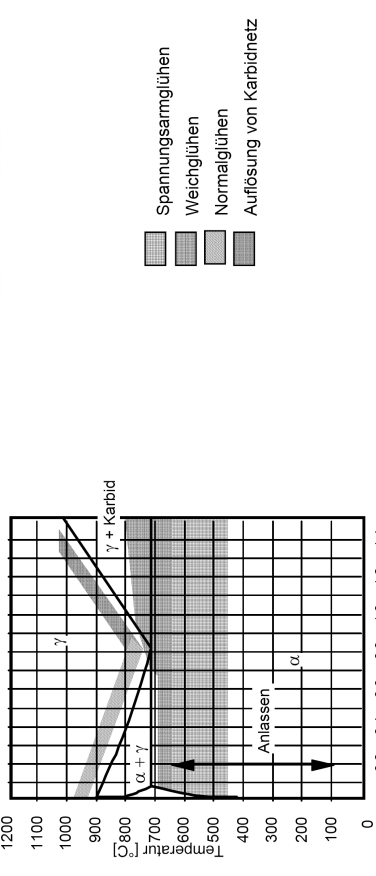
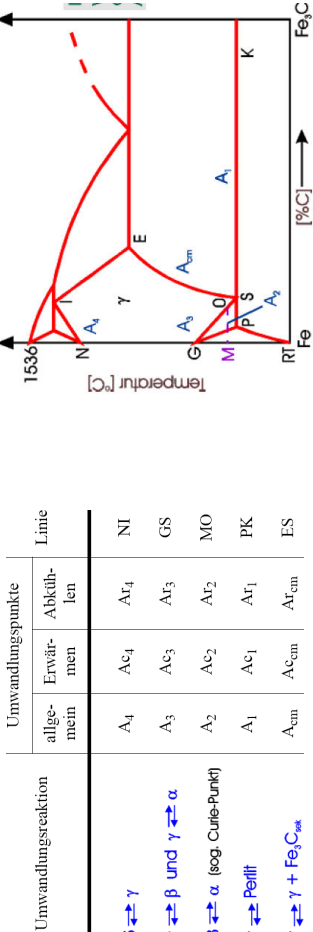
$$\text{Fließen: } \sigma_{max} < \sigma_{zulF} = \frac{\sigma_{Sk}}{C_B \cdot S_F} = \frac{975}{1.2 \cdot 1.5} = \frac{975}{1.8} = 542 \Rightarrow 190.4 < 542 \text{ N/mm}^2 \text{ erfüllt}$$

$$\text{Ermüden: } \sigma_{ka} < \sigma_{zulI} = \frac{\sigma_{Ak}}{C_B \cdot S_D} = \frac{179}{1.2 \cdot 1.5} = \frac{179}{1.8} = 99.4 \Rightarrow 95.6 < 99.4 \text{ erfüllt}$$

Kap. 10 Wärmebehandlung in Gleichgewicht-Glühen

Unter Wärmebehandlung versteht man Vorgänge, bei denen ein Werkstück im festen Zustand einer oder mehreren Zeitspannen unterworfen (ausgesetzte) wird. Während dieser Vorgänge kann ein umgebendes Mittel - z.B. Gasatmosphäre - die chemische Zusammensetzung an der Oberfläche des Werkstückes ändern. Umwandlungen erfolgen bei geringer Unterkühlung, d.h. langsamen Abkühlgeschwindigkeiten.

Wärmebehandlungen im Gleichgewicht, lange bzw. langsam erfolgen, um dem Gleichgewichtszustand von Legierungen möglichst nahe zu kommen.



Glühen: Erwärmen bis T_c , halten, langsam Abkühlen

Rekristallisationsglühen

Temperatur: Unterhalb A_{C_1} ; (500 – 600 °C); ohne Phasenumwandlung
Bewirkung: Neubildung des Gefüges Aufhebung der Kaltverfestigung;

Zweck: Ermöglichung von erneuter Kaltumformung

Festigkeit: Der Werkstoff wird erhitzt ohne Phasenumwandlung, also unterhalb Ac_1 . Dann bilden sich neue Körner der gleichen Phase, ausgehend von den Störungen im alten Kristallgefüge, die durch Versetzungen gegeben sind. Eine minimale Verformung muss also vorhanden sein.

Normalglühen

Temperatur: Oberhalb Ac_3 untereutektoid, bzw. oberhalb Ac_1 bei übereutektoiden Stählen, mit Phasenumwandlung
Bewirkung: Erzeugung von Feinkorn, Beseitigung von Widmannstätterschem Gefüge; Abbau von Eigenspannungen
Zweck: bessere Zerspanbarkeit.
Festigkeit: Anwendet bei Untereutektoid Stählen



Gefüge:

Weichglühen

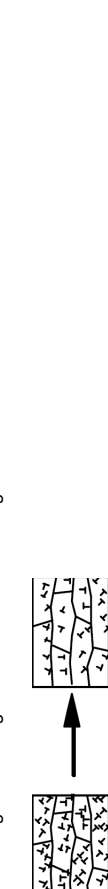
Temperatur: Oberhalb Dicht unterhalb Ac_1 , ohne/mit Phasenumwandlung
Bewirkung: Umwandlung von Korngrenzenzementit und lamellarem Zementit in kugeligen Zementit; Pendelglühen gegen Grobkornbildung.
Zweck: bessere Zerspanbarkeit und Feinschneidbarkeit.

Bemerkungen: Weichglühen gibt ein gut kalterformbares Gefüge mit ferritischer Grundmasse. Ausserdem ist das Ausgangskorn günstig zum Härteln. Daher ist geeignet für zukünftige Härtetragung.

Weichglühen ist geeignet für zukünftige Härtetragung und Kaliumformung. Ferritisches Grundmasse (gut für Härtetragung).



Temperatur: Unterhalb Ac_1 ohne Phasenumwandlung
Bewirkung: Beseitigung von Eigenspannungen, (z.B. durch Schweißen entstanden). Herabsetzung der Fließgrenze.
Zweck: Ausbildung des Verzuges vor der Endbearbeitung.



Temperatur: Unterhalb Ac_1 ohne Phasenumwandlung
Bewirkung: Beseitigung von Eigenspannungen, (z.B. durch Schweißen entstanden). Herabsetzung der Fließgrenze.
Zweck: Ausbildung des Verzuges vor der Endbearbeitung.



Temperatur: Unterhalb Ac_1 ohne Phasenumwandlung
Bewirkung: Beseitigung von Seigernungen und Schalenzementit; Komfeinung beim Abkühlen (Vorbereitung für nachfolgende Wärmebehandlung)
Zweck: Lösungsweg 1, Relaxation.

Festigkeit: Ein Bauteil aus Stahl ist mit Eigenspannungen in der Grössenordnung von 400 N/mm² behaftet, welche durch Spannungsglühen auf ein Viertel reduziert werden sollen. Wie ändert sich die notwendige Glühzeit, wenn die Glühtemperatur von $T_1 = 640^\circ\text{C}$ auf $T_2 = 580^\circ\text{C}$ gesenkt wird? $Q = 82 \text{ kJ/mol}$, $R = 8.3 \text{ J/mol K}$. Berechnen Sie das Verhältnis der Glühzeiten t_1/t_2 . Annahme: Die Fließgrenze bei T_1 liegt höher als 400 N/mm². Lösungsweg 2, Diffusion.

Lösungsweg 1 (Relaxation):
Hooke'sches Gesetz:
$$\sigma = E \cdot \varepsilon; \quad \varepsilon = \frac{\sigma}{E} \Rightarrow \dot{\varepsilon} = \frac{1}{E} \cdot \frac{d\sigma}{dt}$$

Spannungsrerelaxion (Arrhenius Ansatz):

$$\dot{\varepsilon} = A \cdot \sigma^n \cdot \exp\left(-\frac{Q}{R \cdot T}\right)$$

$$\frac{1}{E} \cdot \frac{d\sigma}{dt} = A \cdot \sigma^n \cdot \exp\left(-\frac{Q}{R \cdot T}\right)$$

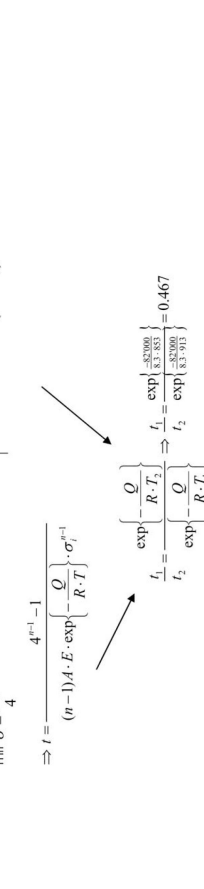
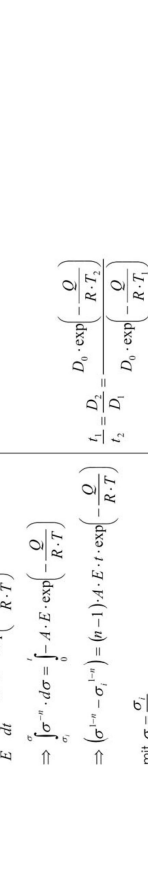
$$\Rightarrow \int_{\sigma_i}^{\sigma_{i+n}} \sigma^{-n} \cdot d\sigma = \int_0^{\infty} -A \cdot E \cdot \exp\left(-\frac{Q}{R \cdot T}\right) \cdot dt$$

$$\Rightarrow \left(\sigma^{1-n} - \sigma_i^{1-n}\right) = (n-1) \cdot A \cdot E \cdot t \cdot \exp\left(-\frac{Q}{R \cdot T}\right)$$

$$\text{mit } \sigma = \frac{\sigma}{4}$$

$$\Rightarrow t = \frac{t_1}{(n-1) \cdot A \cdot E \cdot \exp\left(-\frac{Q}{R \cdot T_1}\right)} \cdot \sigma_i^{n-1}$$

$$\frac{t_1}{t_2} = \frac{\exp\left(-\frac{Q}{R \cdot T_1}\right)}{\exp\left(-\frac{Q}{R \cdot T_2}\right)} \Rightarrow \frac{t_1}{t_2} = \frac{\exp\left(-\frac{82000}{8.3 \cdot 640}\right)}{\exp\left(-\frac{82000}{8.3 \cdot 580}\right)} = 0.467$$



Kap 11 Wärmebehandlung durch Umwandlung in Ungleichgewicht – Härt(en), Anlassen, Vergüten

Wärmebehandlungen im Ungleichgewicht, welche schnell erfolgen, um Zustände, die bei hohen Temperaturen stabil sind, bei tiefen Temperaturen beibehalten zu können (Feinsverteilung eines Legierungsbestandteiles in einem Mischkristall, obwohl Löslichkeitsgrenze überschritten ist) oder spezielle Umwandlungen zu erzwingen (Martenitbildung, jedenaus Diffusionsvorgänge zu unterbinden).

-Diffusionsgesteuerte, Perlitistufe -Diffusionslosen: Martensitstufe -Wärmebehandlungen: ↑ Festigkeit und ↑ Härte

1. Härte und Härtmessung

1.1. HB: Brinellhärt(e)

Stahlkugel; Prüfkraft F, min 10 s. Gemessen: Durchmesser in Probe d

$$HB = \frac{A}{\pi \cdot D \cdot (D - \sqrt{D^2 - d^2})} = \frac{0.102F}{0.204F}$$

Bezeichnung: 275 HBW 2.5/187.5/20 => 275 HB, Härtmetall (W), 2.5 mm = D, F = 1840 N=187.5 kp, 20 s

1.2. HV: Vickershärt(e)

Diamantpyramide, F, min 10 s; Gemessen: mittlere Diagonale d = (d₁+d₂)/2

$$HV = \frac{A}{4} = \frac{0.102F}{\pi \cdot D \cdot (D - d^2)} = 0.102F \cdot \sin 68^\circ / d^2$$

Bezeichnung: 210 HV50/30 => 210 HV, F = 490 N = 50 kp, 30 s

1.3. HR: Rockwellhärt(e)

Eindringtiefe gemessen, geeignet für Serien prüfung

$$HRC = 100 - \frac{e}{0.002}$$
 e: Eindringtiefe

Bezeichnung: 64 HRC; Härtewert 64, Prüfverfahren C

1.4. Bemerkungen

R_m ≈ 3.21 · HV

R_m ≈ 3.38 · HB

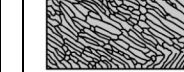
2. Umwandlung in der Perlitstufe (γ)

-Bildung Mischgefüges α -Fe₃C gekennzeichnet

Perlit

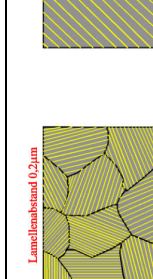
-Umwandlung beginnt unter heterogener Keimbildung an den Kongrenzen der Austenitisbereich
-Perlit und Zementit wachsen durch Diffusion vor allem der C-Atome. C lagert sich in C reichen Zementittlamellen und C-armen Ferrittlamellen ein
-T ↓ => Diff.Geschw. ↓ => Lamellenabstand (d) ↓

$$d \sim \frac{15}{\Delta T} \mu m$$



\downarrow Bildung von Perlit; b) Perlit - entstanden bei normaler Abkühlungsgeschwindigkeit => d wird kleiner

Sorbit



\uparrow Abkühlungsgeschwindigkeit => d wird kleiner

3. Umwandlung in der Marteniststufe

Nicht bei allen Martensitumwandlungen steigt tatsächlich die Härte an!!!

Tetragonaler Martensit

Martensit mit tetragonalem verzerrtes Gitter, KRZ Zelle verzerrten und ↑ Vol:
1. Homogene Scherung oder Vol. Variation
2. Gleitungen als Kompatibilitätsreaktion

$$\sigma_S(\text{Martensit}) = \sigma_0 + \Delta \sigma_M + \Delta \sigma_V + \Delta \sigma_{KG}$$

(M: Mischkristallhärtung, V: Versetzungshärtung, KG: Kongrenzen Anteil)

3.1. Umwandlungstemperatur

Die Temperatur, bei der die γ - α -Umwandlung beginnt, immer um ΔT unter der Gleichgewichtstemperatur T_0 wird als **Martensittemperatur** (Start) M_s bezeichnet.
Der M_s -Punkt (**Martensit – Finish** – Temperatur) kennzeichnet das Ende der Austenit-Martensit-Umwandlung.

3.2. Kritische Abkühlungsgeschwindigkeit

Untere kritische Abkühlungsgeschwindigkeit
Die Abkühlungsgeschwindigkeit, bei der erstmalig Martensit auftritt, ist die untere kritische Abkühlungsgeschwindigkeit.



3.3. Wirkung und Umwandlung des Restaustenits

1. Unterkühlung unter M_f
2. Anlassen ($\sim 150 - 200^\circ C$)

Obere kritische Abkühlungsgeschwindigkeit

Die Abkühlungsgeschwindigkeit, bei der erstmalig martensitisches Gefüge auftritt, heißt obere kritische Abkühlungsgeschwindigkeit.

Die Massnahme, die die Keimbildung in der Perlitstufe erleichtern => ↑ kritische Abkühlungsgeschwindigkeit
Die Massnahme, die die Diffusion erschweren => kritische Abkühlungsgeschwindigkeit

Kritische Abkühlungsgeschwindigkeit: erfolgt mit Zunahme von Feinkorn
↓ Abkühlungsgeschwindigkeit: erfolgt mit Zunahme von Nichtmetallische Einschlüsse und Legierungselemente.

3.4. Anlassen von Kohlenstoffmartensit

Anlassen
1. Martensit
2. Anlassen ($\sim 150 - 200^\circ C$)

Anlassen von C ist ein Härtvorgang. Erwärmung eines gehärteten Stahles auf Temperaturen unterhalb der eutektoiden Umwandlung A_1 ($723^\circ C$).

3.4.1. Martensit
Die martensitische Umwandlung hat zu einer Steigerung der Streckgrenze über Mischkristallhärtung, Versetzungshärtung und Komfeinung geführt. Die Veränderung der Härte durch das Anlassen vom erreichten Zustand aus wird im folgenden beschrieben:

Troostit



\uparrow Abkühlungsgeschwindigkeit => globulitisch / strahlentormig eingeförmten feinst – perlitischen Gefügebestandteilen
 \uparrow Abkühl' geschwindigkeit => ↑ Einheit der Zementitverteilung

Troostit 500 : 1

• Troostit erscheint im Schliffbild im Kegel- und Flächenformen - entstehen bei beschleunigter Abkühlung bis unter $500^\circ C$, z. B. im Schmelzbad

\uparrow Abkühlungsgeschwindigkeit => globulitisch / strahlentormig eingeförmten feinst – perlitischen Gefügebestandteilen
 \uparrow Abkühl' geschwindigkeit => ↑ Einheit der Zementitverteilung

ein geformtes Härt(en), Anlassen, Vergüten

Diffusionsvorgänge zu unterbinden.

-Diffusionsgesteuerte, Perlitistufe -Diffusionslosen: Martensitstufe -Wärmebehandlungen: ↑ Festigkeit und ↑ Härte

Kap. 12 Zeit-Temperatur-Umwandlungs-Schaubild

Anlassstufe	Temperatur	Beschreibung
1	100-150 °C	- Zerfällt tetragonaler Martensit => C - ärmer kubischen Martensit und instabiles ε - Karbid (Fe ₂ O). Ausscheidung von Karbidgefüllchen => Volumenverfestigung => Vol. Dilatometerprobe, Härtet nicht ab. ⇒ Δσ _M ↓, Δσ _T ↑
2	230-280 °C	- Unlegierte und niedriglegierte Stähle: Restaustenites in kubischen Martensit und ε-Karbid In Stählen mit C hoch kann das nicht passieren ⇒ Δσ _M ↑, Δσ _T ↑, Δσ _r ↑
3	260-360 °C	- ε - Karbid wandelt sich in Fe ₃ C; Härte ↑, Martensit verarmt C (fast gleich Ferrit) - Zahigkeit ↑ (ist das Ziel) - Volumenabfall ⇒ Δσ _M ↓, Δσ _V ↓, Δσ _T ↓
4	500-600 °C	- Nur hochlegierte Stähle (mit Cr, Mo, V, W) Δσ _T ↑ - Härtesteigerung

4. Vergüten (Verfahren)

Das Werkstück wird:
 - erhitzt bis oberhalb AC₃, d.h. in Austenit γ umgewandelt, danach
 - abgeschreckt (sehr schnell abgekühlt).
 - auf 400-650°C erwärmt (Anlassen).

5. Durchhärtung

Gewisse Legierungselemente behindern die Diffusion (C bis 0.9%, Mn, Ni, Mo, Cr) und verschieben die Nasen in den ZTU-Diagrammen nach rechts, die erforderliche Abkühlgeschwindigkeit wird kleiner, auch das Werkstückinnere erreicht die Martensistarttemperatur, bevor Diffusionsvorgänge wirksam werden.

6. Formgedächtnislegierungen (Shape - Memory - Alloys)

- Einen über Plastische Verformung hinweg ihre ursprüngliches Gestalt.
Verfahren
 - Abkühlen => Martensit gebildet
 - Verformen
 - Werkstoff erwärmt => wieder der unverzerrte γ-kristall
 - Abkühlung => bleibt die Geometrie erhalten

7. Umwandlung in der Zwischenstufe

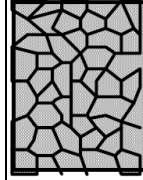
Zwischen hoch und niedrig Abkühlungsgeschwindigkeit

=> **Bainit** => Besteht aus einem Phasengemisch an C - übersättigtem Ferrit mit Karbid - ausscheidungen. Bei der Umwandlung wird der Ferrit durch eine martensitähnliche Umwandlung aus dem Austenit gebildet. Sofort nach Bildung des körnigen Gitters scheiden sich durch Diffusion über kurze Wegstrecken feinverteilt Teilchen (metastabile Karbide) aus. Die Zwischenstufe vereinigt drei Härtemechanismen: Mischkristallhärtung, Härtung durch Versetzungen und Teilchen (σ_s = 1000 MPa)

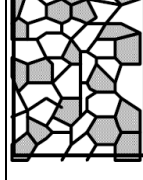
3 Härtens Mechanismus: Mischkristallhärtung, Härtung durch Versetzungen, Teilchen

8. Bemerkungen

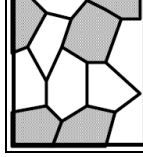
Ferrite	Bainite	Austenite
Ferro, KRZ	Lamelle di ferro KRZ e Fe ₃ C disposte secondo forme allungate	Fe KFZ
Martensite (retticolio ottadreale) duro e fragile	Lamelle di Fe KRZ e lamelle di Fe ₃ C	Cementite Isole di Fe ₃ C



Sorbit



Zwischenstufe und Martensit



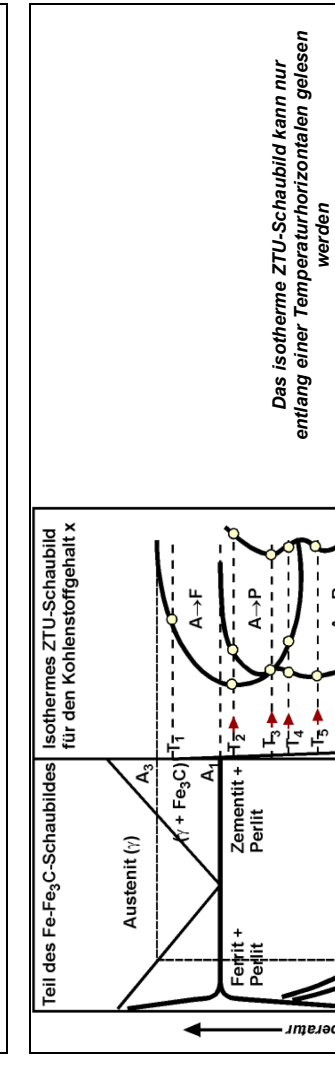
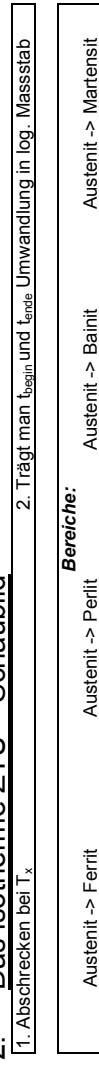
Ferrit und Perlit

Abkühlungsgeschwindigkeit →

1. Einleitung

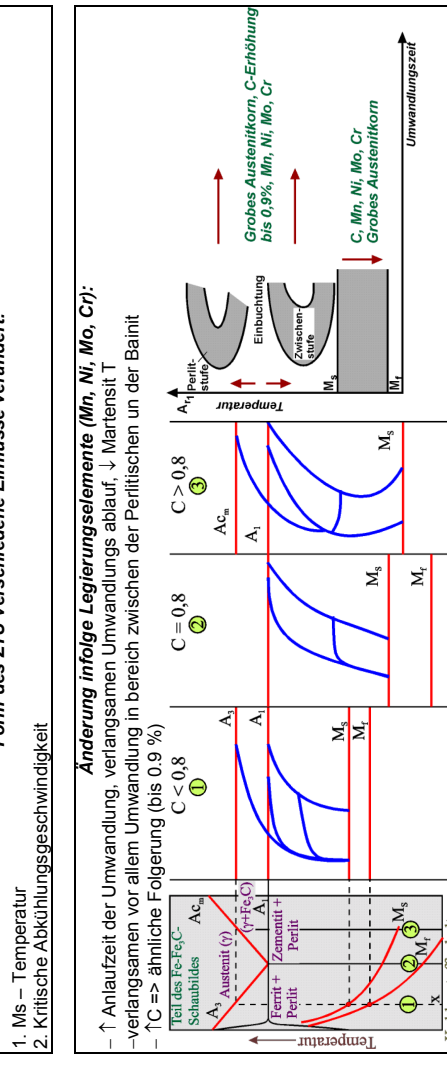
Eine vollständige Darstellung des Umwandlungsverhaltens eines Stahls gibt sein ZTU - Schaubild. Das ZTU – Schaubild ist ein Diagramm, in dem als Temperaturzeitverläufe die Phasen – bzw. Umwandlungsgrenzen eingetragen sind du mit Abkühlkurven verglichen werden.

2. Das isotherme ZTU – Schaubild



2.1. Ermittlung von Umwandlungslinien

Form des ZTU verschiedene Einflüsse verändert:



Vergütungsschaubild



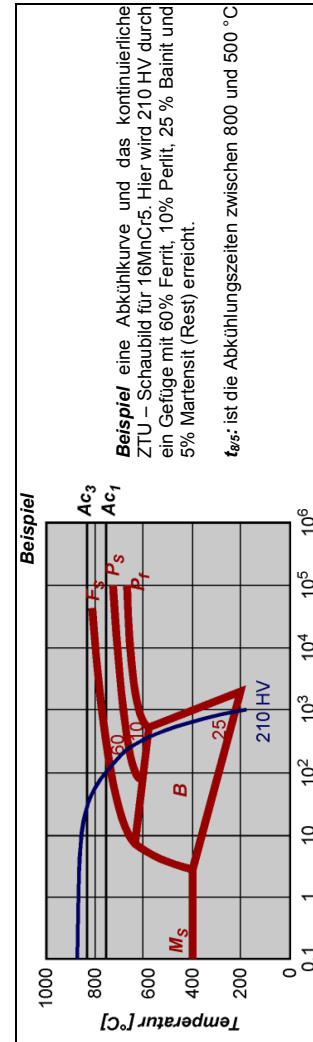
5.2. Zwischenstufenvergüten, isothermes Vergüten

Von $T = A_{33} + 30^\circ\text{C}$ bis T von Bainit; gehalten bis Bainit geschlossen ist. Danach Abkühlen auf T Raum.
Entstehen auf Zähigkeit bei hoher Festigkeit getrimmtes Gefüge.

3. Das kontinuierliche ZTU-Schaubild

Ähnlich isotherm, aber man muss auch die Kenntnisse der bei verschiedenen technischen Abkühlbedingungen erreichbaren Abkühlkurven als $T(t)$ einsetzen!

Das kontinuierliche ZTU-Schaubild ist nur entlang einer Abkühlungskurve zu lesen!!



4. Härteln von Stählen

Ist eine Wärmebehandlung \Rightarrow Bildung von Martensit \Rightarrow \uparrow Festigkeit, \uparrow Härte

1. Erwärmen in Austenit	Verfahren	Bemerkungen
	2. Schnell Abkühlen (nur Martensitbildung)	<ul style="list-style-type: none"> \uparrowC-Gehalt \Rightarrow \uparrowHärte - Stähle für Härtbehandlung gross C-Gehalt - Maximale erreichbare Härte bei niedriglegierte Stähle: ~65 HRC - Vergrößerung Materialdichte \Rightarrow Abkühlungsgeschwindigkeit - Durchhärtbarkeit: Härtenterschied zwischen innen und aussen

5. Vergüten von Stählen

Ist eine Wärmebehandlung zur Erzielung eines Optimums aus Zähigkeit bei hoher Zugfestigkeit

5.1. Anlassvergüten: angelassener Martensit

Verfahren

Härteln und danach Anlassen ($450 - 600^\circ\text{C}$). Maximale Gütwerte bezogen auf Zähigkeit und Festigkeit

Kap 13 Wärmebehandlung der Oberflächen

↑Härte und ↑Festigkeit (Oberfläche), Kern bleibt ausreichende Bruchzähligkeit und Schlagfestigkeit.

1. Unterschiedlichkeit zwischen Anforderung an die Oberfläche und Anforderung an das Innere.

<u>Anforderung an das Innere</u>	
-Hohe Bruchzähligkeit	-Verschleissfest
-Schlagfestigkeit	-Ermüdungsfest
-Soll Ferritisch sein	-Soll Martensitisch sein
-	-Verfahren um das zu erreichen:
a.) Selektives Erhitzen und Abschrecken der Oberfläche (Gasbrenner, Induktionsspulen, gleiche Laserstrahlen, Elektronenstrahlen)	das ganze Werkstück hat Legierungszusammensetzung.
b.) Gezielte Veränderung der Legierungszusammensetzung der Oberfläche:	
-Nitrieren= Aufkohlen; Erhöhung des C-Gehaltes	
-Borieren	

2. Selektives Erwärmen der Oberfläche

Enwärmung der Oberfläche bis $T > A_3$, In innerem T bleibt $< A_1 \Rightarrow$ Abschrecken \Rightarrow Martensit \Rightarrow Härte
Verfahrensmöglichkeit: Gasbrennen, Induktionsspulen, Laserstrahlen, Elektronenstrahlen

3. Verfahren mit Änderung der Legierung

Für Druckspannung in der Oberfläche und damit eine verbesserte Ermüdungsfestigkeit.

3.1. Aufkohlen (Einsatzhärten)

$T > A_3$ Kohlenstoff in Oberfläche eindiffundiert: -Oberfläche: C-Gehalt hoch, Martensit -Volumen: C-Gehalt arm, Ferrit

3.2. Nitrieren

-Stahl in Zyanid (Cianuro) Schmelze -Karbonitriterien, Gasnitrieren -Härtung als bei Aufkohlen

3.3. Borieren

800 – 1000 °C Bor in Oberfläche. Boride \Rightarrow Stärke hohe Festigkeit

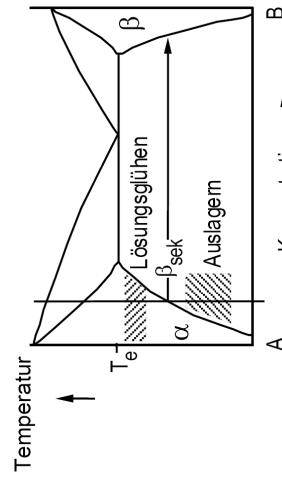
Kap 14 Ausscheidung, Aushärtung (Teilchenhärtung)

Ausscheidungen sind zu erwarten, wenn ein Legierungsbestandteil B bei höherer Temperatur in grösserer Menge gefestigt ist als bei tieferer. Ausscheidungen haben meist eine Aushärtung zur Folge.

In einer Legierung mit den Komponenten A, B können Teilchen des Mischkristalls β innerhalb der Mischkristalle α zu deren Verfestigung beitragen, indem Versetzungen am Laufen gehindert werden. Die Versetzungen müssen die Teilchen entweder durchschneiden – das gelingt vor allem, wenn diese klein sind – oder die Teilchen umgehen. Es gilt, Menge und Grösse der Teilchen und damit auch die Abstände der Teilchen zu optimieren. Durch Lösungsglühen werden die groben Ansammlungen von β-Mischkristallen aufgelöst und als B-Komplexe im α-MK gelöst. Durch Abschrecken wird diese – bei tiefer Temperatur übersättigte – Lösung beibehalten. Bei gezielter Wärmebehandlung – oder Lagerung bei Raumtemperatur – Kaltauslagen – kristallisieren β-MK-Teilchen aus, die Streckgrenze steigt bis zu einem Maximalwert, die Übersättigung der α-MK hat sich abgebaut. Anschliessend wachsen aber die grösseren β-MK-Teilchen unter Verzehr der kleineren langsam weiter an (Oswaldreifung, Überalterung). Durch den vergrösserten Teilchenabstand sinkt die Streckgrenze wieder ab.

Der Streckgrenzenzuwachs durch Teilchenhärtung ist umgekehrt proportional zum Teilchenabstand:

$$\Delta\sigma_r = \frac{1}{D_r}$$



Aushärtung

Ausscheidungsvorgang: Keimbildungs- -Wachstum - Reaktion

1. Lösungsglühen = Homogenisieren = Halten in Gebiet des Homogenen MK

2. Abkühlen unter die Löslichkeitsgrenze

2.1. Abschrecken auf eine Temperatur < 0.3 TS

2.2. Auslagern = Altern = Halten bei einer Temperatur ≈ 0.5 TS

=> Höhere Leerstellen => Diffusion erleichtert => Keimbildung erleichtert

1. Keimbildung

2.1. Wachstum der Keime => Übersättigtem MK bis Gleichgewichtszusammensetzung

2.2. Vergrößerung der Teilchen zur Ermüdigung der Oberflächenergie

Bezüglich der Gitterverwandtschaft zwischen MK und Teilchen unterscheidet man:
a.) Kohärente Teilchen (gleiches Gitter, gleich orientiert)
b.) teilweise kohärente Teilchen (gewisse Gittergeraden durchgehend)
c.) inkohärente Teilchen (unterschiedliches Gitter, unabhängige Orientierung, Bei inkohärenten, grösseren Teilchen ist die Festigkeit A. höher.)

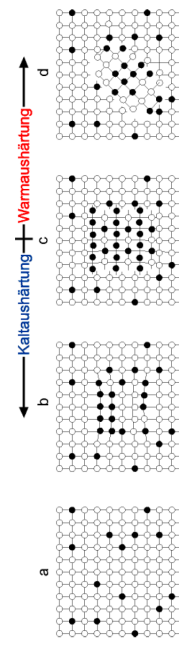
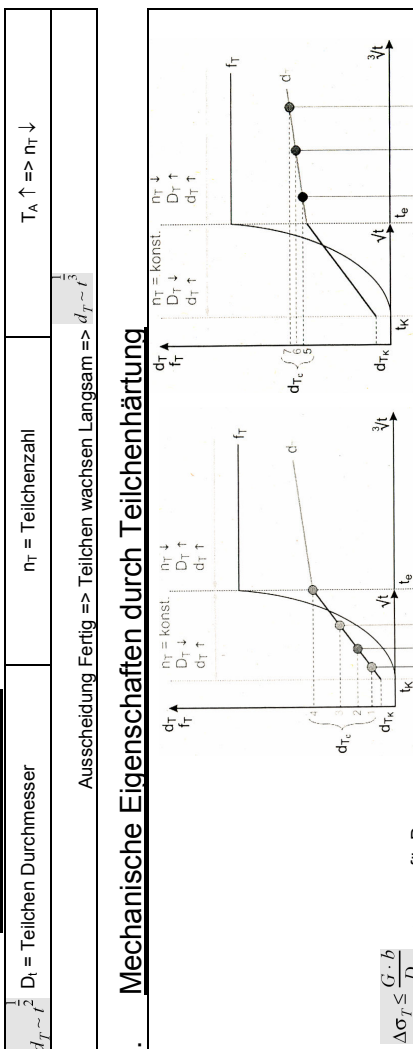
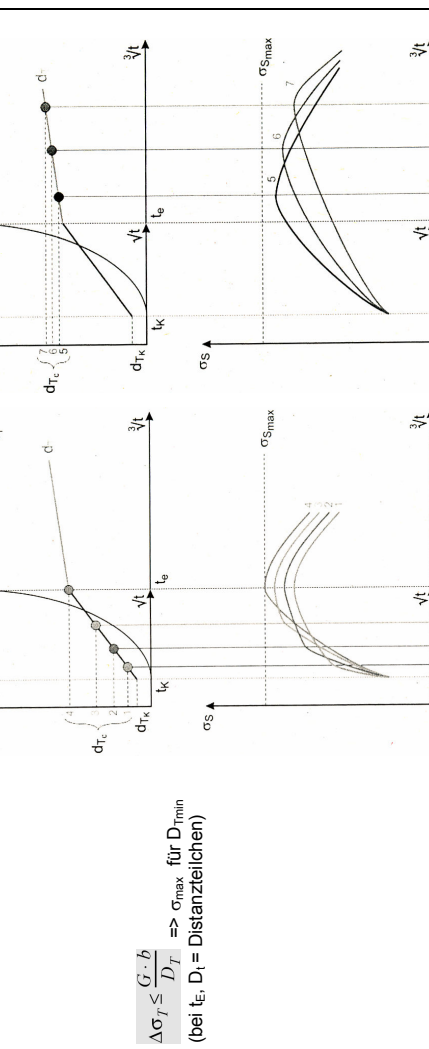
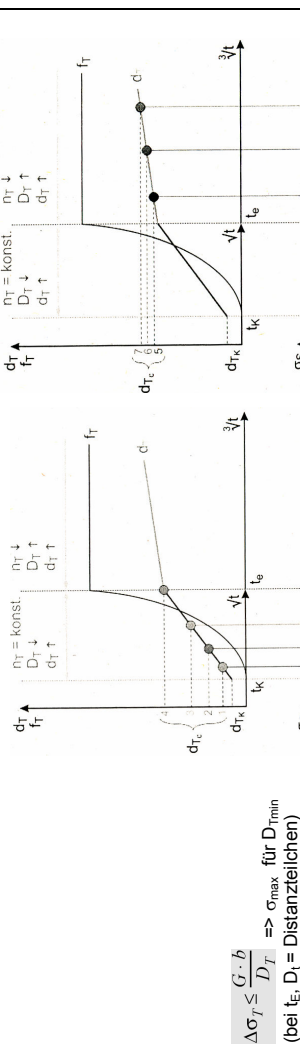


Fig. 16.3 Schematische Darstellung von Ausscheidungstypen: a) Mischkristall mit statischer Verteilung der Fremdatome (nach dem Lösungsglühen bzw. Abschrecken); b) Kohärente Teilchen; c) Teilweise kohärente Teilchen; d) Inkohärente Teilchen

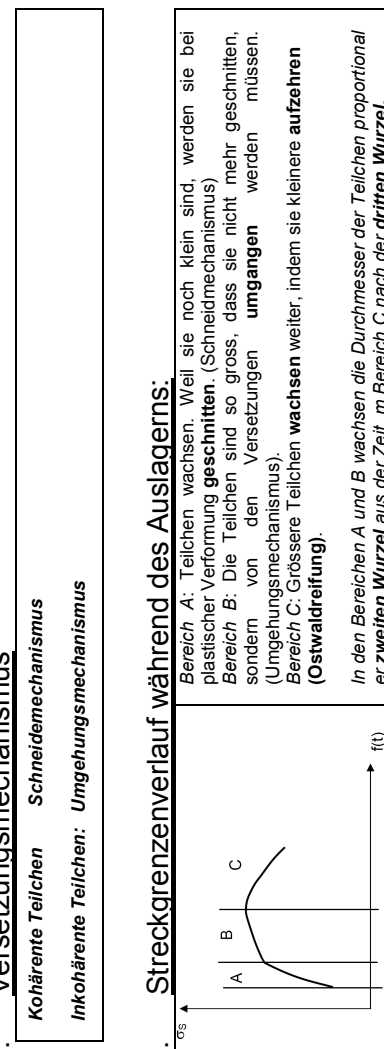
1. Teilchenwachstum



2. Mechanische Eigenschaften durch Teilchenhärting



4. Streckgrenzenverlauf während des Auslagers:



5. Sonderformen der Teilchenhärting

5.1. Alterung

Jede in Laufe der Zeit ohne gleichzeitig äussere Einwirkung eintretende Eigenschaftsänderung

- Gehalte anderer Begleitelemente unter Bestimmte Grenze
- Gemeinsam Grenze für Summengruppe:
 - 1. Ni, Cr, Cu, Mo (0,76 %)
 - 2. Nb, Ti, V, Zr (0,182 %)

(Muss weniger als 70 % der Summe der Grenzwerte)

5.2. Abschreckhärting

Wachstum von grossen Teilen auf Kosten von Kleine \Rightarrow Abnahme Teilchen Zahl und Zunahme Teilchenabstand \Rightarrow Streckgrenze und Härte nehmen ab.

5.4. Überalterung

Wachstum von kleinen Teilen auf Kosten von Grossen \Rightarrow Abnahme Teilchen Zahl und Zunahme Teilchenabstand \Rightarrow Streckgrenze und Härte nehmen ab.

5.4.1. Beispiel Überalterung

In einem durch Teilchen gehärteten Material werden durch Überalterung die Anzahl der Ausscheidungen pro Flächeneinheit für halbiert (kleine Ausscheidungen verschwinden zu Gunsten des Wachstums von grösseren). Was bedeutet dies quantitativ für den Streckgrenzenanteil $\Delta\sigma_T$ der Teilchenhärting, wenn er im Ausgangszustand bei 200 N/mm² lag?

$$D_{T2} : D_{T1} = \sqrt{2}$$

Einfluss des Teilchenabstandes auf die Streckgrenze: $\Delta\sigma_T \sim \frac{1}{D}$

$$\text{Einfluss auf den Streckgrenzenanteil: } \Delta\sigma_{T2} = \Delta\sigma_{T1} \cdot \frac{1}{\sqrt{2}} = \frac{200}{\sqrt{2}} = 141 \text{ N/mm}^2$$

5.5. Blausprödigkeit

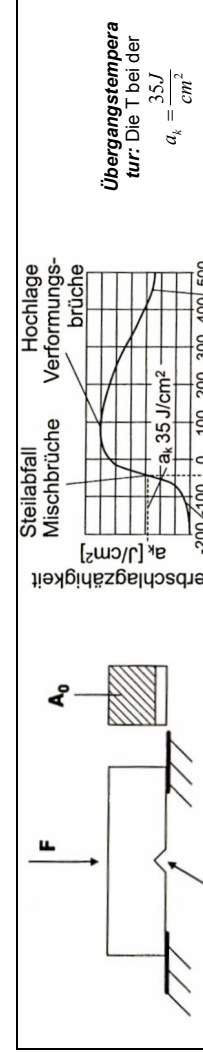
Sonderfall Reckalterung: schon während Verformung Fremdatome Wandern. \Rightarrow Abfall Dehnungswert und $\uparrow \sigma_B$

Kap 15. Stähle

1. Der Kerbschlagbarkeit

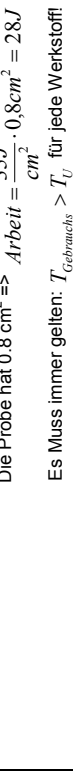
$$E_k = mg(h_i - h_f) \quad v = \sqrt{2gh_i}$$

$$\text{Kerbzähigkeit: } a_k = \frac{E_k}{a_0} \quad [a_k] = \frac{J}{cm^2}$$



$$\text{Kerbzähigkeit: } a_k = \frac{E_k}{a_0} \quad [a_k] = \frac{J}{cm^2}$$

$$\text{Übergangstemperatur: } T_u \text{ bei der Sprödbrüche} \quad a_k = \frac{35 J}{cm^2}$$



$$\text{Die Probe hat } 0,8 \text{ cm}^2 \Rightarrow \text{Arbeit} = \frac{35 J}{cm^2} \cdot 0,8 \text{ cm}^2 = 28 J$$

Es muss immer gelten: T_u \geq $T_{\text{Gebrauchs}}$ $\geq T_u$ für jede Werkstoff!

- Mischkristallhärting, Kaltverfestigung, Teilchenhärtung: $\uparrow T_u$

Leg mit Ni: $\downarrow T_u$

2. Bezeichnungssystematik für Stahlwerkstoffe

$$\text{Stahl: } 0,02\% < C < 2,05\%$$

Unlegierte Stähle

- Gehalte anderer Begleitelemente unter Bestimmte Grenze
- Gemeinsam Grenze für Summengruppe:
 - 1. Ni, Cr, Cu, Mo (0,76 %)
 - 2. Nb, Ti, V, Zr (0,182 %)

(Muss weniger als 70 % der Summe der Grenzwerte)

- Summe alle Gehalte Legierungselemente weniger als 5%
- Hochlegierte Stähle

- Das Rest

2.1. Gebrauchseigenschaften Bezeichnung (Unlegierten Werkstoffen):

G	S	W	JO	Kerbsschlagzähigkeit oder Angabe über die Beruhigung	C	mit besonderer Kaltumformbarkeit für Schmieden
Gussqualität (sons t leerra ssen)	Hauptsymbol für Verwendungszweck S E	Mindeststreckgrenze (für Halbzeug mit Bezugsdurchmesser)	Kerbsschlagzähigkeit: D	Schmelzauchüberzüge	F	Hohlprofile für tiefere Temperaturen
B	Betonstahl	Mindeststreckgrenze = maximale Spannung bevor plastisches Fließen eintritt	Kerbsschlagarbeit T	H	L	Thermomechanisch gewalzt
D	Flacherzeugnisse für Kaltumformen	JR KR LR +20	27J 40J 60J in °C	JR KO L0 0	J2 K2 L2 -20	Normalgegossen oder normalisierend gewalzt
H	Flacherzeugnisse aus hoherfestem Stahl zum Kaltumformen	J3 K3 L3 -30	J4 K4 L4 -40	J5 K5 L5 -50	O P Spundwandstahl	für Offshore
L	Stahl für Leitungsohren	J6 K6 L6 -60	T=Prüftemperatur	Q Vergütet	S für Schiffsbau	für Rohre
M	Elektroblech	W Wetterfest				
P	Stahl für Druckbehälter	C Chemische Symbole für vorgeschriebene Elemente	Beruhigung:	+C Grobkontaktstahl	-F Feinkontaktstahl	
R	Stahl für Schienen	+H mit besonderer Härbarkeit	G1 unberuhigt	+Z Feuerverzinkt	+ZE Elektrolytisch verzinkt	
T	Verpackungsblech und -band	G2 beruhigt	G3 Gütegruppe	+A Weichgegossen	+N Normalgegossen	
Y	Spanstähle	G4 Gütegruppe	+QT	+QT	+QT	Vergütet

2.3.2. Niedriglegierter Stähle

42	CrMn	4
C-Gehalt Faktor 100	Legierungsbestandteile	Gehalt der Legierungsbestandteile in der Reihenfolge der Nennung:
	X	Faktor 4: Cr, Co, Mn, Si, W, Ni
		Faktor 10: Al, Cu, Mo, Pb, Ti, V
		Faktor 100: P, S, N

Bsp.: 10CrMo9-10

2.4. Bezeichnung durch Nummer

Stahlgruppennummer	
	Anhängenzahl (Werkstoffzustand)
	Werkstoff- Hauptgruppe
	Sorten-Nummer (Werkstoffart innerhalb der Hauptgruppe)

2.5. Alte Werkstoffe Bezeichnung

St	37	Festes Symbol	Mindeszugfestigkeit für kleinstes Erzeugnis in kp/mm²2
3. Allgemeine Baustähle			

Konstruktion Werkstoffe, Nur Festigkeits Eigenschaften
Festigkeitssteigerung durch: C, N, P
Streckgrenze: Stähle mit weniger als 0,2 % C unverändert
Schweißbar: Oberhalb 0,22 % nur noch Vorgewärmt Schweißbar, deshalb C-Gehalt begrenzt 0,22%
Sulfide Schlechter Querzugähigkeit und Querzugfestigkeit, Lösungen: 1. Absenken Zn-Gehalt (<0,01 %) 2. Einführen Ti, Zr, Ce
Mikrolegierte Feinkornstähle Komfeiner (Härtemechanismus): V, Ti, Nb, Al
Erfolgt durch Nb, Ti, V

4.	Wirkung der Legierungselemente									
Eigenschaften	Legierungselemente									
Zugfestigkeit	Cr Ni Al W V Co Mo Si Mn S P									
Streckgrenze	+	+	+	+	+	+	+	+	+	+
Kerbbruchzähigkeit	-	-	+	+	+	+	+	+	+	+
Verschleissfestigkeit	+	-	+	+	+	+	-	-	-	-
Warmumformbarkeit	-	+	-	+	-	+	-	+	-	-
Kaltumformbarkeit	-	-	-	-	-	-	-	-	-	-
Zerspanbarkeit	-	-	-	-	-	-	-	-	-	+
Wärmefestigkeit	+	+	+	+	+	+	+	+	+	+
Korrosionsbeständigkeit	+	+	+	+	+	+	+	+	+	-
Härtetemperatur	+	+	+	+	+	+	+	+	+	-
Härte-, Vergütbarkeit	+	+	+	+	+	+	+	+	+	+
Nitrierbarkeit	+	+	+	+	+	+	+	+	+	-
Schweißbarkeit	-	-	+	+	+	+	-	-	-	-

2.2. Grundstähle, Qualitätsstähle, Edelstähle

Grundstähle

Unlegierte Stahl, Festigkeits Eigenschaften nicht durch Wärmebehandlung sichergestellt werden

Qualitätsstähle
Unlegierte Stahl oder legierte mit besondere Eigenschaften, Legierte Stähle sind mindestens Qualitätsstähle:
-+++ Kaltverformen
-Verwendung für höhere oder tieferen Temperaturen
Unlegierte oder legierte Stahlsorten, Eigenschaften gegeben durch Wärmebehandlung
Edelstähle
Unlegierte Stähle, Qualitätsstähle nicht durch Wärmebehandlung sichergestellt werden
2.3. Bezeichnung nach chemischer Zusammensetzung
2.3.1. Unlegierte Stähle
C 45 Fester Symbol Kohlenstoffgehalt Faktor 100
E Spezielle Eigenschaften
E Vorgeschriftbener max. S-Gehalt
R Vorgeschriftbener Bereich für S
C Besondere Kaltumformbarkeit
G Weitere Merkmale
S Für Federn
U Für Werkzeuge

+ Erhöhung, - Verminderung, leer ohne nennenswerten Einfluss

5.8. Anforderung

Hitzbeständige Stähle

Sie sind Stähle die nicht verzundern bzw. bei hohen Temperaturen nur wenig Oxidieren

Warmfeste Stähle

Sie sind Stähle auf hohe Standzeiten im Kriechversuch hin optimiert

Hitzbeständig + Warmfeste Stähle

Senken auch M_s – Temperatur. Absenkung unter T_R => metastabile austenitische Stähle.

Hochwarmfeste Stähle

Legierungselemente senken die Diffusionsgeschwindigkeit, und kritisch Abkühlungsgeschwindigkeit für die Martensbildung.

Affinität zu C

Ni, Co, Cu, Si, Al, P, N keine Aff. Mit C

Einfluss auf die Umwandlungstemperaturen

-Legierungselemente verlangsamt die Diffusionsgeschwindigkeit, und kritisch Abkühlungsgeschwindigkeit für die Martensbildung.

Chrom

-Verbessert Korrosionsbeständigkeit

-Verbessert Durchhalbarkeit

Nickel

-Diffusionsgeschwindigkeit verlangsamt

-18% Chrom + 8% Nickel: Umwandlungsfeste austenitische Stähle

-Chrom + Nickel: umformbar und Korrosionsbeständigkeit verstetigen, schlecht Wärmeleiter

Kosten

-Die Kosten steigen in dieser Reihenfolge: Mn, Si, Cr, Ni, Rest

Nickel

-↑ Warmfestigkeit

-↑ Zähigkeit

stark -↑ Zugfestigkeit

-Verbessert Zündern und Korrosionsbeständigkeit

Oberfläche

-Oberfläche: harte und Verschleißfeste

-Zähigkeit in Kern nach Wärmebehandlung

Baustähle

$0 < C < 0.25\%$

-Legierungselemente => ↓ kritische Abkühlungsgeschwindigkeit, ↑ Durchhärtbarkeit, ↑ Festigkeit

-Härte: 65 HRC und mehr

-C-Gehalt klein

-Mn, Cr, Mo, Ni => ↑ Kerbfestigkeit

Vergütungsstähle

$0.25 < C < 0.55\%$

-Legierungselemente => ↓ kritische Abkühlungsgeschwindigkeit, ↑ Durchhärtbarkeit, ↑ Festigkeit

-Ni für ↑ Zähigkeit, ↓ Übergangstemperatur

Nitrierstähle

-Verschleißfeste Oberfläche (Reiben)

-Kern Zah

Automatenstähle

-Al und V als Nitridbildner zulegiert

-Andere Legierungselemente ↑ Festigkeit und ↑ Zähigkeit Kern

Korрозионно-стойкие стали

-Ferritische Stähle (empfindlich)

-Nickelsgehalte > 8%

Warmfeste Werkstoffe

-Hohe Standzeiten im Kriechversuch bei möglichst hoher Temperaturen

-Arbeitende Stähle, für verschleissende Beanspruchung vorgeschen

Umwandlungshärtbare Stähle

-Arbeitende Stähle, für verschleissende Beanspruchung vorgeschen

5.9. Kaltarbeitsstähle

Unlegierte Werkzeugstähle

-Gute Verschleißfestigkeit und hohe Kern Zähigkeit

-Viel C, Anlassen 200 °C

Legierte Werkzeugstähle

-Spangebenden und Spanlosen Umformung: -200°C Einsatz

-Chrom ≤ 13% Mo ≤ 1%, V ≤ 0.4%, Wolfram 1-2, max 5%

Cr-, Mo-, V-, W-Sondercarbide

-Anlassbeständigkeit, Schneldhärtingkeit, Härte, Verschleisswiderstand

5.10. Warmarbeitsstähle

Wärmebehandlung der Werkzeugstähle

-Zeispanten hohe Schnittgeschwindigkeit auch bei T hoch (~600 °C) harte und Scharfe Schneide behalte

-Wolframbasis: 12 – 18.5% W

-Molybdänbasis: 9% Mo, 2% N

-Wolfram – Molybdänbasis: 6% W, 5% Mo

-Schnellarbeitsstähle zusätzlich enthalten: 4% Cr, C~0.7-1.4 %

-Ni: Zähigkeit und das Durchhärtung

-Si: Dauerfestigkeit und Anlassbeständigkeit

-Moderate C-Gehalt

5.11. Schnellarbeitsstähle

Spannungsglühen, Härteten und Anlassen

-Zeispanten hohe Schnittgeschwindigkeit auch bei T hoch (~600 °C) harte und Scharfe Schneide behalte

-Wolframbasis: 12 – 18.5% W

-Molybdänbasis: 9% Mo, 2% N

-Wolfram – Molybdänbasis: 6% W, 5% Mo

-Schnellarbeitsstähle zusätzlich enthalten: 4% Cr, C~0.7-1.4 %

-Ni: Zähigkeit und das Durchhärtung

-Si: Dauerfestigkeit und Anlassbeständigkeit

5.12. Wärmebehandlung der Werkzeugstähle

Spannungsglühen, Härteten und Anlassen

-Zeispanten hohe Schnittgeschwindigkeit auch bei T hoch (~600 °C) harte und Scharfe Schneide behalte

-Wolframbasis: 12 – 18.5% W

-Molybdänbasis: 9% Mo, 2% N

-Wolfram – Molybdänbasis: 6% W, 5% Mo

-Schnellarbeitsstähle zusätzlich enthalten: 4% Cr, C~0.7-1.4 %

-Ni: Zähigkeit und das Durchhärtung

-Si: Dauerfestigkeit und Anlassbeständigkeit

5.6. Warmfeste Werkstoffe

Ferritische Stähle

-Legierung mit Pb und S

-Gering C für Einsatzhärten, Hoch C für Vergüten

martensitische Stähle

-Mit S: gut Zerspanbar

-Ni - legierung

korroziostabile Stähle

-Hohe Standzeiten im Kriechversuch bei möglichst hoher Temperaturen

-Arbeitende Stähle, für verschleissende Beanspruchung vorgeschen

5.7. Unlegierte Werkzeugstähle 0.5 < C < 1.5 % (Umwandlungshärtbare Stähle)

Kap 16 Eisen – Kohlenstoff – Gusswerkstoffe

1. Einleitung und Übersicht

Gusseisen-Werkstoffe haben Kohlenstoffgehalte oberhalb 2%. Dem Vorteil von tiefer Schmelztemperatur und guter Vergießbarkeit sowie kleiner Schwindung steht der Nachteil der Sprödigkeit bzw. reduzierten Zugfestigkeit durch den hohen Kohlenstoffgehalt gegenüber. Durch gezielte Massnahmen (Legierungszusammensetzung, Wärmebehandlungen) werden diese Negativeneinflüsse möglichst vermindernt.

Zwei Aspekte zu Berücksichtigten

1. Vergießbarkeit, bestimmt durch Schmelztemperatur, Viskosität, Lunkern und Seigerungsneigung, Formfüllungsvermögen
2. Technische Eigenschaften des Werkstoffes in Fester Zustand

2. Stahlguss ($C < 2\%$)

Formgebung durch Giessen in Formen (Sand, Schamotte (argilla), seltener Metall und Graphit)

Schwierig zu vergießen: hohe Schmelztemperatur, 2% Schwindung => Gefahr Lunker & Rissen

Vergestaltertemp.: 1400 – 1600 °C

Stahlguss benutzt wann: hohe Festigkeit und Zähigkeit oder Schweissbarkeit erforderlich sonst Gusseisen

Bezeichnung wie Stahlwerkstoffe + eine G, z.B. GS235JR ist eine S235JR vergossener

Erwünschte Eigenschaften

- Hohe Festigkeit
- Zähigkeit
- Schweissbarkeit
- Hohe Schwindung, ca 2%
- Gefahr von Rissen und Lunkern
- Hohe Vergestaltertemp.

Wärmebehandlung

- Normalglühen zur Beseitigung Widmannstättengefüge
- Kann auch gehärtet und vergütet werden

3. Gusseisen ($C > 2\%$) allgemein

Unterscheidung nach der Gestalt des C

–Stabil erstarnte Gusseisen mit Lamellengraphit (GJL) oder –Metastabile erstarnte weisses Gusseisen (GJN)

–Mit Kugelgraphit (GJS) –Tempergusssorten (GJM)

Grauguss: ~3% C und 1.5% Si

–Jede Leg. Mit C > 2%: Eutektikum: Metastabil $S_e \Rightarrow \gamma_e + Fe_3C_e$ (Lebedurit) (Austenit + Zementit)

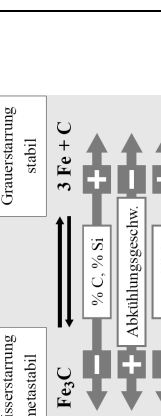
Stabil $S_e \Rightarrow \gamma_e + C_e$ (Austenit und Graphit C)

Gusseisen mit Graphit: Erstarrung Stabil (Grauerstarrung)

Gusseisen mit Zementit: Erstarrung Metastabil (Weißerstarrung), Weissguss ist Hart, verschleissfest und spröde

–Zwischen Grau und Weiss liegt melierte Gusseisen (Lebedurit oder Graphiteutektikum)

Weißerstarrung metastabil Grauerstarrung stabil



Sättigungsgrad

$$S_C = \frac{C}{4.23 - 0.31Si - 0.33P + 0.07Mn}$$

–C, Si, P, Mn sind die Gehalte der Leg'el. in %

– $S_C < 1$: untereutaktischer Zustand

– $S_C = 1$ eutektischer Zustand

– $S_C > 1$ übereutaktischer Zustand (Garschaum, grobe Graphittamellen)

Innere Kerbwirkung

Auf Zug wirken Graphiteinschlüsse wie Hohlräume, d.h. **kugelförmiger Graphit wie Poren, Graphittamellen wie Risse**. Dies hat eine innere Kerbwirkung zur Folge, die umso stärker ist, je kleiner die Radien dieser Hohlräume sind. Im Gegenzug hat Gusseisen daher eine geringe äussere Kerbempfindlichkeit. Auf Druck hingegen tragen die Graphiteinschlüsse mit. Daher sind bei allen Gusssorten die Druckfestigkeit höher als die Zugfestigkeiten

5.1. Gusseisendiagramm

- Grau Falder: WF Klassen in den mit bestimmte Querschnitte und Gewicht am Besten abgüssen lassen. Perititsch Festen Seite (rechts von Grau): Gefüge feinkörnig, karbidisch und lunkeranfällig
- Weichen Seite (links von Grau): grobkörnig und mehr Ferritisch, Lunker weniger
- Für gute Bearbeitung Brinellhärte 240 nicht übersteigen

Materialdämpfung

Die Grenzflächen zwischen Graphit und Grundmasse führen zur Streuung von mechanischen Wellen und damit zu einer hohen Materialdämpfung, die umso ausgeprägter ist, je grösser die Grenzfläche pro Volumeneinheit ist, d.h. grösser für Graphittamellen als für kugelförmigen Graphit.

4. Bezeichnungssystematik von Gusseisen

	Pos. Bez.	1 EN-GJ	2 S	3 F	4 5 -H	6 -350-22U-L-T
Ohne Leerstellen						
EN-Norm						
Gusseisen						
Graphitsstruktur, Kohlenstoffstruktur (Kugelgraphit)						
Mikro- oder Makrostruktur falls erf. ferritisch)						
Klassifizierung durch mechanische Eigenschaften						
- Zugfestigkeit in N/mm²						
- Bruchdehnung in %						
- Bezug Probe-Gussstück (angegossen)						
- Temperaturbereich f. geforderte Kerbschlagarbeit (tiefe Temp.)						
oder chemische Zusammensetzung						
Zusatzaforderungen falls erf. (wärmebehandelt)						

	Pos. Bez.	1 EN GJ	2 S	3 F	4 5 -H	6 -350-22U-L-T
Ohne Leerstellen						
EN-Norm						
Gusseisen						
Graphitsstruktur, Kohlenstoffstruktur (Kugelgraphit)						
Hauptmerkmal 1 = Zugfestigkeit						
2 = Härte						
3 = chemische Zusammensetzung						
Zählnummer 00 - 99						
Besondere Anforderungen						

5. Gusseisen mit Lamellengraphit (GJL)

- Zur Erzielung der stabilen Erstarrung enthält graues Gusseisen mehr als 1.5% Si. GJL ist der billigste der Eisengusswerkstoffe.
- Die Erstarrung setzt an einzelnen Keimen ein und schreitet dann radial nach aussen fort.
- Eine einzelne Zelle besteht aus *Salatkopf-förmlichen Graphit* mit dazwischen liegendem Austenit => Lamellare Struktur

Eutektische Zelle

- Die Zellengrösse beeinflusst die Eigenschaften des GJL. Kleine Zellen erhöhen die Festigkeit, aber auch die Neigung zur Lunkerbildung.
- Hohe Festigkeit (kleine Zellen mit Perititischem Grundgefüge)
- Geringerer Härte (sie erleichtert die Bearbeitung, >240 HB)

Hochwertige Gusssqualität

- 1. E-Modul abhängig von Festigkeit (Qualität)
- 2. Spannungs – Dehnungs – Linie nicht Linear, E-Modul von Spannung abhängig
- 3. **Gute Materialdämpfung:** Streuung von elastischen Wellen an den Grenzflächen zwischen Eisen und Graphit. Die Grenzfächendämpfung ist umso grösser, je geringer die Festigkeit des Gusseisens ist, d.h. je mehr Kohlenstoff, je mehr Grenzflächen, je gröber die Graphitlamellen. Die hohe Materiadämpfung qualifiziert den GJL für Werkzeugmaschinenbetten.
- 4. Zugfestigkeit und Dauerfestigkeit gering => Um mehr muss Grundwerkstoff verbessert
- 5. Druck geht besser: $\sigma_{GJL} = 3\sigma_{GJS}$
- 6. Festigkeit \uparrow mit Fe3C \uparrow aus der sekundär und Eutektoid Umwandlung (Perititanteil)
- 7. Festigkeit \leftrightarrow Wandstärke des Gussstück (diese bestimmt die Abgesch. und Perititanteil)
- 8. Ist Spröde

Spezielle Eigenschaften

- Grau Falder: WF Klassen in den mit bestimmte Querschnitte und Gewicht am Besten abgüssen lassen. Perititsch Festen Seite (rechts von Grau): Gefüge feinkörnig, karbidisch und lunkeranfällig
- Weichen Seite (links von Grau): grobkörnig und mehr Ferritisch, Lunker weniger
- Für gute Bearbeitung Brinellhärte 240 nicht übersteigen

9. Bainitischen Gusseisen

Gusstück-Kategorien		Gusseisen-Werkstoffklassen
(Wanddicken und Gewicht)		EN-GJL-100 150 200 250 300
Sehr dünnwändige und sehr leichte Gusstücke (um 5 mm und 1 kg)		150 200 250 300
Dünnwändige und leichte Gusstücke (um 10 mm und 10 kg)		150 200 250 300
Dickwandige und schwere Gusstücke (um 30 mm und 1000 kg)		100 150 200 250 300
Sehr dickwandige und sehr schwere Gusstücke (über 30 mm / 1000 kg)		100 150 200 250 300
Zugfestigkeit der mitgegossenen Probe von 30 mm Ø [MPa]*		1.10 1.04 0.98 0.92 0.86
Sättigungsgrad		* entspricht einer massgebenden Wandstärke von 15 mm

10. Temperguss

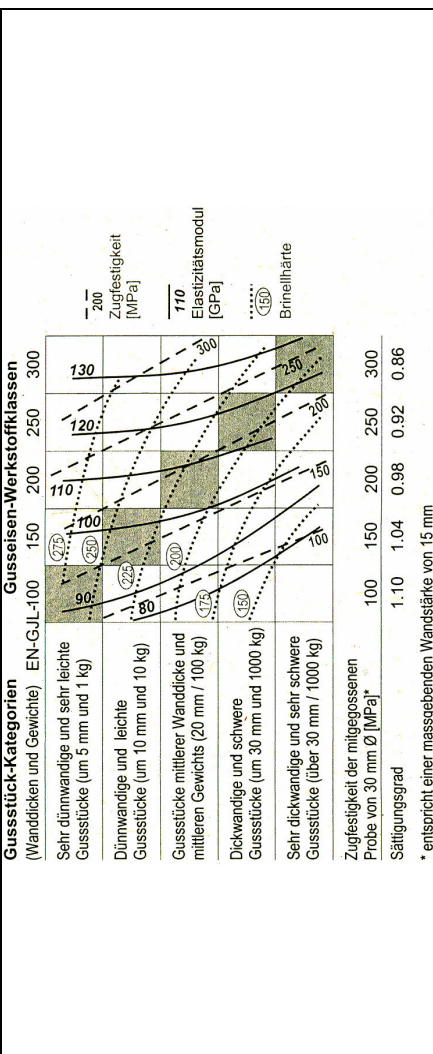
- Weißes Temperguss (GJMW) und Schwarz Temperguss (GJMB), unterschiedet durch die Glü behandlung dem erstären
- Zugfestigkeit bis 1400 MPa
- Malleable
-

10.1. Weisser Temperguss GJMW

Beim weissen Temperguss wird 60 – bis 120 Stunden bei 980 bis 1060 °C in oxidierender Atmosphäre geglüht. Dabei zerfällt der Zementit in Kohlenstoff, während der Kohlenstoff in der Randschicht Oxidiert. Man nennt dies Randentkohlung. Weiter C diffundiert aus dem Inneren in die an verarmte Schicht. Damit entsteht ein ferritischer Rand von einigen Millimetern Dicke, während das Innere aus Perlit und Graphitneistern (Temperkohle) besteht. Der Graphit koaguliert durch die Glübung im Innern zu Kohlenstoffnestern (nidri di C). Durch die entkohlte Randschicht ist der GJMW schweißbar. Die Eigenschaften sind stark wandstärkenabhängig. Bei Geringen kleinen Wandstärken ist das Gussstück durchgängig Ferritisch. GJMW wird angewandt für Fittings, Bremsstrommeln, Ventilgehäuse, Schaltstangen, Fangräder, Kardangabeln, Planetenträger von LKW

10.2. Schwarzer Temperguss GJMB

GJMB entsteht durch 20-stündige Glübung bei ca. 950 °C in neutraler Atmosphäre. Dabei zerfallen die ledeburitischen Karbide zu Kohlenstoff und Eisen, wobei der C zu Graphitnestern koaguliert. Bei langsamer Abkühlung sind nachfolgende Umwandlungen stabil, die Grundmasse wird Ferritisch, der C koaguliert an die Graphitnest. Bei schnellerer Abkühlung wird die Grundmasse Ferritisch – Perlitisch. Die mechanischen Eigenschaften von GJMB sind ähnlich denen der GJS. Anwendung findet GJMB für mittelgroße Teile, z. B. Getriebegehäuse, Achsgehäuse, Kardangelenk, Planenengetrieben.



6. Gusseisen mit Kugelgraphit (GJS)

- Mg oder Ce im Schmelz von Guss (Impfen) => Agglomeration von Graphit kugelförmig erfolgt

Eigenschaften

1. E kaum (appena) abhängig von Festigkeitsklasse, E ~170000 MPa
 2. Gerundet gestalt => geringer Kerbwirkung => aussere Kerbempfindlichkeit grösser
 3. Dämpfung von GJS schlechter als GuJL
 4. Bruchdehnung von bis zu 22%. Auch als duktilas Gusseisen bezeichnet
 5. Auf Druck tragen die Graphitkugeln mit. Wegen der verminderten Zugfestigkeit gilt: $|\sigma_{\text{zug}}| = (1.5 \text{ bis } 2) \cdot \sigma_{\text{dr}}$
 6. Wie bei GuJL steigt die Festigkeit mit sinkendem Kohlenstoffgehalt und mit zunehmendem Zementanteil in der Grundmasse. Damit wächst die Festigkeit auch mit steigender Abkühlgeschwindigkeit und sinkender Wandstärke
- Gute mech. Eigenschaften => verdrängt den Stahlenguss

7. Festigkeit von Grauguss

- Beim gleichen Grundwerkstoff (Matrix) Grauguss mit lamellenförmigem Graphit hat die niedrigere Zugfestigkeit als Grauguss mit Kugelgraphit. Die Graphitlamellen stellen eine grössere Unterbrechung des Werkstoffquerschnitts dar als die Graphitkugeln:

$$\frac{\text{Druckfestigkeit } |\sigma_{\text{dr}}|}{\text{Zugfestigkeit } |\sigma_{\text{zug}}|} = 1.5 \dots 2$$

$$\frac{\text{Druckfestigkeit } |\sigma_{\text{dr}}|}{\text{Zugfestigkeit } |\sigma_{\text{zug}}|} = 3$$

$$\frac{\text{Zugfestigkeit } |\sigma_{\text{dr}}|}{\text{Zugfestigkeit } |\sigma_{\text{zug}}|} = \frac{1.5 \dots 2}{3}$$

$$\frac{\text{Zugfestigkeit } |\sigma_{\text{dr}}|}{\text{Zugfestigkeit } |\sigma_{\text{zug}}|} = 0.5 \dots 0.67$$

- Auf Druck wirken die Graphitkugeln bzw. Lamellen nicht schwächend. Bei Zug löst sich die Matrix von dem Graphitteilchen ab, was der Bildung von Risskeimen entspricht. Bei Druck trägt der Graphit die Belastung mit.
- Ursache Unterschiede zwischen Zug- und Druckfestigkeit: Bei Zug löst sich die Matrix von dem Graphitteilchen ab, was der Bildung von Risskeimen entspricht. Bei Druck trägt der Graphit die Belastung mit.

8. Sphärograph. Temperguss

- Unterschied zwischen Sphärograph. und Schwarzen Temperguss: Beim Sphärograph. entstehen die kugelförmigen Graphitausscheidungen bei der Erstarrung aus der Schmelze, weil durch Zugabe von Mg oder Ce Fremdkörper eingebracht werden und die Grenzflächenergie Graphit-Eisen erhöht wird.

- Schwarzer Temperguss erstarrt weiß. Die Erstarrung des Tempergusses erfolgt untereutektisch metastabil, es entstehen Primärtausentit γ_e sowie eutektischer Austenit γ_{dr} und Zementit Fe_3C_e (Ledeburit).

Kap. 17 Aluminium und Aluminium-Legierungen

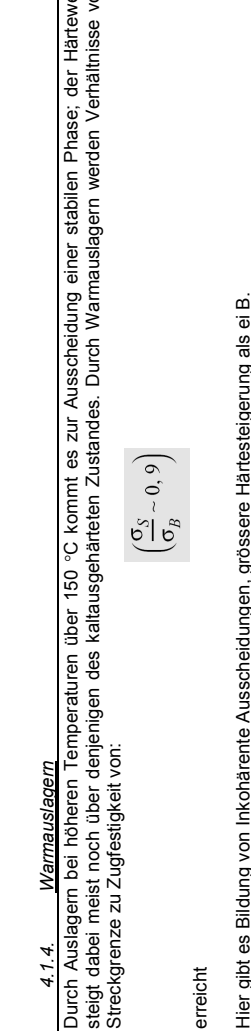
4.1. Durchführung der Aushärtung

1. Leichtmetalle	
- Dichte 2,7 g/cm ³ ; E= 70000 N/mm ² ;	- Korrosion: Beständigkeit durch Oxidhaut, nicht beständig 99.
- Querkontraktion 0,34%;	- Seewasser; -Bemerkung: Gut kalt umformbar, eloxierbar; Brennbarkeit: Schieferstab explosiv.
- Kristallform kfz;	-Aluminiumlegierungen: sind für Kaltumformung bestimmt. Sie enthalten maximal 5 bis 8% Legierungselemente, damit die Duktilität erhalten bleibt.
- Schmelzpunkt rein 660 C;	-Aluminiumgusslegierungen: für die Verarbeitung im Druckguss, Sandguss, Kokillenguss gedacht. Sie erden von den Legierungselementen nahezu vollständig eingestellt, um eine gute Formfüllung zu erhalten.
- Rm rein 40 ... 130 N/mm ² ;	-Festigkeitssteigerung: Kaltverformung, Auslagern bis Rm=700 Mpa., Mischkristallhärtung, Kaltverfestigung, Konfeinierung, Teilchenhärtung; Fügen: Schweißbar mit Nachbehandlung, schlecht Verfestigung durch Ausscheidung nur bei austahrtbaren Legierungen möglich, Beimengungen (mescole) von Cu, Mg-Si und Mg-Zn.
-Elektr.-Leitfähigkeit 60 %Cu,	
-Wärmeleitfähigkeit 56 %Cu.	
-Festigkeitssteigerung: Kaltverformung, Auslagern bis Rm=700 Mpa., Mischkristallhärtung, Kaltverfestigung, Konfeinierung, Teilchenhärtung; Fügen: Schweißbar mit Nachbehandlung, schlecht Verfestigung durch Ausscheidung nur bei austahrtbaren Legierungen möglich, Beimengungen (mescole) von Cu, Mg-Si und Mg-Zn.	

Nach dem Lösungsglühen soll das Gefüge einheitlich sein, z.B. nur aus α - MK bestehen
Die Lösungsglühtemperatur ist vom Legierungstyp und von der Löslichkeit des austahrenden Bestandteils abhängig. Sie muss im allgemein auf ± 10 °C (manchmal auch ± 5 °C)
-T zu hoch: Verbrennung => Material wird Wertlos
-T zu tief: Lösungsglühen => verminderde Festigkeiten

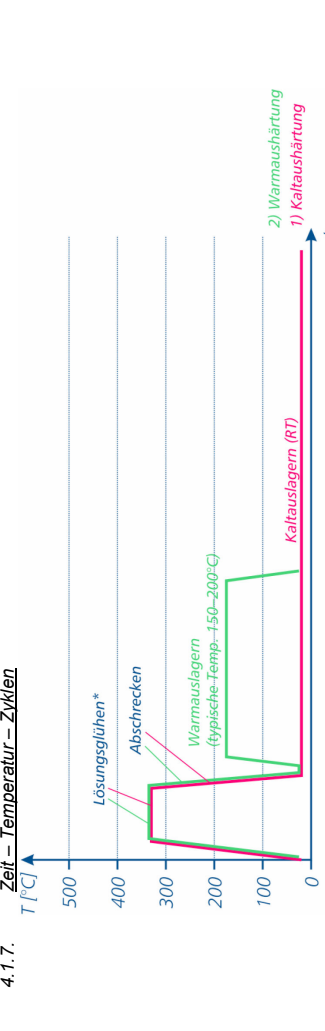
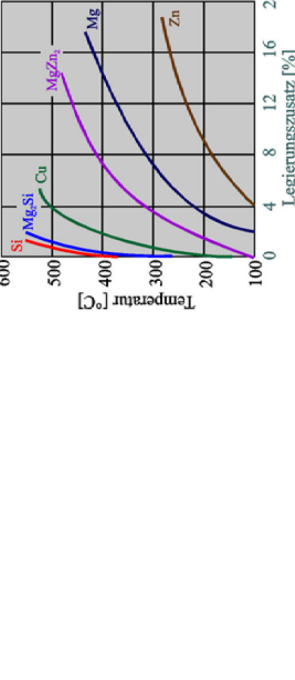
4.1.1. Lösungsglühen

- Von der Lösungsglühtemperatur wird abgeschreckt. Dadurch wird die Ausscheidung der zweiten Phase unterdrückt. Die Härtung ist gegenüber dem weichgeglühten Zustand höher. Als Abschrecken geschieht meist durch Eintauchen in kaltes Wasser.
- Hier ist Lösungsgeglühter Zustand, keine Ausscheidung vorhanden
- Abschrecken
- Nach dem Abschrecken
- Nach einer kurzen Inkubationszeit beginnt die Kaltaushärtung.
- Hier entstehen kleine und tendentiell kohärente Teilchen, die nur eine kleine Härtesteigerung bewirken (können leicht von Versetzungen geschnitten werden)



Hier gibt es Bildung von inkohärenten Ausscheidungen, grössere Härtesteigerung als ei. B.

4.1.6. Löslichkeit von Legierungszusätzen in Aluminium in Abhängigkeit von der Temperatur.



3. Nichtaushärtbare Legierungen (Mischkristallhärtung und Härtung durch Versetzung)

- A: Aluminium
- W: Erzeugnis (W - Halbzeug)
- H: werkstoffzustand nach EN 515
- Ziffernchlüssel
- Zusammensetzung
- Ziffern nach H (Verfestigungszustand): erste Ziffer: welchem Weg erreicht; Zweite Ziffer: Festigkeit in Achteln von der maximal erreichbaren Verfestigung.
- Originallegierung;
- Resistiven Ziffer: Zählnummern.

Fast alle Werkstoffe auf der Basis Aluminium sind keine homogenen Mischkristalle, d.h. bilden bei Raumtemperatur einen fast reinen Alu - Mischkristall, während die übrigen Legierungselemente zu einer zweiten Phase ausgeschieden werden

-Die Zustände **hart** und **halbhart** werden durch unterschiedlicher Kaltverformung (Versetzungshärte) eigestellt. Hartes Blech ist bis zu 90% verformt. Beim Zustand halbhart werden die Bleche nach der Glühung 10 – 30 % abgewalzt, für den vierthärtiger Zustand wird weniger als 10% verformt.

-Hier Ausscheidung ist per Definition nicht möglich.

4. Aushärtbare Legierungen

- Bei Aluminiumlegierungen ist die Ausscheidung oder Aushärtung die wichtigste Form der Festigkeitssteigerung
- Die dazu erforderliche Wärmebehandlung umfasst eine Lösungsglühen in Verbindung mit einer raschen Abkühlung zur Erzeugung eines übersättigten Mischkristalls. Anschliessend erfolgt die Aushärtung der Legierung während einer Kalt- oder Wärmebehandlung.
- Für die Ausscheidungshärtung ist es notwendig, dass die Legierung bei Raumtemperatur in einem Zweiphasengebiet liegt, aber durch Aufheizen in den einphasigen Bereich kommt. Dann lässt sich das Material lösungsgüthen und anschliessend abschrecken.

5. Glühen von Al-Werkstoffen

5.1. Barren-Hochglühen

Die gussblöcke werden dabei längere Zeit (6-48 h) bei Temperaturen zwischen 450 und 630 °C gegüht. Die geglühten Barren werden entweder an der Luff oder mit der Wasserbrause abgekühlt. Zweck: Korneigerung und Übersättigungen

5.2. Weichglühen

Das Weichglühen hat den zweck, Werkstoffe, die durch Kaltverformung oder thermische Aushärtung verfestigt wurden, wieder in einen leichter verformbaren Zustand zurückzuführen. Al-werkstoffe werden je nach Legierungszusammensetzung ½ bis 2 Stunden bei 300-500 °C weichgegüht und anschließend an der Luff oder im Ofen auf Raumtemperatur abgekühl.

6. Aluminiumgusslegierungen

6.1. Wichtigste Gusslegierungen

-Al-Si -Al-Mg -Al-Cu

-Al-Zn-Mg -Al-Cu-Mg

6.1.1. Al-Si-Gusslegierungen (G-Al(Si...))

- Gut gießbar
- Legierungsbestandteile: 5.3 – 12.3% Si; 0 – 0.7% Mg; 0.3% Mn
- Sehr gut vergießbar bei mittleren bis hohen Festigkeitswerten
- Bei geringerer Zugabe von Mg ist die Legierung austahbar

6.2. Impfen mit Na und Sr

7. Korrosionsverhalten von Aluminium

7.1. Oxidschicht

An sich müsste Al aufgrund seines unedlen elektrochemischen Potentials mit Wasser oder wässrigen Lösungen heftig reagieren. Dies wird aber durch die Oxidschicht verhindert.

7.2. Natürlicher Korrosionsschutz

Der natürliche Korrosionsschutz ist die Oxidhaut. Sie entspricht ungefähr 25 Atomabständen (0.01 µm). Wird sie verletzt, so bildet sich schon nach Sekunden eine neue Oxidschicht mit 0.001 µm Dicke, 0.01 µm dicke in 10 Tagen

7.3. Künstlicher Korrosionsschutz

Das zu oxidierende Al wird an den positiven Pol einer Gleichstromquelle angeschlossen und in einen Schwefelsäureelektrolyten gehängt. Der durchfließende Strom erzeugt dabei eine Farblose Oxydschicht, welche bis 1000-fach dicker ist als die natürliche.

Kap. 20 Physikalische Eigenschaften

1. Thermische Eigenschaften

1.1. Wärmeschwingungen des Kristallgitter

Atome in der Lage, aus verschiedenen Anlässen leicht in Schwingung zu geraten. Auch ohne äußere Anregung (thermischer Energie). Die Amplitude nimmt mit steigender T zu. Diese thermisch induzierten Gitterschwingungen definieren weitgehend alle thermischen Eigenschaften der Werkstoffe, die Wärmeleitung, Wärmedehnung und Wärmekapazität. Gitter bewegender Teilchen betrachtet werden können. Diese Quasiteilchen bezeichnet man als Phononen.

1.2. Molwärme und spezifische Wärmekapazität

Zwischen den schwingenden Atomen erfolgt ständig ein quantenhafter Energieaustausch durch Phononen, deren Energie von Frequenz und Wellenlänge abhängt:

$$E = \frac{hc}{\lambda} = h\nu$$

Die zur Erwärmung eines Mols einer Substanz um ein Grad erforderliche Energimenge wird als molare Wärmekapazität oder als **Molwärme** bezeichnet. Sie kann bei konstantem Druck (C_p) oder bei konstantem Volumen (C_v) gemessen werden. Für Festkörper sind die Unterschiede beider Werte meist zu vernachlässiggen. Bei hohen Temperaturen nähern sich die Molwärmen aller Stoffe dem Wert:

$$C_p = 3R = 25 J/mol \cdot K$$

Diese Wert wird von Metallen bereits bei Raumtemperatur erreicht, von keramischen Stoffen erst bei etwa 1000 °C

Als spezifische Wärmekapazität bezeichnet man die Wärmemenge, die zur Erwärmung eines Grammes einer Substanz um ein Grad erforderlich ist. Zur Molwärme besteht der Zusammenhang:

$$\text{Spezifische Wärmekapazität } C_p = \frac{\text{Molwärme}}{\text{Molmasse}}$$

$G(T) = H(T) - (T \cdot S(T))$

$$dH = C_p(T) \cdot dT$$

$dQ = C \cdot m \cdot \Delta T \quad , \quad Q = m \cdot \Delta H$

1.3. Spezifische Wärmekapazität $C_p(T)$ und freie Enthalpie $G(T)$

Thermodynamische Grundgleichung

$$dH = C_p(T) \cdot dT \quad \Rightarrow \quad H(T) = H(0) + \int_0^T C_p(T) \cdot dT$$
$$dS = \frac{C_p(T)}{T} \cdot dT \quad \Rightarrow \quad S(T) = S(0) + \int_0^T \frac{C_p}{T} \cdot dT$$

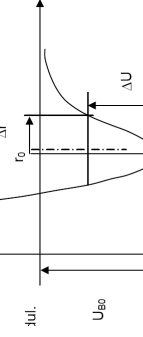
$G(T) = H(T) - (T \cdot S(T))$

Die Funktion $G(T)$ ist für eine Phase P vollständig gegeben, wenn die Größen $H(0)$, $S(0)$, $C_p(T)$ bekannt sind.

1.4. Bindungsenergie

- Große Bindungsenergie U_{B0} bedeutet hohe Schmelztemperatur.
- Asymmetrischer Kurvenverlauf bedeutet Wärmedehnung.
- Enge Potentialkurve bedeutet hohen E-Modul.

Folgende Eigenschaften hängen von der $U(r)$ -Kurve ab:
-E- und G- Modul von der Krümmung im untersten Punkt
-Atomabstand (=> Gitterkonstante a_0 , Atomradius) vom r_0 (=>Rekristallisationspunkt, Aktivierungsenergie für Selbstdiffusion Q) von der Tiefe des Potentialtopfs



1.4.1. $U(r)$ – Verlauf für zwei Werkstoffe mit der gleichen Gitterkonstanten, die die gleichen Schmelztemperaturen, jedoch unterschiedliche E-Moduli ($E_A > E_B$) aufweisen.

$-U(r)$ ist das Potential der anziehenden und abstoßenden Kräfte zwischen zwei Atomen, auf Null normiert bei grossem Abstand. U_0 ist das Potential beim Kräftegleichgewicht, wenn der Abstand der Gitterkonstanten entspricht.
-Gleiche Schmelztemperatur heißt $U_0A = U_0B$.
-Die Ableitung des Potentials nach dem Abstand ergibt die Kraft, die Ableitung der Kraft nach dem Abstand ist proportional zum E-Modul: Der E-Modul ist grösser, wenn der Krümmungsgrad klein ist.

1.4.2. Wärmedehnung

Ein Atom befindet sich gegenüber einem Nachbarn nicht im Gleichgewichtsabstand r_0 , sondern es führt, seiner Temperatur und dem zugehörigen Energieinhalt ΔU entsprechend, Schwingungen aus. Da der Anstieg der abstoßenden Kräfte steiler ist als derjenige der anziehenden Kräfte, ist der Mittelwert der Positionen des Atomes grösser als es dem Gleichgewichtszustand entsprechen würde: $r_0' > r_0$. Das heisst, das Material dehnt sich aus bei Erhöhung der Temperatur.

1.5. Wärmeausdehnung
Das Volumen fester Stoffe nimmt im allgemeinen mit zunehmender Temperatur zu. Die Wärmeausdehnung ist ebenfalls mit den thermischen Gitterschwingungen verbunden.
Die temperaturabhängige Längenzunahme wird durch die lineare Beziehung:

$$\Delta l = \alpha l_0 \Delta T \quad \alpha \left[\frac{m \cdot 10^{-6}}{m \cdot K} \right], \text{ (linear Ausdehnungskoeffizient, } l_0 \text{ Ausgangslänge, } \Delta T \text{ Temperaturdifferenz)}$$

beschreiben.

Das Wert von α nimmt mit steigender Temperatur zu, so dass die lineare Beziehungen nur in einem kleineren Temperaturbereich angewandt werden darf.
Als allgemeine Regel gilt, dass der Wert von α umso grösser ist, je niedriger die Schmelztemperatur eines Werkstoffes ist.

1.6. Wärmeleitung

Die Wärmeleitung wird definiert als der Transport von wärme in einem Festkörper aufgrund eines Temperaturgradient, wobei die Energie von Elektronen, Phononen und anderen Quasiteilchen getragen wird.
Die Wärmemenge Q, die pro Zeiteinheit durch eine Kontrollfläche hindurchtritt wird **Wärmestrom \dot{Q}** genannt:

$$\dot{Q} = \frac{dQ}{dt}$$

Auch die Weiterleitung von Wärme ist an die Atome im Gitter gebunden. Die **Wärmestromdichte \dot{q}** als Wärmestrom pro Flächeneinheit der Kontrollfläche A: $\dot{q} = \frac{d\dot{Q}}{dA}$ $[\dot{q}] = \frac{W}{m^2}$

Die Wärmeleitung erfolgt immer so, dass Wärme von Orten höherer Temperatur zu Orten niedrigerer Temperatur fliesst. Der auf die Wärmestromdichte wirkende Antrieb ist daher die Temperaturänderung pro Abstand, der Temperaturgradient:

$$\frac{dT}{dx}$$

Fourniersches Wärmeleitungsge setz

$$\dot{q} = -\lambda \frac{dT}{dx} = -\lambda \frac{\Delta T}{\Delta x} \quad [\lambda] = \frac{W}{mK} \Rightarrow \dot{Q} = \dot{q} \cdot A = -\lambda \frac{\Delta T}{\Delta x} \cdot A$$

Instationäre Wärmeleitungsgleichung

$$\frac{\partial T}{\partial t} = \frac{\lambda}{\rho C_v} \cdot \frac{\partial^2 T}{\partial x^2} \quad a = \frac{\lambda}{\rho C_v}, \text{ a .. Temperaturleitfähigkeit}$$

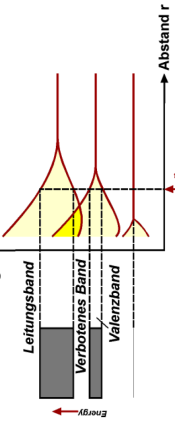
λ_a ist dabei der Anteil der Wärmeleitfähigkeit aus der Phononenleitung, λ_e der Anteil aus der Elektronenleitung

Bei $T = 0$ K sind im Kristall alle Energiezustände gemäss dem **Pauli-Prinzip** mit Elektronen besetzt. Das heisst, bei dieser Temperatur haben die Elektronen eine von Null verschiedene Energie. Das höchste Energieniveau, das bei $T = 0$ K von Elektronen besetzt wird, bezeichnet man als Fermi-Grenzenergie, das Fermi-Niveau oder die Fermi-Kante E_F .

2. Bändermodell

2.2.1. Anordnung von Energieniveaus

In einem Festkörper liegen an Stelle von diskreten Energieniveaus Leitungsverhältnisse werden zweckmässigerweise nur drei Energiebänder verwendet:
1. Grundband oder Valenzband (als letztes mit Elektronen besetztes Band
2. Verbotenes Band
3. Leitungsband



2.2.2. Bandstruktur von Natrium (Elektronenstruktur $1s^2 2s^2 2p^6 3s^1$)

Die 3s-Niveaus bilden das **Valenzband**, die leeren 3p-Niveaus das **Leitungsband**.

2.2.3. Bandstruktur von Magnesium ($1s^2 2s^2 2p^6 3s^2$)

Magnesium und andere Metalle der Gruppe IIA des Periodensystems haben 2 Elektronen im äusseren s-Band. Die hohe Leitfähigkeit dieser Metalle röhrt daher, dass sich p- und s-Band überlappen, und dass halb den Elektronen der äusseren s- und p-Bänder an ihre Atome. Die kovalente Bindung führt zu einer als Hybridisierung bezeichneten Veränderung der Bandstruktur. Hierunter versteht man die Bindung zweier durch eine verbotene Zone getrennten 3s-3p-Banden zur Verfügung stehen. Auch in Aluminium und anderen Metallen der Gruppe IIA überlappen sich in analoger Weise die 3s- und 3p-Bänder und bewirken gutes elektrisches Leitvermögen.

2.2.4. Bandstrukturen von Halbleitern und Isolatoren

Hohe Leitvermögen wegen des nur teilweise gefüllten p-Bandes wird aber nicht beobachtet. Der Grund ist die kovalente Bindung dieser Elemente und die dadurch bedingte starke Fixierung der Elektronen der äusseren s- und p-Bänder an ihre Atome. Die kovalente Bindung führt zu einer als Hybridisierung bezeichneten Veränderung der Bandstruktur. Hierunter versteht man die Bindung zweier durch eine verbotene Zone getrennten 3s-3p-Banden zur Verfügung stehen. Auch in Aluminium und anderen Metallen zusammen bieten Platz für 8 Elektronen pro Atom (z. B. C-Atome im Diamantgitter), vorhanden sind aber nur 4. Diese besetzen das untere der beiden Hybridbänder (das Valenzband) und füllen es vollständig auf. Das obere Hybridband (das Leitungsband) bleibt dagegen leer.

2. Elektrische Eigenschaften

2.1. Klassische Elektronentheorie

In dieser Theorie besteht das Metallgitter aus ionisierten Atomräumen zwischen denen sich freie Elektronen wie die Teilchen eines Gases bewegen. Da sie den Transport des elektrischen Stromes besorgen, heissen sie **Leitungselektronen** und bilden das **Elektronengas**.
Jedes Atom ein Elektron an das Gas abgibt, so erhält man die Anzahl der Elektronen je Volumeneinheit, d.h. die **Elektronendichte** n_e .

Mittlere thermische Geschwindigkeit: **111,3 km/s**

Wenn man eine elektrische Spannung anlegt, bleiben die zur Feldrichtung **E** senkrechten Komponenten einen entsprechenden Zuwachs erfahren. Die elektrische Leitung in Metallen wird beherrscht vom **Ohmschen Gesetz**: bei konstanter Temperatur stellt sich in einem elektrischen Feld E ein stationärer Zustand ein, der durch die Stromdichte $j = (\chi)E$ $j = v \cdot q_e n_e$. J ist der Feldstärke; q_e =e die Ladung der Elektronen.

Wiedemann-Franz'sche Regel

Das Verhältnis aus dem **Wärmeleitvermögen** und der **elektrischen Leitfähigkeit** der Metalle ist der absoluten Temperatur proportional

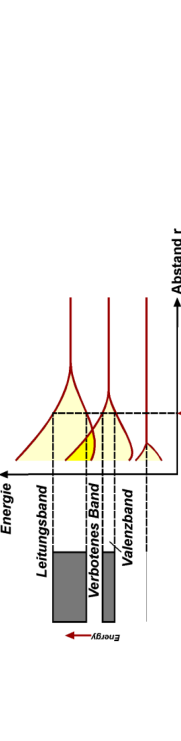
$$\frac{\lambda}{\chi} = L T \quad L \dots \text{Lorentzsche Zahl}$$

2.2. Bändermodel

2.2.1. Anordnung von Energieniveaus

In einem Festkörper liegen an Stelle von diskreten Energieniveaus Leitungsverhältnisse werden zweckmässigerweise nur drei Energiebänder vor. Zur Darstellung der Leitungsverhältnisse werden:

- Grundband oder Valenzband (als letztes mit Elektronen besetztes Band)
- Verbotenes Band
- Leitungsband



2.2.2. Bandstruktur von Natrium (Elektronenstruktur $1s^2 2s^2 2p^6 3s^1$)

Die 3s-Niveaus bilden das **Valenzband**, die leeren 3p-Niveaus das **Leitungsband**.

2.2.3. Bandstruktur von Magnesium ($1s^2 2s^2 2p^6 3s^2$)

Magnesium und andere Metalle der Gruppe IIA des Periodensystems haben 2 Elektronen im äusseren s-Band. Die hohe Leitfähigkeit dieser Metalle röhrt daher, dass sich p- und s-Band überlappen, und dass halb den Elektronen der äusseren s- und p-Bänder an ihre Atome. Die kovalente Bindung führt zu einer als Hybridisierung bezeichneten Veränderung der Bandstruktur. Hierunter versteht man die Bindung zweier durch eine verbotene Zone getrennten 3s-3p-Banden zur Verfügung stehen. Auch in Aluminium und anderen Metallen zusammen bieten Platz für 8 Elektronen pro Atom (z. B. C-Atome im Diamantgitter), vorhanden sind aber nur 4. Diese besetzen das untere der beiden Hybridbänder (das Valenzband) und füllen es vollständig auf. Das obere Hybridband (das Leitungsband) bleibt dagegen leer.

2.2.5. Eigenhalbleiter

Reines Silizium und Germanium sind Eigenhalbleiter. Ihre Energiefüllücke E_g zwischen Valenz- und Leitungsband ist schmal, so dass unter Normalbedingungen stets einige Elektronen genügend thermische Energie besitzen, um in das Leitungsband zu gelangen. Diese angeregten Elektronen hinterlassen im Valenzband unbesetzte Energieniveaus oder Löcher. Ein Elektron des Valenzbandes kann in ein solches Loch überwechseln, an seiner ursprünglichen Position bleibt dabei aber ein neues Loch zurück. Die Wirkung ist so, als sei ein Loch entgegengesetzt zur Bewegungsrichtung des Elektrons gewandert. Die Löcher verhalten sich wie positiv geladene Elektronen und tragen in entsprechender Weise zum Ladungstransport bei. Ein anliegendes elektrisches Feld beschleunigt die Elektronen des Leitungsbandes zur positiven, die Löcher des Valenzbandes zur negativen Seite hin (Fig. 18.8). Am Strom sind demnach sowohl Elektronen wie Löcher beteiligt.

Supraleitung

Unter Supraleitung versteht man das plötzliche Verschwinden des elektrischen Widerstandes bei sehr tiefen Temperaturen (T_c = Sprungtemperatur).

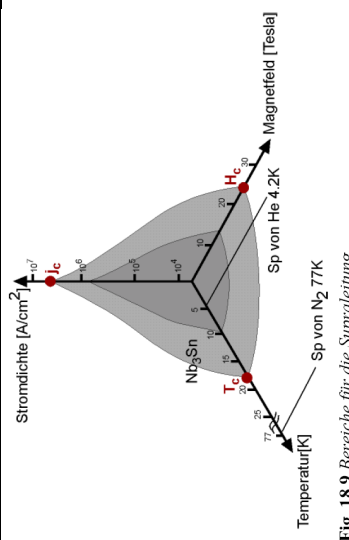


Fig. 18.9 Bereiche für die Supraleitung

2.2.6. Erhöhung der Elektrischen Leitung

Bei **Mischkristallhartung** sind Legierungsatome im Grundgitter eingelagert. Diese setzen die elektrische Leitfähigkeit herab. Mischkristallhartung ist für Leiter ungeeignet. Besser wäre Teilchenhartung mit einem Legierungselement, welches im Grundgitter möglichst nicht löslich ist.

2.3. Elektrische Strom und Spannung

Ohmsche Gesetz

Das Ohmsche Gesetz beschreibt den Zusammenhang zwischen der Spannung und dem fliessenden Strom I:

$$U = R \cdot I$$

Widerstand R und Elektrischer Felder

Der Widerstand R des Leiters ist abhängig von Material und Geometrie. Proportional zu der Leitfähigkeit L und zum spezifischen Widerstand ρ, umgekehrt proportional zu der Querschnittsfläche A:

$$R = \frac{\rho \cdot L}{A} \quad j = \chi \cdot E \quad \chi = \frac{1}{\rho} \quad E = \frac{dU}{dl} \quad j = \frac{I}{A}$$

Mit der Stromdichte j, der spezifischen elektrischen Leitfähigkeit χ, der elektrischen Feldstärke E.

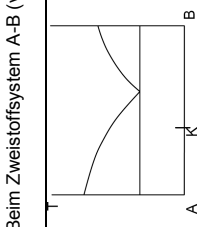
2.4. Elektrische Leistung

$$P = U \cdot I$$

Momentanwerte oder Gleichstrom-/Spannungswerte oder Effektivwerte (Phasenverschiebung=0)

2.5. Widerstand eines Kristallgemisches

Beim Zweistoffsysteem A-B (vgl. Abb.) besteht im festen Zustand keine Löslichkeit der Komponenten A und B ineinander:



3. Magnetische Eigenschaften

3.1. Grundeigenschaften und Größen

Alle in Bewegung befindlichen elektrischen Ladungen rufen in ihrer Umgebung magnetische Felder hervor. Zwischen dem Feldstärke \underline{H} und der Induktion \underline{B} besteht im Vakuum die Beziehung

$$\underline{B} = \mu_0 \underline{H}$$

\underline{B} , mit der magnetischen Feldkonstanten

$$\underline{B} = \mu_0 \mu_r \underline{H}$$

wobei die **Permeabilitätszahl** $\mu_r > 1$ oder $\mu < 1$ sein kann. Man kann diese Gleichung in eine andere Form schreiben:

$$\underline{B} = \mu_0 (\underline{H} + \underline{M})$$

wobei die Magnetisierung M den Anteil an der Feldstärke bedeutet.
Also man kann schreiben:

$$\underline{M} = \underline{H}(\mu_r - 1) \quad \text{und damit die magnetische Suszeptibilität } \chi = \mu_r - 1$$

Spule (Bobina)

$$H = \frac{N \cdot I}{L} \quad H: \text{Magnetische Feldstärke}; N: \text{Windungszahl}; I: \text{Stromstärke}; L: \text{Spulenlänge}$$

Kraftwirkung

$$dF = I \cdot (d\underline{x} \times \underline{B}), \text{ Betrag: } F = I \cdot \Delta r \cdot B:$$

Drei Arten von Stoffen:

-**Diamagnetische** Stoffe ($\chi < 0$) werden von Magnetfeldern abgestossen. Die Dichte der Feldlinien ist in ihrem Innern kleiner als im freien Raum, z.B. Cu, Pb.

-**Paramagnetische** Stoffe ($\chi > 0$) werden von äusseren Magnetfeldern angezogen; die Dichte im Innern ist grösser als im freien Raum, z.B. Al, Cr, Mn.

-**Ferromagnetische** (Kann auch bei verschiedenen Metallen (z.B. Fe, Ni, Co), Metallverbindungen und Sinterwerkstoffen (z.B. Haftmagnete) auftreten). Stoffe ($\chi >> 0$) können selbst starke Magnetfelder hervorrufen und finden als Elektronenmagnete oder als permanente Magnete technische Anwendung, z.B. Fe, Co, Ni, Nd sowie viele Legierungen. Wie der Ferromagnetismus zustande kommt: Die einzelnen magnetischen Momente der Atome richten sich innerhalb bestimmter Gebiete (Domänen) in die gleiche Richtung aus.

3.2. Der atomare Ursprung des Magnetismus

Die Bahn- und die Spinführung der Elektronen haben ein magnetisches Moment \underline{m} zur Folge. Für einen einfachen Kreisstrom ist es als Produkt aus der Stromstärke J und der umlaufenden Fläche A definiert:

$$\underline{m} = J \cdot \underline{A}$$

Die von Spin herrührenden Momente verhalten sich wie kleine permanente Magnete, für die es energetisch am günstigsten ist, sich parallel zum äusseren Feld einzustellen.

3.3. Strukturller Magnetismus

Hund'sche Regel
Eine Reihe von Stoffen weisen auch ohne äusserne Magnetfelder eine spontane Magnetisierung auf. Ihre Spins sind innerhalb grösserer Bereiche von Natur aus gesetzmässig geordnet.

Austauschenergie
In den Metallen der Eisengruppe ist es das Niveau 3d mit maximal 10 Elektronen, bei den seltenen Erden das Niveau 4f, das mit 14 Elektronen besetzt werden kann. Für die Besetzung gilt die **Hund'sche Regel**: Zuerst werden ausschliesslich Elektronen einer Spinrichtung heraus um den Winkel α zu verdrehen:

$$V = C(1 - \cos \alpha)$$

(C ist proportional zum Austauschintegral A, dessen Beitrag von den Abständen der Atomkerne (Gitterkonstante a) und der in-

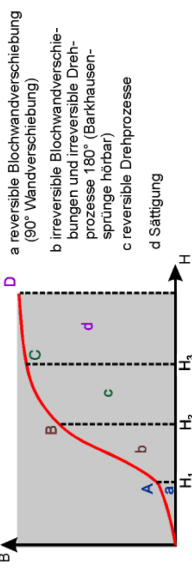
Kap. 21 Polymere – Struktur

Curietemperatur (T_c): für Stahl: $T_c = 768^\circ$
Wärmebewegung: Ordnungszustand entgegengewirkt. Oberhalb von T_c ist nur noch Paramagnetismus möglich (keine Ferromag.; d.h. Der Ferromagnetismus geht in den Paramagnetismus über)

3.3.1. Magnetisierungssprozess

Neukurve

Ferromagnetikum in einem Magnetfeld: Mit zunehmender Feldstärke erfolgt ein Ausrichten sämtlicher Elementarmagnete in Richtung des äusseren Feldes. Bei kleinen Feldstärken (a) finden 90° -Wandverschiebungen statt. Die Elementarmagnete **2** und **4** drehen sich in die zur Richtung des äusseren Feldes günstigere Lage des Elementarmagneten **1**. Im Bereich (b) erfolgen dann 180° -Wandverschiebungen, so dass am Ende des Bereiches (b) alle Elementarmagnete die zum äusseren Feld günstigere Lage 1 eingenommen haben. Bei Steigerung der Feldstärke finden im Bereich (c) Drehprozesse statt. Die Elementarmagnete werden in Richtung des äusseren Feldes gedreht. **D** a reversible Blochwandverschiebung (90° Wandverschiebung), b irreversible Blochwandverschiebungen und irreversiblen Drehprozesse 180° (Barkhausen-Sprung horbar), c reversible Drehprozesse d Sättigung



Hysteresis, Ursache beim Magnetisierungsprozess
Die Ausrichtung einzelner Domänen wird bei starker Magnetisierung irreversibel um 180° gedreht. Ebenfalls finden irreversible Blochwandverschiebungen statt. Diese Prozesse können erst rückgängig gemacht werden, wenn ein genugend großes Gegenfeld angelegt wird.

Hysteresisschleife
Die Summe aller Vorgänge beim wiederholten Magnetisieren und Entmagnetisieren einer Probe wird durch die Hysteresisschleife veranschaulicht.

Magnetisch weiche Werkstoffe haben kleine Hysterese, **magnetisch harte** grosse Grenzschiele

Bringt man von der Sättigung der Probe aus die Feldstärke zum Verschwinden, so erniedrigt sich der **B**-Wert langsam

Remanenz (B_r)
Höhe der zurückbleibenden Induktion bei $H = 0$



Koerzitivfeldstärke (H_c)
Feldstärke bei $\mathbf{B} = 0$. Die Bereiche **b**, **c** und **d** sind in der remanzschleife vorhanden. Nicht vorhanden ist **a**.

3.3.2. Magnetostriktion

Wird ein ferromagnetisches Material spontan magnetisiert, so treten oleine Längenänderungen auf. Diese Erscheinung bezeichnet man als Magnetostriktion. Der Effekt ist dicht unterhalb der Curie-Temperatur am größten.

1. Definition und chemischer Aufbau

Polymer sind Materialien, deren wesentliche Bestandteile aus makromolekularen Verbindungen bestehen, die synthetisch oder durch Umwandlung von Naturprodukten entstehen.

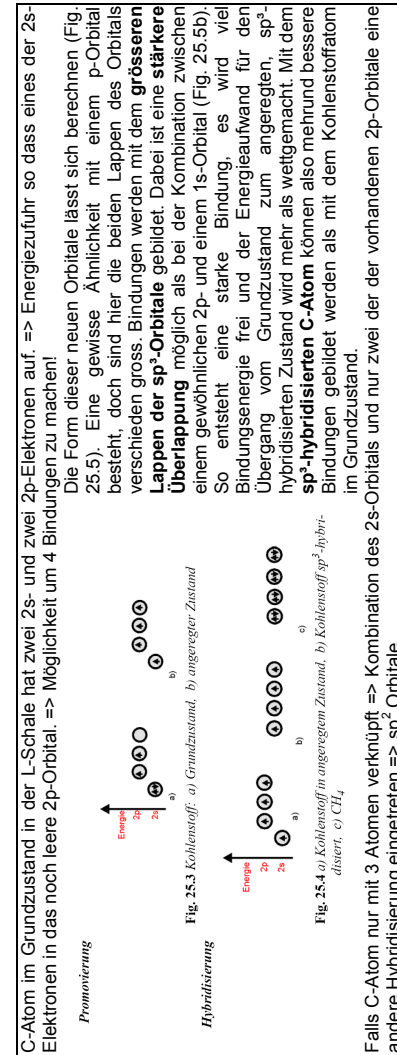
1.1. Ungesättigte Bindungen oder Kohlenstoff – Bindungen, Polymerisation

Der Kohlenstoff kann nicht nur in einer Einfachbindung mit anderen Kohlenstoffatomen verbunden sein, vielmehr sind auch Doppel- und Dreifachbindungen möglich.

Eine Doppelbindung unter Abgabe von Energie in die energetisch stabilere Einfachbindung überführt werden kann.

Durch Aufspalten solcher Mehrfachbindungen in den Molekülen der Monomeren verknüpfen sich diese zu Kettenmolekülen. Es kommt zur Polymerisation.

Die polymere basieren mit wenigen Ausnahmen auf der Fähigkeit des C-Atoms zu Atombindungen. Die äussere, mit 4 Elektronen besetzte Schale des C-Atoms füllt sich auf die Edelgaskonfiguration mit 8 Elektronen auf. Aus Symmetriegründen ergibt sich zwischen den miteinander verbundenen Kohlenstoffatomen ein Valenzwinkel von $\sim 109^\circ$. Das Methanmolekül hat die Gestalt eines Tetraeders (Fig. 25.2). Die kovalente Bindung erlaubt auch die Auffüllung der Schale mit äusseren Elektronen verschiedener Atome, woraus sich die Kettenbildungsfähigkeit der Kohlenstoffatome ableitet. Auf diesen Ketten mit einem Rückgrat aus Kohlenstoff oder Kohlenstoff und anderen Atomen beruhen alle organischen Werkstoffe und die Kunststoffe. Aber auch diese Ketten sind keineswegs lineare gestreckte Gebilde, wie es sich aus dem Valenzwinkel ergibt.



Falls C-Atom nur mit 3 Atomen verknüpft \Rightarrow Kombination des 2s-Orbitals und nur zwei der vorhandenen 2p-Orbitale eine andere Hybridisierung eingetreten $\Rightarrow sp^2$ Orbitale

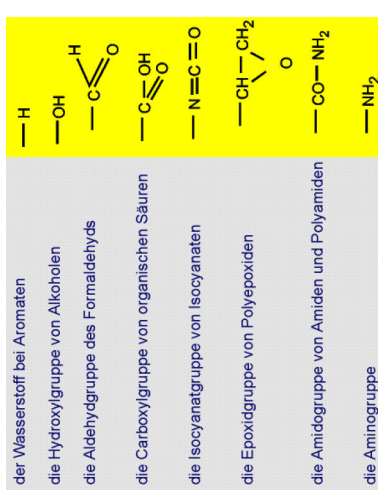
σ -Bindungen

Die drei sp^2 -Orbitale liegen in einer Ebene, wobei die Achsen der Orbitale Winkel von 120° einschliessen. Das übriggebliebene p-Orbital steht senkrecht auf dieser Ebene. Im Ethylenmolekül $H_2C=CH_2$ braucht jedes der beteiligten C-Atome eines der sp^2 -Orbitale von Wasserstoffatomen die eine über und die andere unter der aus den C- und H-Atomen gebildeten Molekülebene liegt. Eine solche, durch seitliche Überlappung von p-Orbitalen entstandene Bindung, wird als - Bindung bezeichnet. Der Überlappungsgrad zwischen den Orbitale ist dabei geringer als bei der C-C-Bindung. Deshalb ist eine -Bindung weniger stabil und reaktionstüchtiger als eine -Bindung.

1.2. Monomere mit reaktionsfähigen Endgruppen, Polyaddition und Polykondensation

Moleküle (R), die zwei reaktionsfähige Endgruppen besitzen (Bifunktionell), können mit anderen Molekülen (R'), die ebenfalls zwei andere, mit den ersten reaktionsfähige Endgruppen besitzen, reagieren.

Reaktionsfähige Endgruppen

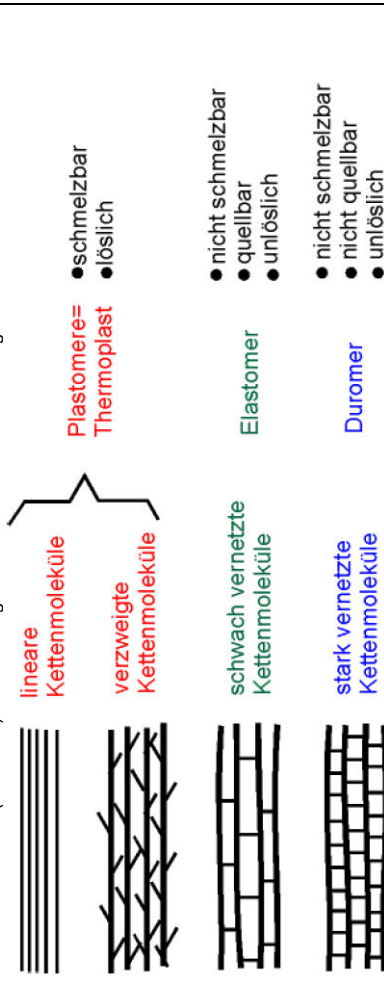


1.6. Copolymerisate und Mischpolymerisate

Durch rein mechanische Mischungen von Polymerisaten entstehen sogenannte Mischpolymerisate (=> Polyblends), deren Eigenschaften sich als Kombination der einzelnen Ausgangsstoffe ergeben. Lässt man hingegen zwei oder mehr verschiedene Monomere miteinander polymerisieren, so erhält man Copolymerisate mit z. T. ganz "neuartiger" Eigenschaften

2. Gestalt der Makromoleküle von Polymeren

Bedingt durch das chemische und technische Herstellungsverfahren und die Monomerart liegen die Makromoleküle in verschiedenen Baustrukturen (Gestalten) vor. Viele Eigenschaften der Kunststoffe hängen direkt davon ab.



3. Grösse der Makromoleküle von Polymeren

Die Grösse der Makromoleküle ergibt sich aus der Zahl ihrer Monomereinheiten. In einem Kunststoff findet sich immer ein Gemisch von verschiedenen langen Makromolekülen. Dementsprechend kann nur ein mittlerer Wert und eine Verteilung für die Molekulargewicht und das Molekulargewicht angegeben werden. Bei linearen und verzweigten Kunststoffen liegt das Molekulargewicht i. a. zwischen 8'000 und 300'000, bei hochmolekularen Kunststoffen kann es eine Grossenordnung von 10⁶ erreichen!

1.4. Polykondensation

Definition

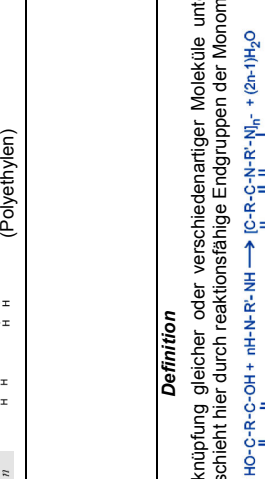
Unter Polymerisation versteht man die chemische Verknüpfung von gleichen niedermolekularen Ausgangsmolekülen (Monomeren), die Doppelbindungen enthalten, zu Makromolekülen (Polymere), mit derselben elementaranalytischen Zusammensetzung. Der Zusammenschluss zu Ketten erfolgt durch Öffnender Doppelbindung.



1.3. Polymerisation

Definition

Unter Polymerisation versteht man die Verknüpfung gleicher oder verschiedenartiger Moleküle unter Abspaltung eines niedermolekularen Stoffes. Die Verknüpfung geschieht hier durch reaktionstähige Endgruppen der Monomere.



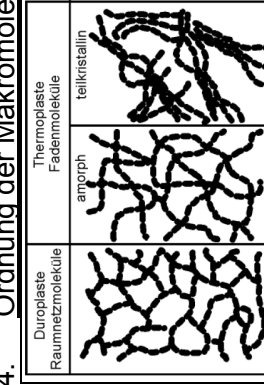
1.5. Polyaddition

Definition

Unter Polyaddition versteht man die Verknüpfung gleicher oder verschiedenartiger Moleküle ohne Abspaltung eines Stoffes. Die Verknüpfung erfolgt durch eine intramolekulare Umlagerung. Wasserstoffatome, die sich relativ leicht aus dem funktionellen OH, NH₂- oder COOH-Gruppen lösen lassen, werden von einem Molekül zum anderen verschoben.



4. Ordnung der Makromoleküle



4.1. Glasartige amorphe Strukturen

Amorphe Substanzen sind als unteilküte Flüssigkeiten zu betrachten. Die Makromoleküle liegen in amorphen Kunststoffen mehr oder weniger ungeordnet vor. Der Zustand ist gekennzeichnet durch das Fehlen einer Fernordnung. Bei Kunststoffen im zähen Zustand orientieren sich die Makromoleküle unter Belastung zunehmend und ermöglichen so z. T. erhebliche Dehnungen bis zum Bruch.

4.2. Voraussetzungen für die Kristallbarkeit

Einschränkung der Beweglichkeit: -lange Seitenketten
-ungleichmässige Verteilung der Substituenten (Taktizität)
-ungleichmässige Substituenten (z. B. Benzolringe)

4.3. Teilkristalline Strukturen

Im kristallinen Zustand befinden sich die Atome der parallel gelagerten Molekülketten streckenweise in volliger Ordnung. Die strukturellen Einheiten (Monomereinheiten) besetzen die Gitterpunkte eines Kristallgitters, wobei kubische Gitter selten auftretende Gittertypen sind. Es kann auch 2 oder mehrere verschiedene Gittertypen auftreten. Die Makromoleküle können nicht in ihrer ganzen Länge in das Gitter eingebaut werden, es bilden sich kleine kristalline Gebiete, sogenannte Kristalle, die in eine amorphe Struktur eingebettet sind.

Per otteneure struttura del cristallino bisogna avere molecole abbastanza mobili il più possibile regolari. Ciò può essere impedito dalla presenza di catene secondarie, grosse sostituenti, e UNregolarità.

4.4. In Teilkristallinen (partiell kristallinen) Kunststoffen sind folgende Kristallformen möglich:

4.4.1. Fibrillen (=Frasenmizellen)

Fibrillen sind Kristalle. Die Makromoleküle hängen fransenartig aus den Kristalliten heraus und werden teilweise in weiteren benachbarten Kristalliten eingebaut. Die Fibrillen liegen im allgemeinen ungeordnet vor.

4.4.2. Lamellen

In der lamellaren Struktur werden die Makromoleküle durch Kettenrückfallung mehrmals in den gleichen Kristallit eingebaut. Es können mehrere Lamellen parallel nebeneinander liegen.

4.4.3. Sphärolite

Sphärolithe sind kugelförmige Überstrukturen, in denen die Kettenmoleküle tangential angeordnet sind. Als Ganzes bilden sie lamellenartige Mizellformationen, welche sich mehr oder weniger symmetrisch um einen Kristallisationskeim lagern.

4.5. Bindungs Kräfte der Makromoleküle

Der Zusammenhalt der Kunststoffe ist durch die Größe der Anziehungskräfte nebeneinanderliegender Moleküle gegeben (**Nebenvallenzkräfte, Sekundärbindungs Kräfte**). Die Stärke aller Sekundärbindungen und damit die Festigkeit eines Kunststoffes ist abhängig von:

- "inneren" Einflüssen: Grösse, Gestalt, Ordnung der Moleküle, Fremdmolekülen
- "äußeren" Einflüssen: Energie in Form von Licht (Bestrahlung), Temperatur

Durch unterschiedliche Molekülgrossen und wechselnden Orientationsgrad sind die Sekundärbindungs Kräfte im weiteren nicht genau definiert. Ein Umwandlungspunkt von fester zu flüssiger Phase tritt demgemäss nicht auf, dafür aber ein Erweichungsbereich.

4.6. Physikalische sind folgende Nebenvallenzkräfte möglich:

4.6.1. Dispersionskräfte (Vand-Waals-Kräfte)

Dispersionskräfte wirken allgemein in der Materie. Sie sind umso höher, je näher die Moleküle zueinander liegen und sind damit besonders gross in den kristallinen Bereichen. Mit zunehmender Temperatur sinkt die Bindungsstärke durch die zunehmende Wärmebewegung.

4.6.2. Dipolkräfte

Wenn in einer Substanz polare Gruppen vorhanden sind, so kommt es zu einer Anziehung von benachbarten polaren Kettenmolekülen. Die Dipolkräfte sind weniger temperaturabhängig und sie wirken über grössere Distanzen wie die Dispersionskräfte.

4.6.3. Wasserstoffbrücken

Die sehr starken Anziehungskräfte, die sich durch Wasserstoffbrücken ergeben, entstehen durch die hohe Affinität benachbarter Sauerstoff- und Wasserstoffmoleküle aus verschiedenen Molekülketten. Die Brücken lösen sich erst bei hoher Belastung, bauen sich jedoch sofort wieder kettenartig nach einer Verschleppung auf. Polyamide verdanken dieser Art Nebenvallenzkräften ihre besonderen mechanischen Eigenschaften. Die Temperaturabhängigkeit ist hier recht gering.

4.6.4. Ionenzündungskräfte

Durch Copolymerisation können Polymere mit vor allem Zn^{++} und Cd^{++} - Ionen aufgebaut werden. Die entstehenden Bindungen sind bei Raumtemperatur sehr fest, lösen sich aber bei hohen Temperaturen auf, so dass eine einfache Verarbeitung möglich ist. Die Bindung wirkt ähnlich wie die Wasserstoffbrücken.

4.7. Einteilungsmöglichkeiten

Einteilung nach Bildungsart:	Einteilung nach Verarbeitungsart der Rohprodukte:	
-Polymerisation	-Thermoplaste: Kettenmoleküle	-Vulkanisierbare Massen
-Polykondensation	-Elastomere: weithäusige Netzmoleküle	-Faserstoffe
-Polyaddition	-Duromere: engmaschige Netzmoleküle	-Schaumstoffe
-Abwandlung von Naturprodukten	-Lack- & Klebstoffe	

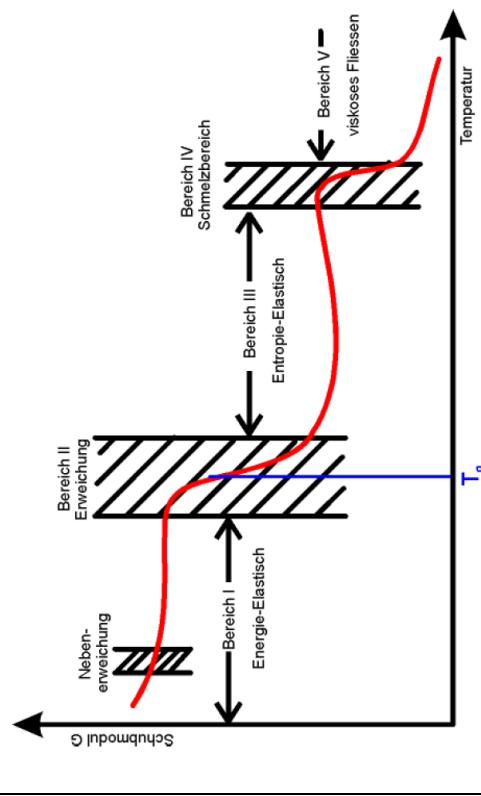
Kap. 22 Polymere – Klassifizierung und Zustände der Polymere

1. Klassifizierung nach physikalischen Eigenschaften

Eine praxisgerechte Klassifizierung der Kunststoffe sollte das breite Spektrum ihrer Gebrauchseigenschaften möglichst mit Hilfe nur einer **Messgröße** erfassen, deren Abhängigkeit von einer besonders wichtigen Einflussgröße durch eine einzige charakteristische Kurve wiedergegeben werden kann. Die Messgröße "**Schubmodul**" wird in Abhängigkeit der Temperatur dargestellt (Thermomechanische Kurven).

2. Polymerzustände

Die Veränderung der Struktur und der Eigenschaften erfolgt nicht kontinuierlich, sondern in Bereichen. In Fig. 26.1 ist schematisch der thermomechanische Zusammenhang am Beispiel des Schubmodulus dargestellt, wie er für alle Kunststoffe charakteristisch ist.



2.1. Energiediastischer Zustand (oft auch Hartelastischer Bereich)

Die elastische Verformung bei makromolekularen Werkstoffen ist gekennzeichnet durch reversible Änderungen der Atomabstände und der Valenzwinkel der chemischen Bindungen. Finden diese Prozesse zeitabhängig statt, so ist die Verformung viskoelastisch. Kunststoffe in diesem Zustand sind prinzipiell hart und Spröde. Teilstarre Thermoplasten Zähig. Kristalline Gebiete hohe Festigkeit. Charakteristische Schubmodulwerte: $\approx 10^2 - 10^4 \text{ N/mm}^2$.

2.2. Erweichungszustand (auch Einflerbereich oder Glasübergangsbereich)

Die zwischenmolekularen Kräfte in den amorphen Bereichen werden zusehends durch Wärmebewegung überwunden, die Makromoleküle werden beweglich. Die Erweichung erfolgt jedoch nicht sprunghaft sondern nach und nach in einem Temperaturintervall von ca. 5 - 50°. Der extrapolierte Knickpunkt der Volumen-Temperaturkurve, resp. Der Kurve der spezifischen Wärme mit der Temperatur heißt Glasübergangstemperatur (T_g). Daher weisen eng vernetzte Duromere eine höhere Erweichungstemperatur auf als weitvernetzte. Es besteht daher für die kristallinen Bereiche bis zum Aufschmelzen eine reine Elastizität ohne Übergang und entropielastischen Bereich. Ein Erweichungsbereich gibt es also nur für amorphe Phasen. Bei hochkristallinen Thermoplasten ist der Erweichungsbereich und damit der entropielastische Bereich praktisch nicht zu erkennen.

2.3. Entropielastischer Zustand (auch gummi- oder weichelastischer Bereich)

Die Kettensegmente befinden sich wegen der Wärmebewegung im Zustand der grössten Unordnung (= Zustand grösster Entropie). Unter äusserer Krafteinwirkung werden die Kettenanteile orientiert, d. h. geordnet, die Entropie nimmt ab. Unter Zug z. B. weichen die Segmente dem äusseren Zwang aus, indem sie sich strecken. Mit Nachlassen der äusseren Kraft streben die Kettenanteile wieder den Zustand grösstmöglicher Unordnung an, wodurch die ursprüngliche Gestalt erneut eingenommen wird. Man spricht in diesem Zusammenhang von entropielastischer Rückstellung. Das Verhalten wird auch oft mit gummielastischen umschrieben.

Es ergeben sich nun folgende Voraussetzungen, die ein guter Gummikörper mit grosser reversibler Dehnung erfüllen muss:

- Weitmaschige Vernetzung gegen Fliesen
- Schwache Sekundärbindungen für genügende Kettenbeweglichkeit
- reversible Kristallisation zur Verfestigung
- ideale „Gummikörper“ sind demnach die Elastomere

2.4. Thermorückfederung, Memory-Effekt

Wird ein Thermoplast im Temperaturbereich des weichelastischen Zustandes verformt, so werde die gekrümmten Kettenmoleküle durch die äußere Kraft gestreckt. Friert man den Körper in diesem deformierten Zustand ein, so stellt sich bei Wiederwärmung eine "Ruckerrinnerung" der Moleküle an ihre alte (gekrümmte) Lage ein.

2.5. Fließbereich

Oberhalb des entropie- oder gummielastischen Bereiches beginnt bei Thermoplasten der Übergang in den "plastischen" Zustand der Schmelze (=Fließbereich).
Die im entropielastischen Bereich vorhandenen Verschlaufungen und Nahordnungen in amorphen Phasen werden allmählich gelöst, die einzelnen Ketten können voneinander abgleiten. (Physikalischen Bindungen überwunden). Die kristallinen Phasen besitzen einen engen Schmelzbereich

2.6. Plastischer Zustand

Der plastische Zustand tritt nur auf, falls die Makromoleküle mehr oder weniger frei gegeneinander verschiebbar sind (Fig. 26.5). Bei stark kristallinen Kunststoffen ist dieser Zustand erst kurz vor der Zersetzung, bei vernetzten überhaupt nicht vorhanden. Hier tritt die Zersetzung des Netzwerkes sofort ein. (Unterschied Plastisch – Visko: Visko: wie lastisch aber zeitabhängig)

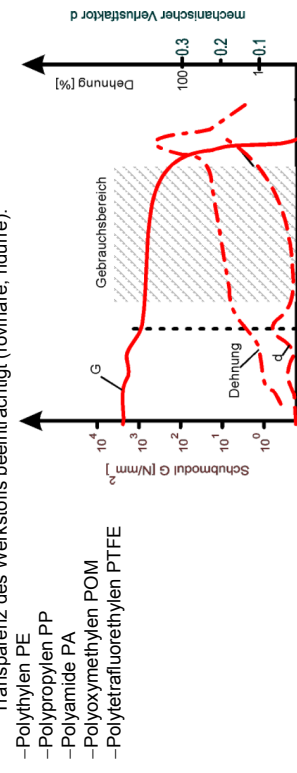
2.7. Thermisch-mechanisches Verhalten verschiedener Kunststoffe

2.7.2. Teilkristalline Thermoplaste

Gebrauchsgebiet: Entropielastischer Bereich
Anwendungsgebiet: Wenn elastisch-biegbares Verhalten gefordert wird.
Teilkristalline Thermoplaste werden oberhalb der Glastemperatur verwendet weil: ist der nicht kristalline Anteil oberhalb T_g flexibel und zäh, wird aber von den Kristalliten zusammen gehalten. Würde man die Kristallite in einer glasartigen Matrix verwenden (unterhalb T_g), würde ein sehr sprödes Material resultieren.

Höhe Zähigkeit kann man nur durch die beweglichen Kettensegmente teilkristalliner Thermoplaste erreichen.

Die periodischen Strukturen in teilkristallinen Thermoplasten können Licht streuen, was die Transparenz des Werkstoffs beeinträchtigt (rovinare, ridure).



2.7.1. Amorphe Thermoplaste

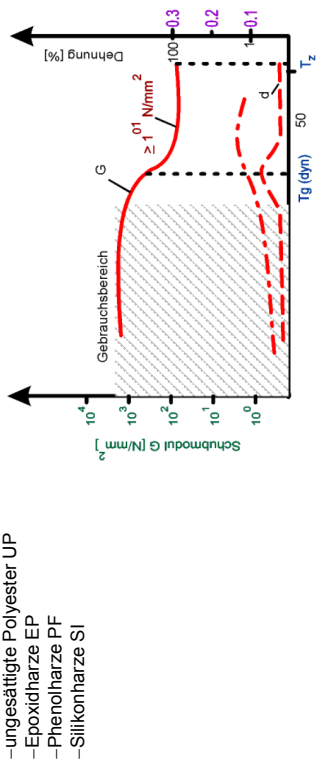
G-Modul: $10^2 - 10^4$ MPa

Anwendungsgebiet: Wenn bestimmte Festigkeits- und Steifigkeitsanforderungen erfüllt werden müssen.
Amorphe Thermoplaste werden unterhalb der Glastemperatur verwendet weil: da die beweglichen Ketten oberhalb T_g ein zerfließendes Material zur Folge hätten.

Amorphe Thermoplaste, die unterhalb T_g verwendet werden, sind glasig und spröde.
-Polystyrol PS
-Polycarbonat PC
-Polymethylmethacrylat PMMA
-Styrol-Acrylnitril-Copolymerisat SAN
-Acrylnitril-Butadien-Styrol-Copolymerisat ABS
-Molekulargewicht ↑, la curva si sposta verso destra!

Gebrauchsgebiet: Entropielastischer Bereich (amorphe) Bereichen.
Die "aufgetauten" amorphen Teile ermöglichen durch ihre Beweglichkeit ein gutes elastisches (Biege-) Verhalten. Die kristallinen Teile sind für gute Festigkeits-eigenschaften verantwortlich.

Gebrauchsgebiet: Glaszustand
Anwendungsgebiet: Als härtbare Formmassen und Reaktionsharze, wo hohe Festigkeit und eine gute Steifigkeit ohne Versprödung bei tiefen Temperaturen gefordert sind

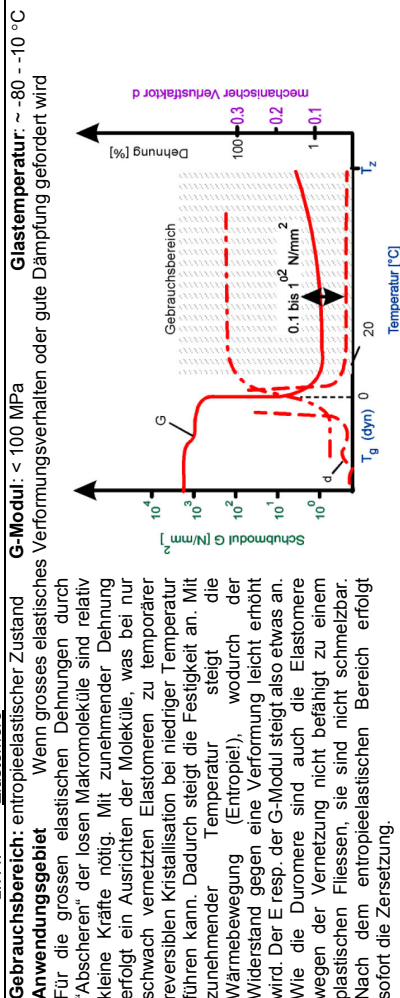


Aufgrund der engmaschigen Vernetzung sinkt die Festigkeit mit zunehmender Temperatur nur geringfügig ab, die Dehnung nimmt aus demselben Grund kaum zu. Der Erweichungsbereich liegt erst kurz vor demjenigen der Zersetzung, einen Fließbereich gibt es nicht. Nach dem Ausären können Durrmtere deshalb nur noch spanabhebend bearbeitet werden. Die Formgebung muss also vorläufig erfolgen.

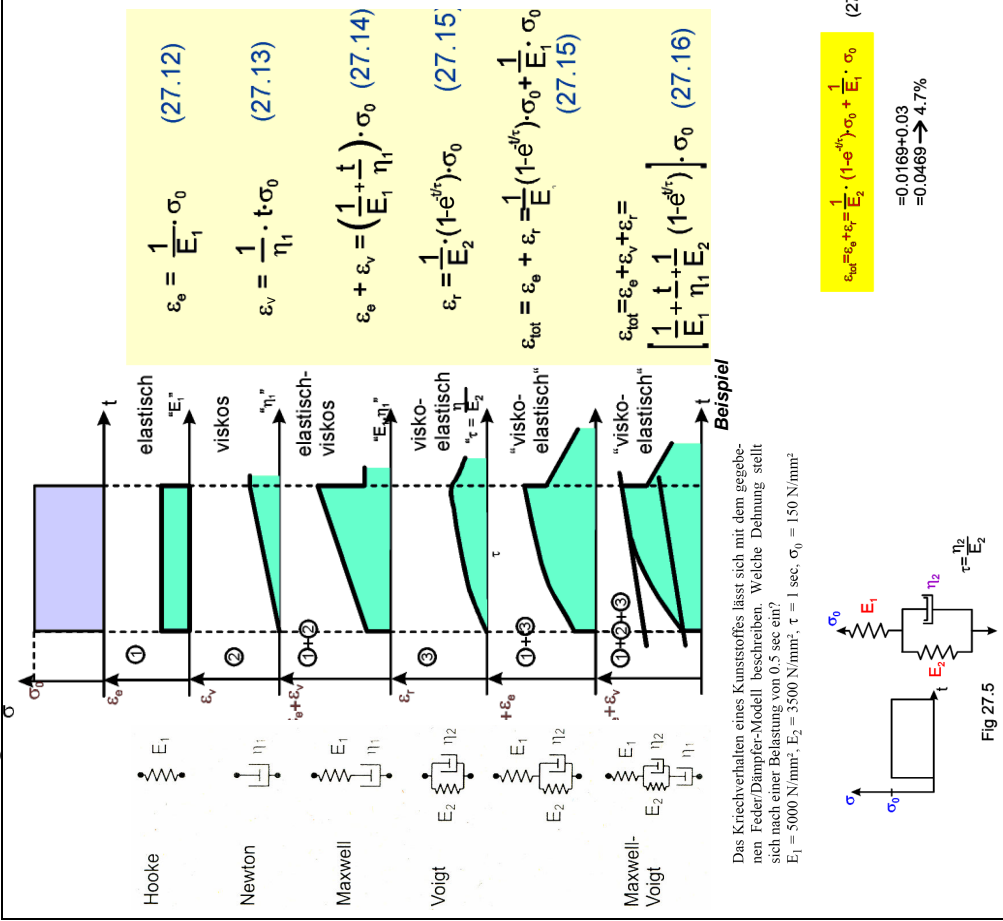
2.7.1.1. Weichmachereinfluss

Das Verhalten amorpher Kunststoffe lässt sich erheblich variieren, wenn der Formmasse bei der Verarbeitung sogenannte Weichmacher zugesezt werden. Es handelt sich dabei um niedermolekulare Substanzen polaren Charakters. Je nach Weichmachermenge lassen sich Zustände vom gummielastischen bis zum gummielastischen Zustand bei Raumtemperatur gezielt einstellen! (T_g - Verschiebung)

2.7.4. Elastomere



2. Rheologische Modelle



Das Kriechverhalten eines Kunststoffes lässt sich mit dem gegebenen Feder-Dämpfer-Modell beschreiben. Welche Dehnung stellt sich nach einer Belastung von 1,5 sec ein?
 $E_1 = 5000 \text{ N/mm}^2$, $E_2 = 3500 \text{ N/mm}^2$, $\tau = 1 \text{ sec}$, $\sigma_0 = 150 \text{ N/mm}^2$

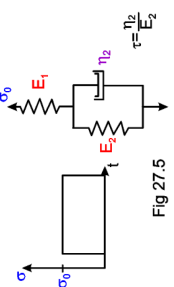


Fig 27.5

$$\begin{aligned}\varepsilon_{\text{tot}} &= \varepsilon_e + \varepsilon_v = \frac{1}{E_1} \cdot (1 - e^{-\frac{t}{\eta_1}}) \cdot \sigma_0 + \frac{1}{E_2} \cdot \sigma_0 & (27.17) \\ &= 0.0169 + 0.03 \\ &= 0.0469 \rightarrow 4.7\%\end{aligned}$$

3. Superpositionsprinzip (Beispiel)

Gegeben ist ein Polymer das sich nach dem Voigt-Kelvin-Modell verhält ($E_r = 1900 \text{ MPa}$, $\eta = 5.5 \cdot 10^6 \text{ Pas}$). Es wird für 2 s mit 40 MPa belastet, danach mit 80 MPa. Wie hoch ist die Dehnung nach 4 s?

Lösung:

Man berechne die Beanspruchung nach dem Superpositionsprinzip (siehe Skizze):
 $\varepsilon = \varepsilon(\sigma_1, 4s) + \varepsilon(\sigma_2 - \sigma_1, 2s)$

$$\begin{aligned}\varepsilon &= \sigma_1 \left(\frac{1}{E_r} \left[1 - \exp \left\{ -\frac{\tau(4s)E_r}{\eta} \right\} \right] \right) + (\sigma_2 - \sigma_1) \left(\frac{1}{E_r} \left[1 - \exp \left\{ -\frac{\tau(2s)E_r}{\eta} \right\} \right] \right) \\ &= 0.0158 + 0.0105 = 0.0263 = 2.63\%\end{aligned}$$

Relaxation
 $\varepsilon_0 = \text{kons!}$ verzögerte Spannungsabnahme

horizontale Aufteilung

4. Dynamische Beanspruchung

Sinusförmiger Schwingbeanspruchung tritt bei linear-viskoelastischen Stoffen eine Phasenverschiebung zwischen Spannung σ und Dehnung ϵ um den Phasenwinkel φ auf.

$\hat{\epsilon}$ ist die Dehnungsamplitude, $\hat{\sigma}$ ist die Spannungsamplitude, $\hat{\epsilon}$ ist den komplexen E-Modul



$$\sigma^* = \hat{\sigma} \cos \omega t + i \hat{\sigma} \sin \omega t = \hat{\sigma} \cdot e^{i \omega t} \quad (27.18)$$

$$\epsilon^* = \hat{\epsilon} \cos(\omega t - \varphi) \quad (27.19)$$

$$E^* = \frac{\sigma^*}{\epsilon^*} = \frac{\hat{\sigma}}{\hat{\epsilon}} \cdot e^{i \omega t - i \varphi} \quad (27.20)$$

$$E' = \frac{\sigma^*}{\epsilon^*} = (\cos \varphi + i \sin \varphi) \quad (27.21)$$

$$E'' = \frac{\hat{\sigma}}{\hat{\epsilon}} = \frac{1}{\hat{\epsilon}} \cdot \cos \varphi + i \frac{1}{\hat{\epsilon}} \cdot \sin \varphi \quad (27.22)$$

$$E'' = E' + i E'' \quad (27.23)$$

-E', oft auch als **Speichermodul** bezeichnet, ermöglicht eine Energierückgewinnung bei der Entlastung der Probe

-E'', oft auch als **Verlustmodul** bezeichnet, steht für die Energiedissipation, eine Rückgewinnung nach der Entlastung findet nicht statt, die Energie wird in Wärme umgesetzt.

-Das Verhältnis des Speichermoduls zum Verlustmodul hängt mit der auftretenden Phasenverschiebung zwischen Spannung und Dehnung zusammen und wird als **Verlustfaktor d** bezeichnet.

$$\frac{E''}{E'} = d$$

Für $d=0$ haben wir kein Verlust, d.h. rein elastisch (Hooke'sche Feder, $\eta=0$)

Für $d=\infty$ haben wir eine Vollständige Energiedissipation, rein viskos (Newton'scher Dämpfer, $E_f=0$)

Stellen Sie für folgende Polymerzusände die E-Module in der Gauß'schen Zahlenebene dar.



5. Bestimmung des Schubmoduls viskoelastischer Kunststoffe

Ideal elastisch

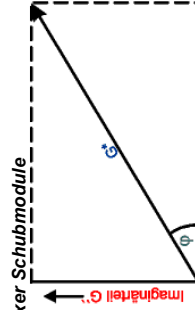
$$\tau(t) = \tau_0 \cos \omega t, \quad \gamma(t) = \gamma_0 \cos \omega t \quad \tau(t) = \tau_0 \cos \omega t, \quad \gamma(t) = \gamma_0 \cos \left(\omega t - \frac{\pi}{2} \right)$$

Viskoelastisch (Hochpolymeren Festkörper = Kunststoffe)

$$\tau(t) = \tau_0 \cos \omega t, \quad \gamma(t) = \gamma_0 \cos(\omega t - \varphi), \quad \text{In komplexer Schreibweise: } \gamma(t) = \gamma_0 e^{i(\omega t - \varphi)}$$

$$G^* = \frac{\tau(t)}{\gamma(t)} = \frac{\tau_0 \cdot e^{i \omega t}}{\gamma_0 \cdot e^{i(\omega t - \varphi)}} = \frac{\tau_0}{\gamma_0} e^{i \varphi} = \frac{\tau_0}{\gamma_0} (\cos \varphi + i \sin \varphi)$$

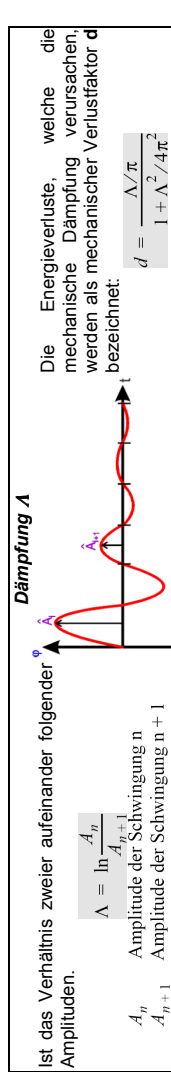
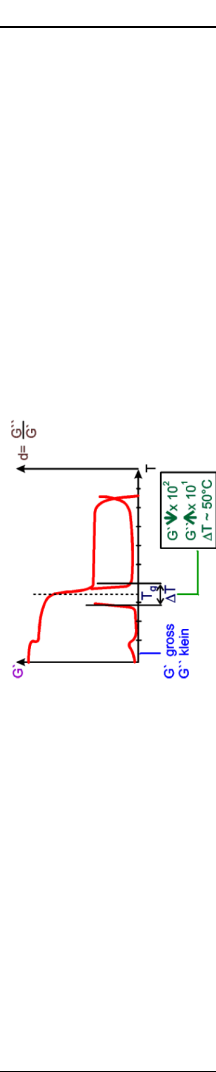
$$G^* = G' + i G'', \quad G' \text{ Speichermodul}, \quad G'' \text{ Verlustmodul}$$



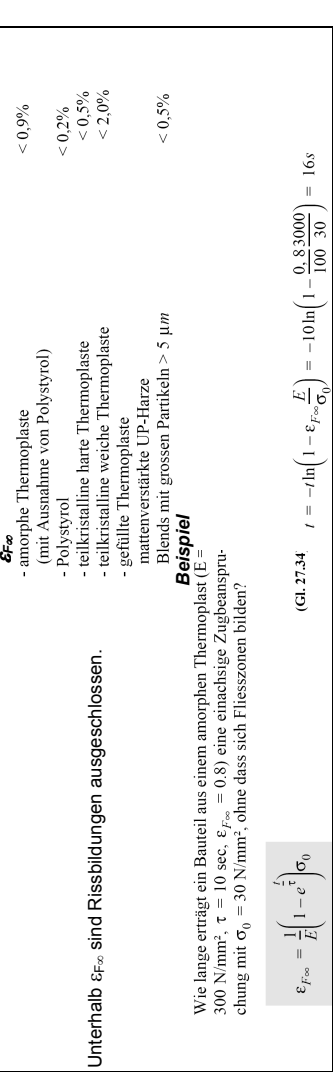
$$d = \tan \delta = \frac{G''}{G'} \quad \text{Mechanische Verlustfaktor:}$$

Beispiel

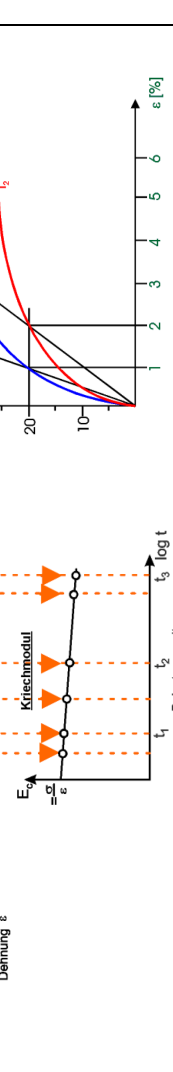
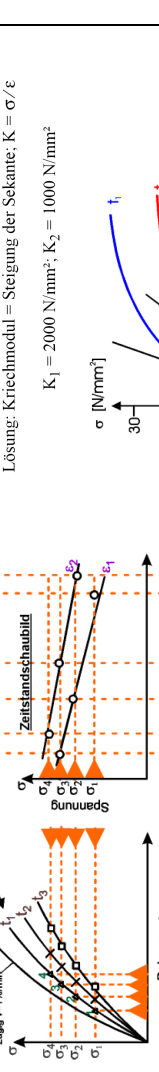
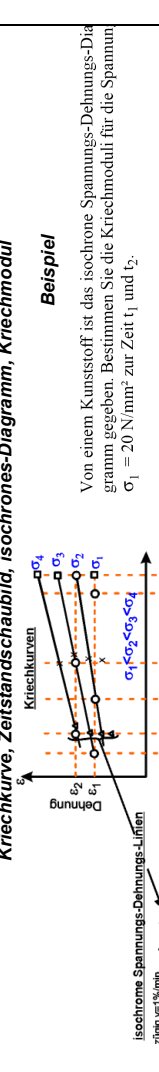
Bei welcher Temperatur ist die Schwingungsdämpfung in einem Verbundsystem aus Stahlblechen mit Polymer-Zwischenschichten am besten (Fig. 27.14)?



5.1. Fließzonen



6. Polymere unter mechanischer Belastung



7. Dimensionierung

gegen Bruch	$\sigma_{zul} = \frac{\sigma_B(t, T)}{w_i S^B}$
gegen Schädigung	$\sigma_{zul} = \frac{\sigma_{Sch}(t, T)}{w_i S^{Sch}}$
gegen Grenzdrehung	$\varepsilon_{zul} = \frac{\varepsilon_{f\infty}}{w_i S_{f\infty}}, \quad \sigma_{zul} = \frac{\sigma_{Sch}(\infty, T)}{w_i S_{f\infty}}$
S: Sicherheitskoeffizienten: (Lastunsicherheiten)	$S_f = 1.5 \dots 2.5$
w: Unsicherheiten des Werkstoffverhaltens, Zeistandverhalten ungenügend bekannt, Verhalten bei Betriebstemperatur ungenügend bekannt, Verhalten unter Umwelteinfluss ungenügend bekannt	$w = 2 \dots 4$

3.1. Dielektrisches Verhalten

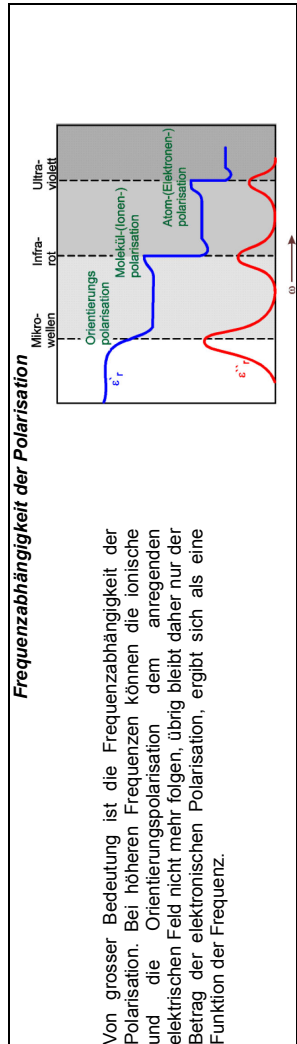
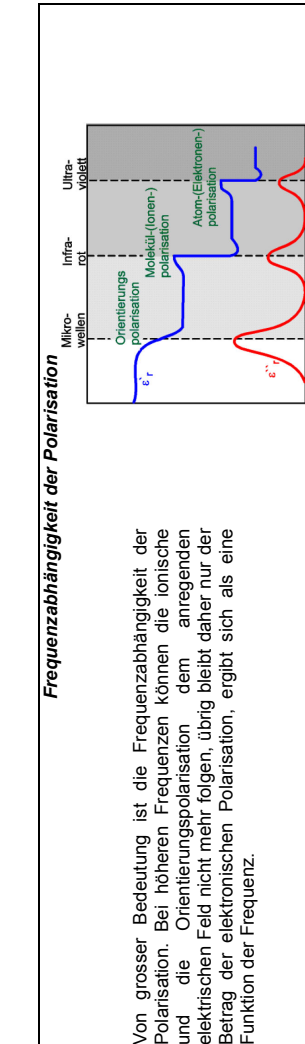
Durch die Wirkung eines äusseren elektrischen Feldes werden die örtlichen Verteilungen der positiven und negativen Ladungen im Innern eines Isolators gegeneinander verschoben. In einem Dielektrikum wird die Zahl der „gebundenen“ Ladungen erhöht.

Dielektrische Verschiebungsdichte D : $D = \varepsilon_r \cdot \varepsilon_0 \cdot E$ ε_r = Dielektrizitätszahl, E = elektrische Feldstärke, ε_0 = elektrische Polarisation:

Elektronische Polarisierung: Die Elektronenhülle wird aus dem Feld des Atomkerns verschoben. Es ist Die Verlagerung der Ionen aus ihren Gleichgewichtspositionen im Gitter.

Ionische Polarisierung: Es ist Die Orientierungspolarisation der Ionen im Gitter. In Werkstoffen, die aus Bausteinen mit festen Dipolmomenten bestehen kommt es zur Ausrichtung der Moleküle

Orientierungs polarisation



Von grosser Bedeutung ist die Frequenzabhängigkeit der Polarisierung. Bei höheren Frequenzen können die ionische und die Orientierungs-Polarisation dem elektrischen Feld nicht mehr folgen, übrig bleibt daher nur der Beitrag der elektrischen Polarisierung, ergibt sich als eine Funktion der Frequenz.

Kap. 24 Polymere – Physikalische Eigenschaften

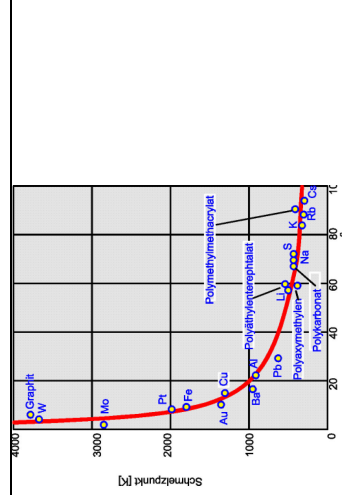
1. Wärmeleitfähigkeit

Es ist ein Mass für den Energietransport in einem Werkstoff.

Energiekettentransport mit Schallgeschwindigkeit

$$\lambda \approx c_p \cdot \rho \cdot l / c_p \quad \text{Wärmetkapazität } \rho \quad \text{Dichte } l \quad \text{Schallgeschwindigkeit } c_p \quad \text{Abstand der Moleküle}$$

- Es ist mit dem Schmelzpunkt gekoppelt, vermindert die Wärmeausdehnung.



3. Elektrische Eigenschaften

Wichtigste elektrischen Eigenschaften von Kunststoffen

- hoher spezifischer Widerstand
- unterschiedliche dielektrische Verlustfaktoren
- relativ hohe Dielektrizitätszahl
- gute Oberflächenwiderstand
- Lichthogenfestigkeit
- gute Durchschlagsfestigkeit

Dielektrischer Verlustfaktor

Mit der dielektrischen Polarisierung sind im Wechselfeld stets auch dielektrische Verluste verbunden, die am einfachsten durch einen imaginären Beitrag zur Dielektrizitätskonstante dargestellt werden können (Imaginäranteil ε'_r). Der durch definierte Winkel δ wird dielektrischer Verlustwinkel genannt.

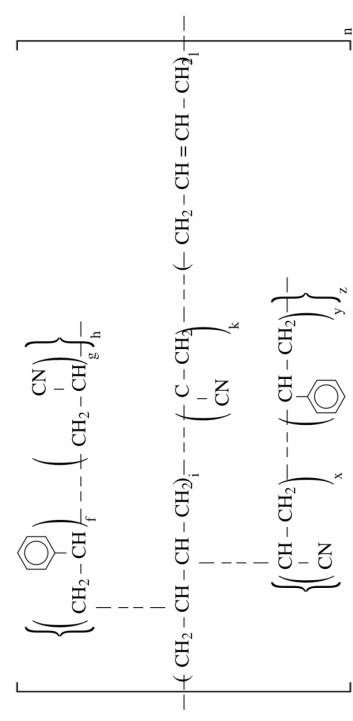
Kunststoffe Unterteilung

- völlig unpolare Kunststoffe ==> keine Orientierungs-Polarisation Bsp.: PE, PP, PTFE ($\varepsilon_r = 2.1$)
- polare Kunststoffe ==> Orientierungs-Polarisation möglich
 - polare Gruppe in der Hauptkette
 - polare Gruppe in der Nebenkette Bsp.: PVC, PET ($\varepsilon_r = 3.2$)

3.1.1 Beispiel

Für PE und ABS wurden bei 10^6 Hz die relativen Dielektrizitätszahlen ϵ_r gemessen. Sind Änderungen von ϵ_r zu erwarten, wenn im langwelligen Infrarotbereich (bei 10^{12} Hz) gemessen wird?

Polymer	Struktur	ϵ_r (10^6 Hz)	qualitative Änderung bei 10^{12} Hz
PE	$\text{CH}_2 - \text{CH}_2 \text{H}_n$	2.3	
ABS	siehe unten	4.6	



Lösung:

Bei PE keine Veränderung (nur elektronische Polarisierung, diese ist auch bei 10^{12} Hz noch wirksam).

Der höhere ϵ_r -Wert bei ABS wird durch die Orientierungspolarisation (polare, bewegliche CN-Gruppen) verursacht. Diese ist bei 10^{12} Hz nicht mehr wirksam; der r -Wert wird also absinken (etwa auf das Niveau von PE).

Kap. 27 Keramische Werkstoffe - Struktur

1. Definition

Keramische Werkstoffe sind anorganisch, nichtmetallisch, in Wasser schwer löslich und zu wenigstens 30% kristallin. In der Regel werden sie bei Raumtemperatur aus einer Rohmasse geformt und erhalten ihre typischen Werkstoffeigenschaften durch eine Temperaturbehandlung bei meist über 800°C . Gelegentlich geschieht die Formgebung bei höherer Temperatur oder gar über dem Schmelzfluss mit anschließender Kristallisation. Keramische Werkstoffe sind Verbindungen zwischen Metallen und Elementen der Hauptgruppen II bis VII.

2. Atomistische Grundlagen

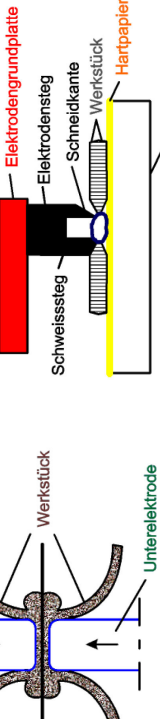
Anorganisch – nichtmetallische Werkstoffe enthalten nur ionische und kovalente Bindungsanteile. In der Regel treten Mischbindungen auf. Der ionische Anteil der Bindungen lässt sich mit der von Pauling abgeleiteten Elektronegativität abschätzen. Mit zunehmender Differenz der Elektronegativität EN zweier Atome nimmt der Ionencharakter der Bindung dieser Atome zu!

	Li	Be	B	C	N	O	F	
EN	1.0	1.5	2.0	2.5	3.0	3.5	4.0	
% Ionencharakter	4	15	30	46	63	89		
Elektronegativitäten der Hauptgruppen-Elemente	0.9	1.2	1.5	1.8	2.1	2.5	3.0	
	Na	Mg	Al	Si	P	S	Cl	
	K	Ca	Ga	Ge	As	Se	Br	Aus den Elektronegativitäten der Elemente lässt sich z.B. für die gefülligen Carbide ein Ionenbindungsanteil von 5 bis 25% , für die Nitride von 20 bis 40% und für die Boride von 5 bis 10% berechnen.
	0.8	1.0	1.6	1.8	2.0	2.4	2.8	
	Rb	Sr	In	Sn	Te	Te	1	
	Cs	Ba	Tl	Pb	Bi	Po	At	
	0.8	1.0	1.7	1.8	1.9	2.1	2.5	
	0.7	0.9	1.8	1.8	1.9	2.0	2.2	

3. Kristalline Festkörper

Die Gitter der meisten kristallinen Aufbauverbindungen anorganischmetallischer Werkstoffe sind in erster Näherung als Ionenkörper aufzufassen, in denen Kationen und Anionen die Gitterplätze besetzen. Die Koordinationszahl ist dabei die Anzahl der Anionen, welche ein Kation umgeben

r/r_a	Koordinations-polyeder	KZ	Ideales Radienverhältnis
< 0.225	Dreieck	3	0.155
0.225 - 0.414	Tetraeder	4	0.225
0.414 - 0.732	Oktäeder	6	0.414
0.732 - 0.904	Hexaeder	8	0.732
> 0.904	Icosaeder	12	0.904



Innerer Reibung

Durch das elektrische Wechselfeld entstehen Dipole, deren hochfrequente Bewegung zu innerer Reibung und damit zur Erwärmung führt.



Elektrische Neutralität

Bei gleichem Ladungsbeitrag der Anionen und Kationen liegt eine Verbindung vom Typ AX vor. Die Koordinationszahl aller Ionen ist aus Gründen der Ladungsbilanz gleich. Wenn zum Beispiel jedes Kation von sechs Anionen umgeben ist, muss auch jedes Anion von sechs Kationen umgeben sein. Beträgt dagegen die Ladung des Kations +2 und die des Anions -1, sind für die Erfüllung der Neutralitätsbedingung doppelt so viele Anionen wie Kationen erforderlich. In diesem Fall besteht eine Verbindung vom Typ A_2X_2 . Die Koordinationszahl der Kationen muss in der zugehörigen Struktur zweimal grösser sein als die der Anionen. Wenn zum Beispiel zu jedem Kation acht Anionen als nächste Nachbarn gehören, sind es im Falle des Anions nur vier Kationen.

3.2 Leitfähigkeit

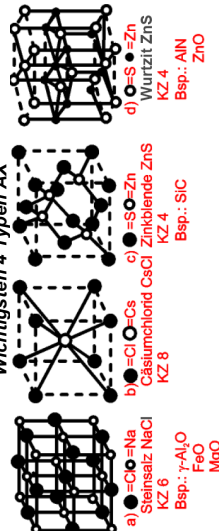
Für die Leitfähigkeit sind Transportvorgänge von Ladungsträgern notwendig. In Kunststoffen sind Ionen für die Leitung verantwortlich. Der elektrische Widerstand nimmt mit zunehmender Temperatur ab, da die Moleküle beweglicher werden.

Ionendurchgang

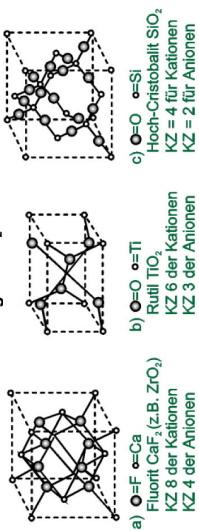
In ionisch gebundenen Kristallstrukturen befinden sich die Kationen meist auf normalen Gitterplätzen, während die Anionen einen oder mehrere Zwischengitterplätze einnehmen. Das Verhältnis ihrer Ionenradien beeinflusst sowohl die Art ihrer Packung als auch die Koordinationszahl.

5. Nichtkristalline Festkörper

Es sind die Typen AX , AX_2 und ABO_3 (A und B = Kationen, X = Anion, O = Sauerstoff) sowie ein Beispiel einer Silikatstruktur.



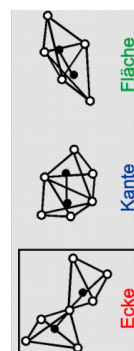
3. Wichtigste AX_2 -Gitter



Die Anzahl der möglichen Strukturen mit drei verschiedenen Elementen ist sehr gross. Es wird hier nur der wichtigste, nach dem Perowskit CaTiO_3 bezeichnete Gittertyp ABO_3 , vorgestellt:



Prinzipiell sind Verknüpfungen der Koordinationspolyeder über Ecken, Kanten oder Flächen möglich (Fig. 30.7). Es bilden sich dadurch null-, ein-, zwei- oder dreidimensionale Gefilde (Netzwerke).



6. Glasbildung

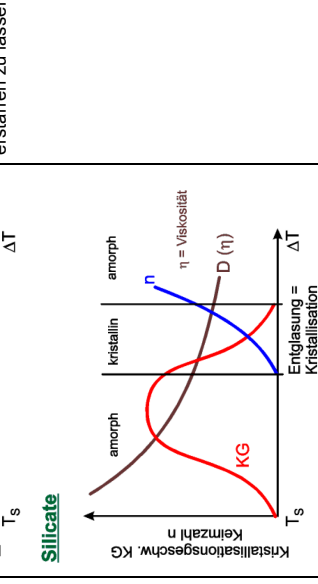
Festkörper, bei denen zwar eine gewisse Nahordnung vorhanden ist, die jedoch keine Fernordnung aufweisen, sind nichtkristalline (amorph). Herstellung durch: Abkühlung aus der Schmelze durch Verdampfen und anschließender Kondensation, durch Strahlung, etc.

Eine Kristallisation ist generell umso schwieriger, je grösser die Viskosität in der Schmelze ist. Keramische Schmelzen und hier insbesondere jene der Silikate besitzen eine viel grössere Schmelzviskosität als metallische Schmelzen. Als Glastemperatur wird jene Temperatur bezeichnet, unterhalb welcher eine strukturelle Umordnung nicht mehr stattfinden kann. Ab hier ist die Struktur der Schmelze „eingefroren“.

Metalle

Erklären Sie, weshalb aus keramischen Schmelzen viel leichter Gläser gebildet werden können als aus metallischen Schmelzen.

Sehe Fig. Für eine Kristallisation werden sowohl eine grosse Keimzahl wie auch eine hohe Kristallisationsgeschwindigkeit benötigt. Bei den Metallen ist dies in einem grossen Temperaturintervall der Fall, bei Silikatschmelzen steigt die Keimzahl erst in einem Temperaturbereich an, wo die Kristallisationsgeschwindigkeit bereits stark abgenommen hat. Dadurch ist es bereits bei kleinen Abkühlungsgeschwindigkeiten möglich, die Kristallisation zu übergehen und das Material im amorphen Zustand erstarrten zu lassen.



4. Fehler in Kristallen

4.1. Punkfehler

-Frenkel, Schottky
-nichtstochiometrische Fehler
=> Überschüssige resp. fehlende e- sind nicht an ein bestimmtes Ion gebunden, sie haben eine gewisse Beweglichkeit.
=> Solche Fehler spielen bei elektrischen Eigenschaften (Leitfähigkeit) eine entscheidende Rolle!

7. Der porige Festkörper

Geschlossene Poren treten vorzugsweise in Verbindung mit Glasphase auf, sie sind von der erstarnten Schmelze umschlossen und bilden völlig abgeschlossene Gasraume (bei Glas und Email spricht man von Gashöhlräumen). Offene Poren sind durchströmbar (Sackporen). Geschlossene Poren (Blasen)

8. Versetzungen

4.3. Stapelfehler, Zwillingsbildung, Korngrenzen

Oberflächen weisen andere Koordinationen der Ionen auf, sie sind nicht abgesättigt und haben deshalb das Bestreben, ihren „höheren“ Energiezustand abzubauen (z. B. durch Oxidation).

4.5. Fremdbauusteine

Substitution: Fremdbauusteine können unter gewissen Umständen einzelne Bausteine ersetzen, ohne dass der Gittertyp ändert (die Atomradien nicht zu unterschiedlich und die Konzentration nicht zu gross sein).

Silikate

Die geometrische Figur, die aus den Eckpunkten der dichtesten Nachbarn entsteht, ist der **Koordinationspolyeder**.

Basiseinheit der Silikate: SiO_4^{4-} . Si-O-Bindung ist relativ stark und gerichtet. Um die negative Ladung auszugleichen, braucht jedes der O-Atome ein zusätzliches Elektron. Verschiedene Möglichkeiten der Bildung ein und mehrdimensionaler Strukturen.

Kap. 28 Keramische Werkstoffe – Herstellung

3. Pulverherstellung und Formgebung

Pulversynthese Bei der Pulversynthese werden die Ausgangsstoffe nach Reinheit, Feinheit und Reaktivität charakterisiert und portioniert. In Kugelmühlen werden die Rohstoffe trocken und / oder nass (meist in Wasser) gemischt und gemahlen. In der sogenannten Kalzinierung reagiert die Mischung zur endgültigen Zusammensetzung, die anschließend erneut gemahlen und charakterisiert wird.

1. Herstellung Herstellungsprozess: Pulverherstellung => Formgebung => Erhitzen

Pulversynthese Reaktion im festen Zustand (fest-fest) – Füllung – Zersetzung
gasförmiger Stoffe – Reaktion fest-gastförmig – Schmelzen, zerkleinern

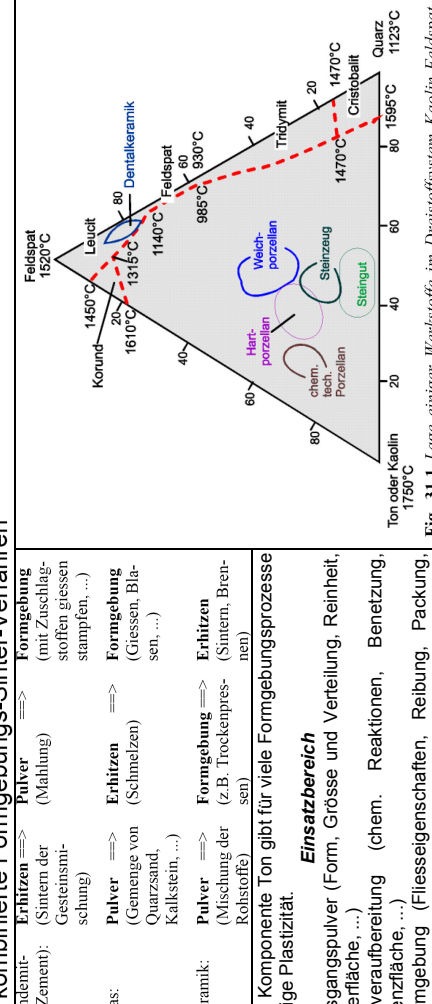
Masseaufbereitung Mahlen – Mischen – Granulieren – Sprühtröcknen – Gefriertrocknen

Formgebung Pressen – Isostatisches Pressen – Strangpressen – Schlickergießen – Spritzgießen

Sintern Sintern – Reaktionssintern – Heißpressen (HP)* – Heissisostatisches Pressen (HIP)* – Gasdrucksintern

Endbearbeiten Schleifen – Läppen – Honen – Polieren

* kombinierte Formgebungs-Sinter-Verfahren



Pulvermetallurgie Keramische Produkte werden fast ausschliesslich pulvermetallurgisch hergestellt. Pulver werden zu einer Form verdichtet und anschließend gebrannt.

2. Gründe / Zwänge, die den Einsatz pulvermetallurgischer Verfahren notwendig machen

Der hohe Schmelzpunkt der keramischen Werkstoffe ist der Hauptgrund, weshalb zur Herstellung oft nur ein Sinterv erfahren in Frage kommt (Bsp. SiO_2 1723°C, Al_2O_3 2020°C, MgO 2800°C).

2.1 Sinterv erfahren

Pulversintern – Herkömmliches (traditionale) Verfahren
Sintern Keramiken erst bei sehr hohen Temperaturen

Ist der Anteil an Atombindungen sehr gross, so können solche Keramiken z. T. nicht trocken gesintert werden, bei ihnen ist eine Verfestigung nur durch Schmelz-Sintern möglich.

Reaktionsintern

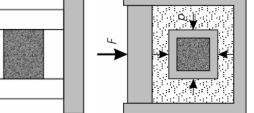
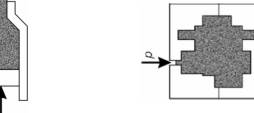
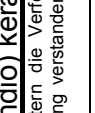
Wird dem Sintervorgang eine chem. Reaktion überlagert, so spricht man vom Reaktionsintern

Heiss Pressen: Sintern mit Druck und hohen T. HIP (Heissisostatisch Pressen): Sintern mit Gasdruck.
Druckintern
Ultrahochdruck Pressen: Sintern mit hohem Drücken

4. Formgebungsmethoden

Der Formgebungsprozess bezieht die Verdichtung des Pulvers in eine äussere Form mit definierten Konturen. Damit sollen handhabungsfeste Formkörper für den Brennprozess gewonnen werden. Für die Formgebung kann ein keramischer Werkstoff in unterschiedlicher Form vorliegen: als **Pulver**, als **plastische Masse** (Ton, Zugabe von Plastifiziertem), oder als sogenannter **Schlicker**, d.h. in einer Flüssigkeit suspendierte Pulverteilchen.

Wichtigste Formgebungsverfahren

Prozess	Skizze	Prozessbeschreibung	Ausgangsmaterial	Typische Formen	Beispiele, Bemerkungen
Pressen		Pulveraufwerk wird durch einachsigen Druck verdichtet und in Form gebracht	Granulat	einfache Geometrien, Dicke > 0,5 mm	
Isostatisch Pressen		Pulveraufwerk in Gußform, Verdichtung durch allseitigen Druck in Flüssigkeit	Granulat	einfache Geometrien, Teile mit Ausdehnung in einer Richtung	
Strangpressen		Plastische Masse wird durch ein Rohr mit definierter Öffnung ausgepresst; Materialtransport durch Kolben oder Schneccke	Plastische Masse (Tonkeramik, milch oder Pulver mit H ₂ O oder Polymerbindern)	prismatische Geometrien	Ziegel, Röhrchen, Katalysatorträger
Spritzguss		Plastische Masse wird durch Druck in geschlossene Form eingebracht	Plastische Masse (Tonkeramik, milch oder Pulver mit H ₂ O oder Polymerbindern)	kleine Teile mit hohen Anforderungen an die Massengenauigkeit (teure Formen)	Humanimplantate, Isolatoren; nur für Grossserien lohnend
Schlickerguss		Schlicker wird in poröse Form gegeben, durch Wasserdurchfluss verdichtet	Schlicker (Keramik-Hohlkörper mit konstanter Wandstärke, Relativ komplizierte Geometrien möglich)	Hohlkörper mit konstanter Wandstärke, Relativ komplizierte Geometrien möglich	Sanitätkeramik

Sintern: Dichtbrennen; Verringerung der Porosität und Vermehrung der Bindungen.
Triebkraft: Verminderung der freien Enthalpie durch Verkleinerung der inneren Oberfläche / Grenzflächen.

5. Der Brand (Incendio) keramischer Werkstoffe (Sinterung)

Ganz allgemein wird unter Sintern die Verfestigung und Verdichtung eines Pulvers oder porösen Körpers durch eine Temperatur- und Druckbehandlung verstanden, ohne dass dabei - außer der meist zu beobachtenden Schwindung - eine Formänderung eintritt.

5.1. Festphasenintern

Kap. 29 Keramische Werkstoffe – Mechanische Eigenschaften

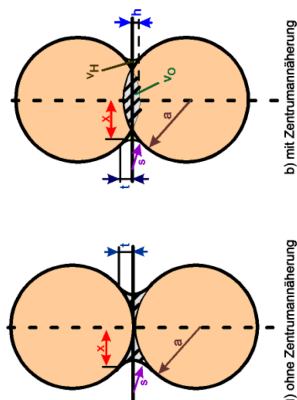
5.1.1. (1) Bildung von Werkstoffdrücken

Halswachstum zwischen den Pulverteilchen und durch Abrundung der Teilchen und Poren.

Sintern zweier Teilchen mit Berücksichtigung der Schwindung:

$$\left(\frac{x}{a}\right)^n = \frac{c}{a^m} \cdot t$$

Halswachstum



a: Teilchenradius, x: Halsradius, h: halbe Annäherung, C, n: Werkstoffkennwerte C = C₀exp(-Q/RT), n = 2 ... 7, m = 1 ... 4 (typische Werte)

Aus der Zentrumssannäherung kann die Veränderung der Dichte berechnet werden:

$$\frac{h}{a} = \varepsilon = \frac{\rho_0}{\rho} = 1 + 3 \left[\frac{Ct}{2^n a^m} \right]^{\frac{2}{n}}$$

Die Konstanten c und die Exponenten n und m sind für den jeweiligen Transportmechanismus typisch. (n=2.7, m=1.4)

5.1.2. (2) Verkleinerung der offenen Porosität

In diesem Stadium schütten die Poren ein, es entsteht ein zusammenhängendes Netz kanalförmiger Poren, wobei die offene Porosität von ca. 15% auf 5% abnimmt. Die einzelnen Teilchen können dabei zusehends nicht mehr unterscheiden werden.

Porenvolumenanteil: $P = \frac{V_{\text{Pore}}}{V_{\text{ges}}} = \frac{\rho_{\text{ih}} - \rho}{\rho}$ ρ_{ih} ist die theoretische Dichte bei Porenvolumen P=0

P_0 =Porosität zur Zeit t_0 . Sinterprozess abgeschlossen wann $P(t)=0$.
Nach Abschluss der Halsbildung wird $P_0 - P = K \cdot \ln\left(\frac{t}{t_0}\right)$ Nähierung: $\frac{h(t_0)}{a(t_0)} = 0.03$

$$\left(\frac{P_0}{P}\right)^n = 1 + Kt \quad K = K_0 \cdot \exp\left(-\frac{Q}{RT}\right) \quad \rho = \rho_{\text{Matrix}} (1 - P)$$

5.1.3. (3) Bildung isolierter Poren:

Durch kontrolliertes Kornwachstum können die Poren zum Verschwinden gebracht werden (120°-Regel); wächst das Korn schnell, bleiben die Poren hinter den wandenden Körngrenze zurück.

5.2. Flüssigphasensintern

Auch hier 3 Stadien: Teilchenlagerung, Lösung und Wiederausscheidung (durch abnehmende Löslichkeit der Legierungselemente mit sinkender Temperatur). Skelettsintern (Brückebildung zwischen den einzelnen Teilchen).

1. Einleitung

Thermische Ausdehnung α , Duktilität, Wärmeleitfähigkeit λ , elektrische Leitfähigkeit σ , Dichte ρ sind generell **geringer** als bei metallischen Werkstoffen.
Härte, Verschleißfestigkeit, Korrosionsbeständigkeit, Hochtemperaturbeständigkeit sind bei Keramiken tendenziell **besser**. Keramische Werkstoffe haben i. a. sehr gute mechanische Eigenschaften, die wegen ihres spröden Verhaltens jedoch oft nicht ausgenutzt werden können.

2. Elastisches Verhalten

Werkstoffe mit kovalenter Bindungsart besitzen die höchsten Elastizitätsmodule. Auch ionische Bindung führen zu recht hohen Elastizitätskonstanten.

Keramische Werkstoffe aus mehrere Phasen-Mischregel

$$E = E_a \cdot V_a + E_b \cdot V_b \text{ wo } E_i = \text{E-Modul der Phase } i, V_i = \text{Volumenanteil der Phase } i$$

Einfuisse der Porosität auf der E-Modul

$$E(P) = E_0 (1 - A P + B P^2)$$

Nur wenig wird das elastische Verhalten durch steigende Temperaturen beeinflusst => Keramisch geeignet für Thoch

3. Verformungsverhalten bei Raumtemperatur

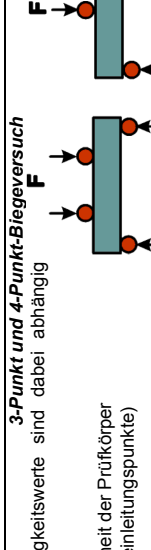
Keramiken brechen bei Raumtemperatur spröde, was seine Ursachen in der Kristallsystem der Werkstoffe hat:

Die komplizierte Kristall system der Keramiken nicht genügend günstige Gleisysteme
-In faktisch allen kristallographischen Richtungen treffen bei einer Verschiebung gleichartig geladene Ionen aufeinander, die sich gegenseitig abstoßen

$$\sigma_{B,B} = \sigma_B \exp(-nP)$$

4. Festigkeit von keramischen Werkstoffen

Für hohe Festigkeitswerte sollte feines Korn und geringe Porosität angestrebt werden. Für den Einfluss der Porosität gilt mit Materialkonstanten $\sigma_{B,0}$ und n und der Porosität P :



$$\sigma_{B,B} < \sigma_{A,B} < \sigma_{3B}$$

Biegeversuch bei 3-Punkt und 4-Punkt

Die gemessenen Biegefestigkeitswerte sind dabei abhängig von:
-der Oberflächenbeschaffenheit der Prüfkörper
-der Versuchsführung (Kraffenleitungspunkte)
 $\Rightarrow \sigma_{Zug,g} < \sigma_{4B} < \sigma_{3B}$

Die rote Linie gibt den Verlauf der maximalen Zugspannung an der Probenunterseite an. Im 4P-Biegeversuch wird ein grösseres Probenvolumen mit hoher Zugspannung belastet, als im 3P-Biegeversuch. (schattierte Flächen). Die Wahrscheinlichkeit, dass sich in dem betreffenden Volumen eine Schwachstelle befindet, ist viel grösser, die gemessene Festigkeit daher geringer.

Bruchwahrscheinlichkeit

Wenn F_i die Bruchwahrscheinlichkeit des i-ten Elements und F die Bruchwahrscheinlichkeit der Gesamtstruktur ist, dann ist die Überlebenswahrscheinlichkeit der Gesamtstruktur:

$$1 - F = (1 - F_1)(1 - F_2)(1 - F_3) \dots (1 - F_n) \text{ oder } \ln(1 - F) = \ln(1 - F_1) + \ln(1 - F_2) + \dots + \ln(1 - F_n) = \sum_{i=1}^n \ln(1 - F_i)$$

Bruchrisiko

Die Brucharbeit wird als Risswiderstand definiert: $R = \frac{R}{Y_{eff}}$ Ebenen Spannungszustand: $K_{Ic}^2 = E \cdot R$

Zähe Werkstoffe, aber auch Keramiken wie Al_2O_3 oder umwandlungsverstärkte ZrO_2 , zeigen jedoch einen z.T. beachtlichen Anstieg des R-Wertes bei zunehmender Risslänge. Der -Wert ist damit keine Konstante mehr (vgl. Fig. 32.6). Eine schlagartige Lastreduktion ist hier nicht nötig. In Analogie zur plastischen Verformung von Metallen kann formal von einer "Verfestigung" des Materials im Verlauf der Rissausbreitung gesprochen werden.

6. Langzeitfestigkeit (Lebensdauer unter statischer Last)

Keramische Werkstoffe (und Glas) zeigen im Langzeiteinsatz das Phänomen des unterkritischen Risswachstums. Mikroskopische Risse im Gefüge oder an der Oberfläche keramischer Bauteile können sich unter Last vergrößern, bis eine kritische Länge erreicht ist (bei K_{Ic}) und Bruch eintrifft! Die Geschwindigkeit der Rissausbreitung ist lastabhängig. Der Bruch kann also auch bei Belastung unterhalb der Kurzzeitfestigkeit σ_B auftreten.

Die kritische Risswachstumsgeschwindigkeit v steigt mit der Temperatur, der Belastung, der Anfangsrisslänge. Die Rissausbreitungsgeschwindigkeit v steigt mit der Temperatur, der Belastung, der Anfangsrisslänge.

Nach einsetzen: $F = 1 - \exp \left[-\frac{V}{V_0} \left(\frac{\sigma - \sigma_n}{\sigma_0} \right)^m \right]$ mit $\sigma_n = 0$ (fast alle Keramische): $F = 1 - \exp \left[-\frac{V}{V_0} \left(\frac{\sigma}{\sigma_0} \right)^m \right]$ Normalerweise $V/V_0 = 1$ setzen.

Die Gleichung zeigt deutlich den Einfluss des Volumens eines Werkstückes. Bei gleicher Versagenswahrscheinlichkeit und $\sigma_n = 0$ sind die Festigkeitswerte bei grösserem Volumen kleiner:

$K_I = Y \sigma_n \sqrt{a} < K_{Ic} \Rightarrow$

$\frac{da}{dt} = A (\sigma_n \sqrt{a})^n \Rightarrow$

Aus hier kommt die wichtigste Formel für den Lebensdauer:

$t_{Rest} = \frac{2}{A \cdot \sigma^n Y^{(n-2)}} \cdot \left[\frac{\frac{2-n}{2}}{a_i - a_c} \right]^{\frac{2-n}{2}}$ Mit $a_i = \left[\frac{K_{Ic}}{\sigma_c \cdot Y} \right]^2$ Ausgangsrisslänge und $a_c = \left[\frac{K_{Ic}}{\sigma_B \cdot Y} \right]^2$ krit. Risslänge (statt σ_B schreibt man auch σ_c)

Man darf auch schreiben:
 $a(t) = \left[a_i^{\frac{2-n}{2}} - \frac{A \cdot \sigma^n \cdot Y^{(n-2)} \cdot t}{2} \right]^{\frac{2}{2-n}}$

7. Lebensdauer unter dynamischer Last

Betrachtet man eine dynamische Belastung als Überlagerung einer statischen (σ_m) und einer periodischen Spannung $\sigma_0 = \sigma_0(t)$, so ergibt sich die Zeit bis zum Bruch eines Bauteils aus der Anzahl der Bruchlastwechselzähle N_B und der Periodendauer T zu

$t_{Bz} = N_B \cdot T$

$\int \sigma_{(t)}^n dt = \frac{2}{A \cdot Y^2 \cdot (n-2)} \cdot K_{Ic}^{(2-n)} \cdot \sigma_C^{(n-2)} \cdot \left[1 - \left(\frac{a_i}{a_c} \right)^{\frac{n-2}{2}} \right]$

Da aber bei keramischen Werkstoffen a_c nur geringfügig als a_c ist, ist der Ausdruck $\left(\frac{a_i}{a_c} \right)^{\frac{n-2}{2}}$ vernachlässigbar klein. Also das Integral reduziert sich zu:

$t_B = \frac{2}{A \cdot Y^2 \cdot (n-2)} \cdot K_{Ic}^{(2-n)} \cdot \sigma_C^{(n-2)} \cdot \left[\frac{1}{T} \cdot \int_0^T \left[1 + \frac{\sigma_0 \cdot f(t)}{\sigma_m} \right] dt \right]$

8. Kriechen

Kriechvorgänge erfolgen verstärkt bei erhöhten Temperaturen. Im Vergleich dazu zeigen Konstruktionskeramiken i. A. erst ab ca. 1000°C eine beachtenswerte Kriechneigung (Fehlen einer plastischen Verformung). Polymetalline Keramiken mit einem Anteil an Glasphase kriechen früher.

7. Bruchverhalten

Fehler wie Poren, Risse, Einschlüsse oder grosse Körner, die bei der Herstellung entstehen, sind Ausgangspunkt für den Bruch keramischer Werkstoffe. Hier 2 Konzepte zur Beschreibung der Bruchmechanik verwendet

5.1. Energiekonzept (G-Konzept)

Rissinstabilität bei $\sigma_B = \sqrt{\frac{2EY_{eff}}{\pi a_0}}$ σ_B = Bruchspannung $-Y_{eff}$ = Brucharbeit a_0 = Ausgangsrisslänge E = Elastizitäts-Modul π = Geometriefaktor

5.2. Spannungskonzept (K- und R-Konzept)

Bei einer kritischen Größe K_{Ic} erfolgt ein Rissfortschritt. K_{Ic} ist eine bruchmechanische Kenngröße (kritischer Spannungssensitivitätsfaktor). Der Index beschreibt die Art der Belastung: -II Scherbeanspruchung -C steht für kritisch -III Torsionsbeanspruchung -Y ist ein Geometriefaktor ($=\sqrt{\pi}$)